

МИНИСТЕРСТВО ОБРАЗОВАНИЯ РЕСПУБЛИКИ БЕЛАРУСЬ  
Белорусский национальный технический университет

---

Кафедра «Сопротивление материалов и теория упругости»

## СОПРОТИВЛЕНИЕ МАТЕРИАЛОВ

Учебно-методическое пособие  
для студентов строительных специальностей

В 2 частях

Часть 2

СБОРНИК ЗАДАЧ

*Рекомендовано учебно-методическим объединением по образованию  
в области строительства и архитектуры*

Минск  
БНТУ  
2017

УДК 620.1 (076.1)  
ББК 30.121я7  
С64

Авторы части:

*С. И. Зиневич, В. А. Пенькевич, М. В. Югова, Л. И. Шевчук,  
О. Л. Вербицкая, Е. А. Евсеева, С. В. Соболевский,  
В. Н. Рябцев, В. А. Петрусевич*

Рецензенты:

*М. Т. Насковец, В. Н. Основин*

**Соппротивление** материалов : учебно-методическое пособие  
С64 для студентов строительных специальностей : в 2 ч. Ч. 2: Сборник  
задач / С. И. Зиневич [и др.]. – Минск : БНТУ, 2017. – 196 с.  
ISBN 978-985-550-607-3 (Ч. 2).

Даны задачи по всем разделам дисциплины «Соппротивление материалов». Приводятся примеры решения.

Часть 1 «Краткая теория. Примеры» издана в 2016 г.

**УДК 620.1 (076.1)**  
**ББК 30.121я7**

**ISBN 978-985-550-607-3 (Ч. 2)**  
**ISBN 978-985-550-778-0**

© Белорусский национальный  
технический университет, 2017

## ПРЕДИСЛОВИЕ

Предлагаемое учебно-методическое пособие «Сопrotивление материалов», часть 2 «Сборник задач» является продолжением учебно-методического пособия «Сопrotивление материалов», часть 1 (краткий курс), в котором приведен краткий теоретический материал. Поэтому в настоящей книге даны задачи без теоретического сопровождения. Задачи даны по всем разделам сопротивления материалов, рассмотренным в первой части. Из нескольких типовых задач приводится одна с решением, а остальные предлагаются для самостоятельного решения. Для таких задач даются ответы.

Учебно-методическое пособие предназначено для студентов строительных специальностей дневного и заочного отделений.

При написании данного учебно-методического пособия авторский коллектив использовал материалы ранее издаваемых кафедрой пособий и в этой связи выражает глубокую благодарность Алявдину П.В., Балыкину М.К., Винокурову Е.Ф., Голубеву И.А., Зайцу В.Н., Кончицу А.Е., Петровичу А.Г., Рудицину М.Н., Суходоеву В.Н. и другим преподавателям, работавшим на кафедре «Сопrotивление материалов и теория упругости».

# 1. РАСТЯЖЕНИЕ И СЖАТИЕ

## 1.1. Статически определимые системы

### Задача 1.1

Проверить прочность и жесткость стальной полосы, рис. 1.1.

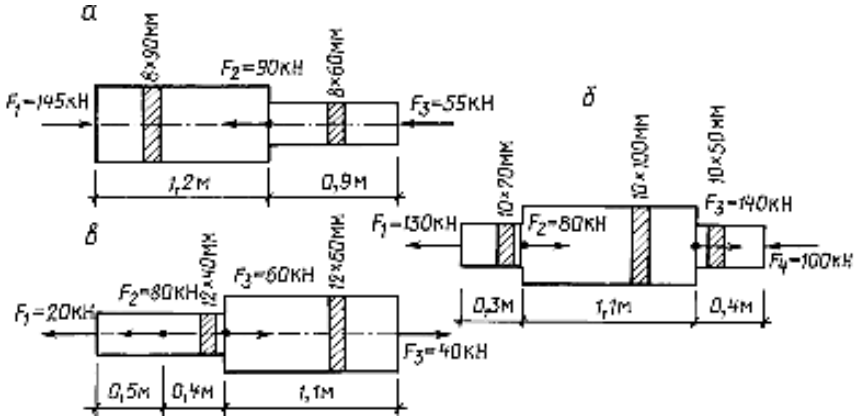


Рис. 1.1

Для стали: расчетное сопротивление  $R = 210$  МПа, модуль Юнга  $E = 200$  ГПа,  $\varepsilon_{adm} = 1,05 \cdot 10^{-3}$ .

Ответы:

- а.  $\sigma_{max} = 201$  МПа  $< R = 210$  МПа;  $\varepsilon_{max} = 1,007 \cdot 10^{-3} < \varepsilon_{adm} = 1,05 \cdot 10^{-3}$ .
- б.  $\sigma_{max} = 200$  МПа  $< R = 210$  МПа;  $\varepsilon_{max} = 1,0 \cdot 10^{-3} < \varepsilon_{adm} = 1,05 \cdot 10^{-3}$ .
- в.  $\sigma_{max} = 208$  МПа  $< R = 210$  МПа;  $\varepsilon_{max} = 0,278 \cdot 10^{-3} < \varepsilon_{adm} = 1,05 \cdot 10^{-3}$ .

### Вариант а)

### Решение

Разбиваем брус на участки (рис. 1.2). Границами участков являются сечения, где приложены внешние силы. Получаем два участка.

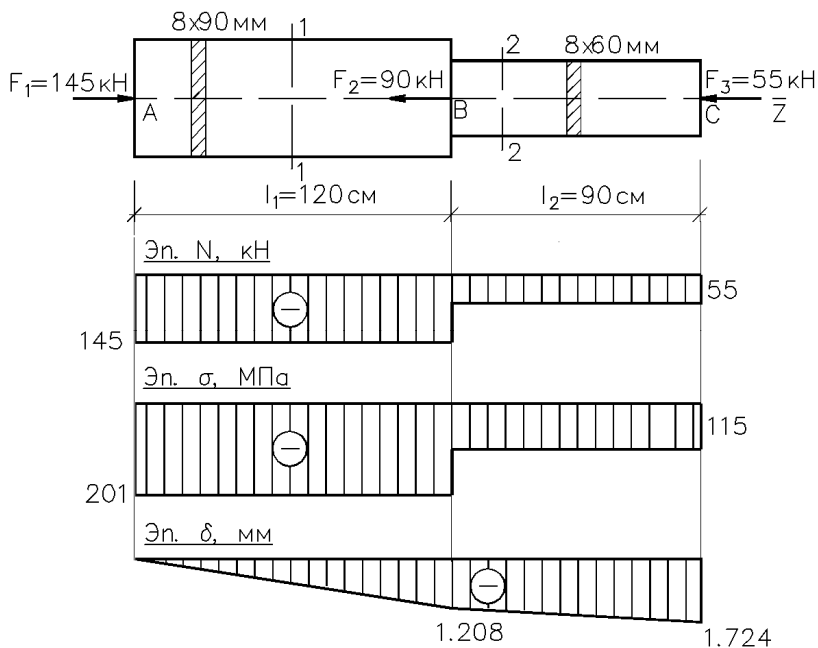


Рис. 1.2

Площади поперечных сечений на участках бруса

$$A_1 = 8 \cdot 90 = 720 \text{ мм}^2;$$

$$A_2 = 8 \cdot 60 = 480 \text{ мм}^2.$$

Продольную силу в поперечном сечении на каждом участке определяем методом сечений, т. е. внешние силы, приложенные левее рассматриваемого сечения, проецируем на ось бруса.

Сечение 1-1:

$$N_1 = -F_1 = -145 \text{ кН.}$$

Сила  $F_1$  считается отрицательной, так как направлена к сечению 1-1.

Сечение 2–2:

$$N_2 = -F_1 + F_2 = -145 + 90 = -55 \text{ кН.}$$

По полученным значениям строим эпюру продольных сил  $N$ .  
В поперечных сечениях возникают нормальные напряжения.  
Участок 1:

$$\sigma_1 = \frac{N_1}{A_1} = -\frac{145 \cdot 10^3}{720 \cdot 10^{-6}} = -0,201 \cdot 10^9 \text{ Па} = -201 \text{ МПа.}$$

Участок 2:

$$\sigma_2 = \frac{N_2}{A_2} = -\frac{55 \cdot 10^3}{480 \cdot 10^{-6}} = -0,115 \cdot 10^9 \text{ Па} = -115 \text{ МПа.}$$

По полученным значениям строим эпюру  $\sigma$ .  
Прочность пластины обеспечена, так как

$$\sigma_{\max} = 201 \text{ МПа} < R = 210 \text{ МПа.}$$

Абсолютные деформации участков:

$$\Delta l_1 = \frac{N_1 l_1}{EA_1} = -\frac{145 \cdot 10^3 \cdot 120 \cdot 10^{-2}}{200 \cdot 10^9 \cdot 720 \cdot 10^{-6}} = -0,1208 \cdot 10^{-2} \text{ м} = -1,208 \text{ мм};$$

$$\Delta l_2 = \frac{N_2 l_2}{EA_2} = -\frac{55 \cdot 10^3 \cdot 90 \cdot 10^{-2}}{200 \cdot 10^9 \cdot 480 \cdot 10^{-6}} = -0,0516 \cdot 10^{-2} \text{ м} = -0,516 \text{ мм.}$$

Относительные продольные деформации участков:

$$\varepsilon_1 = \frac{\Delta l_1}{l_1} = -\frac{1,208}{1200} = -1,007 \cdot 10^{-3};$$

$$\varepsilon_2 = \frac{\Delta l_2}{l_2} = -\frac{0,516}{900} = -0,573 \cdot 10^{-3}.$$

Условие жесткости выполняется, так как

$$\varepsilon_{\max} = 1,007 \cdot 10^{-3} < \varepsilon_{\text{adm}} = 1,05 \cdot 10^{-3}.$$

Строим эпюру перемещений  $\delta$ .

Крайнее левое сечение  $A$  принимаем за условно неподвижное:

$$\delta_A = 0.$$

Перемещение других характерных сечений определяем как сумму деформаций участков, расположенных между крайним левым и рассматриваемым сечением:

$$\delta_B = \Delta l_1 = -1,208 \text{ мм};$$

$$\delta_C = \Delta l_1 + \Delta l_2 = \delta_B + \Delta l_2 = -1,208 - 0,516 = -1,724 \text{ мм}.$$

### Задача 1.2

Определить размеры квадратного поперечного сечения для каждого расчетного участка бетонной колонны и перемещения ее свободного сечения.

Для материала колонны  $R_c$  и  $E$  указаны на рис. 1.3.

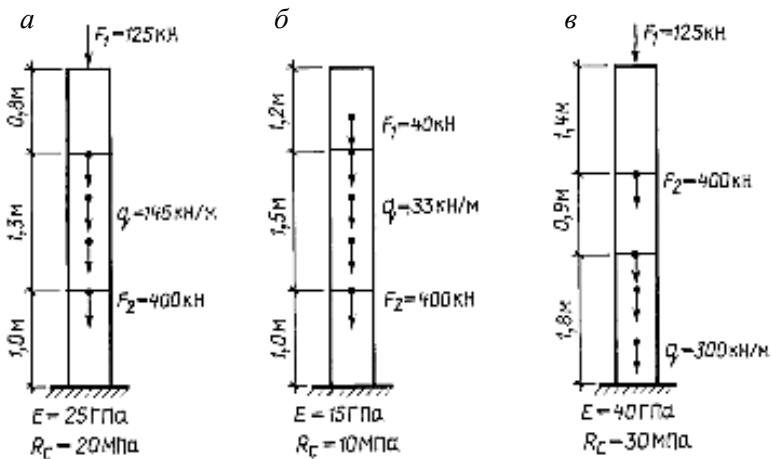


Рис. 1.3

Ответы:

а. 8 × 8 см; 13 × 13 см; 19 × 19 см,  $\delta_A = 2,094$  мм.

б. 7 × 7 см; 10 × 10 см; 15 × 15 см,  $\delta_A = -1,75$  мм.

в. 7 × 7 см; 11 × 11 см; 18 × 18 см,  $\delta_A = -2,4$  мм.

### Вариант а)

### Решение

Поскольку нагрузка действует по продольной оси  $Z$  колонны (рис. 1.4), то в опоре возникает только одна реакция  $B_Z$ , которую определим, используя уравнение равновесия:

$$\sum Z = 0, \quad -F_1 - ql_2 - F_2 + B_Z = 0.$$

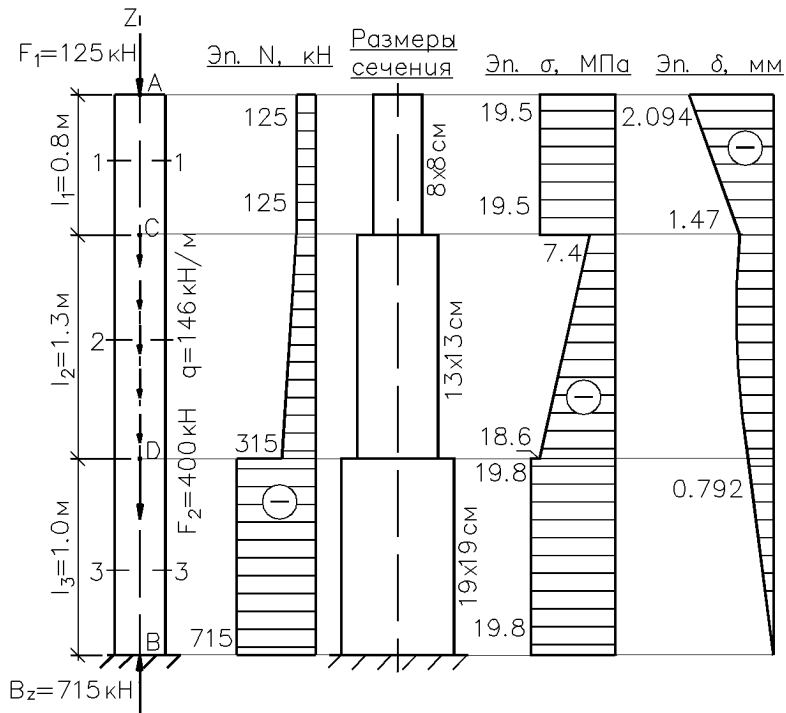


Рис. 1.4



В уравнении имеется одно неизвестное, поэтому рассматриваемая система является статически определимой.

Из уравнения статики реакция

$$B_Z = F_1 + ql_2 + F_2 = 125 + 146 \cdot 1,3 + 400 = 715 \text{ кН.}$$

Выделяем расчетные участки, их три.

Определяем продольные силы на участках, используя правило

$$N = \sum F_i,$$

т. е. продольная сила в сечении равна алгебраической сумме внешних сил по одну сторону от сечения. Если сила направлена к сечению, то ее берем со знаком «минус».

$$N_1 = -F_1 = -125 \text{ кН}; \quad N_{2C} = -125 \text{ кН};$$

$$N_{2D} = -F_1 - ql_2 = -125 - 146 \cdot 1,3 = -315 \text{ кН};$$

$$N_3 = -F_1 - ql_2 - F_2 = -715 \text{ кН.}$$

По полученным данным строим эпюру продольных сил  $N$ .

Из условия прочности при растяжении-сжатии  $\left( \sigma = \frac{N}{A} \leq R \right)$  определяем площади поперечных сечений на участках стержня.

На 1-м участке требуемая площадь

$$A_1 \geq \frac{N_1}{R} = \frac{125 \cdot 10^3}{20 \cdot 10^6} = 6,25 \cdot 10^{-3} \text{ м}^2 = 62,5 \text{ см}^2.$$

Тогда сторона квадратного сечения

$$a_1 = \sqrt{A_1} = \sqrt{62,5} = 7,9 \text{ см.}$$

Принимаем  $a_1 = 8 \text{ см}$ ,  $A_1 = 8^2 = 64 \text{ см}^2$ .

На 2-м участке ( $N_{\max} = N_{2D}$ )

$$A_2 \geq \frac{N_{\max}}{R} = \frac{315 \cdot 10^3}{20 \cdot 10^6} = 15,8 \cdot 10^{-3} \text{ м}^2 = 158 \text{ см}^2;$$

$$a_2 = \sqrt{158} = 12,6 \text{ см.}$$

Принимаем  $a_2 = 13 \text{ см}$ ,  $A_2 = 13^2 = 169 \text{ см}^2$ .

На 3-м участке

$$A_3 \geq \frac{N_3}{R} = \frac{715 \cdot 10^3}{20 \cdot 10^6} = 35,8 \cdot 10^{-3} \text{ м}^2 = 358 \text{ см}^2;$$

$$a_3 = \sqrt{358} = 18,9 \text{ см.}$$

Принимаем  $a_3 = 19 \text{ см}$ ,  $A_3 = 19^2 = 361 \text{ см}^2$ .

Рассчитываем стержень с найденными площадями.

Нормальные напряжения на участках колонны:

$$\sigma_1 = \frac{N_1}{A_1} = -\frac{125 \cdot 10^3}{64 \cdot 10^{-4}} = -1,95 \cdot 10^7 \text{ Па} = -19,5 \text{ МПа};$$

$$\sigma_{2C} = \frac{N_{2C}}{A_2} = -\frac{125 \cdot 10^3}{169 \cdot 10^{-4}} = -7,4 \text{ МПа};$$

$$\sigma_{2D} = \frac{N_{2D}}{A_2} = -\frac{315 \cdot 10^3}{169 \cdot 10^{-4}} = -18,6 \text{ МПа};$$

$$\sigma_3 = \frac{N_3}{A_3} = -\frac{715 \cdot 10^3}{361 \cdot 10^{-4}} = -19,8 \text{ МПа.}$$

По полученным значениям строим эпюру  $\sigma$ .

Абсолютные продольные деформации участков:

$$\Delta l_1 = \frac{\sigma_1 l_1}{E} = -\frac{19,5 \cdot 10^6 \cdot 0,8}{25 \cdot 10^9} = -0,624 \cdot 10^{-3} \text{ м} = -0,624 \text{ мм};$$

$$\begin{aligned} \Delta l_2 &= \frac{\frac{1}{2}(\sigma_{2C} + \sigma_{2D})l_2}{E} = \frac{-\frac{1}{2}(7,4 + 18,6) \cdot 10^6 \cdot 1,3}{25 \cdot 10^9} = \\ &= -0,676 \cdot 10^{-3} \text{ м} = -0,676 \text{ мм}; \end{aligned}$$

$$\Delta l_3 = \frac{\sigma_3 l_3}{E} = -\frac{19,8 \cdot 10^6 \cdot 1,0}{25 \cdot 10^9} = -0,792 \text{ мм}.$$

Определяем перемещение характерных сечений. Считаем, что перемещение сечения  $B$  равно нулю (заделка):

$$\delta_B = 0.$$

Перемещение остальных граничных сечений вычисляется последовательным добавлением к начальному перемещению деформаций последующих участков колонны:

$$\delta_D = \Delta l_3 = -0,792 \text{ мм};$$

$$\delta_C = \delta_D + \Delta l_2 = -0,792 - 0,676 = -1,47 \text{ мм};$$

$$\delta_A = \delta_C + \Delta l_1 = -1,47 - 0,624 = -2,094 \text{ мм}.$$

Строим эпюру перемещений  $\delta$ .

### Задача 1.3

Определить размеры поперечных сечений стержневой системы (рис. 1.5).

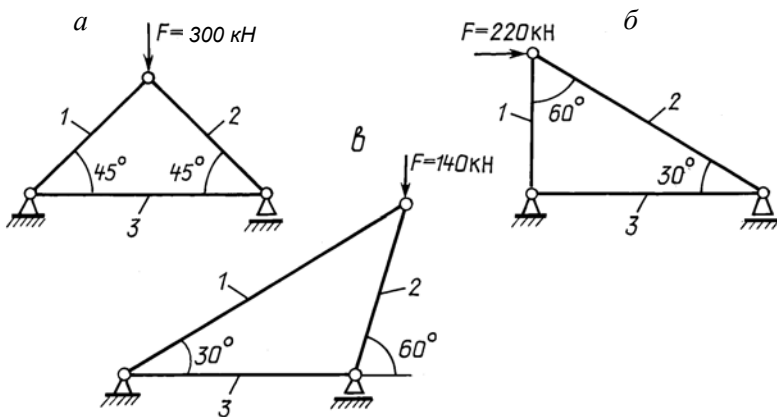


Рис. 1.5

Стержни 1 и 2 – деревянные квадратного поперечного сечения; стержень 3 – стальной, состоящий из двух равнобоких уголков. Считать, что стержни 1 и 2 имеют одинаковые размеры.

Для стали  $R = 210$  МПа, для древесины  $R_c = 13$  МПа.

Ответы:

а. Сторона сечения  $a_1 = a_2 = 13$  см, уголок  $40 \times 40 \times 5$  мм.

б. Сторона сечения  $a_1 = a_2 = 14$  см, уголок  $50 \times 50 \times 6$  мм.

в. Сторона сечения  $a_1 = a_2 = 14$  см, уголок  $50 \times 50 \times 3$  мм.

### Вариант а)

### Решение

Рассматриваемая стержневая система является статически определимой, так как в опорах возникают три реакции, которые могут быть определены из трех уравнений статики.

Стержни подвергаются растяжению-сжатию. Определим продольные силы в стержнях методом сечений.

Вырежем сечением I–I узел С, продольные силы  $N_1$  и  $N_2$  направим к сечениям, т. е. считаем, что стержни сжимаются, рис. 1.6.

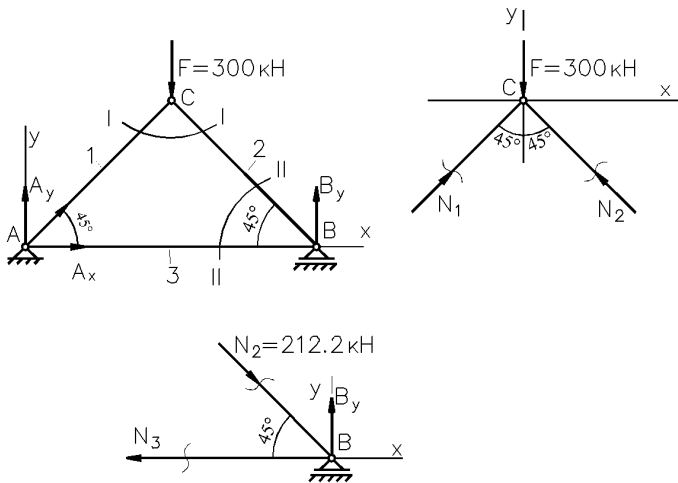


Рис. 1.6

Составим уравнения равновесия для узла  $C$ :

$$\sum X = 0: \quad N_1 \sin 45^\circ - N_2 \sin 45^\circ = 0;$$

$$N_1 = N_2;$$

$$\sum Y = 0: \quad N_1 \cos 45^\circ + N_2 \cos 45^\circ - F = 0;$$

$$2N_1 \cos 45^\circ = F;$$

$$N_1 = \frac{F}{2 \cos 45^\circ} = \frac{300}{2 \cdot 0,707} = 212,2 \text{ кН.}$$

Значения усилий  $N_1$  и  $N_2$  положительные, следовательно, предположение о том, что стержни сжимаются, подтвердилось.

С помощью сечения II-II вырежем узел  $B$ . Усилие  $N_3$  направим от сечения, а найденное  $N_2$  – к сечению, так как стержень 2 сжат.

Составим уравнение равновесия для узла  $B$ :

$$\sum X = 0: \quad N_2 \cos 45^\circ - N_3 = 0;$$

$$N_3 = N_2 \cos 45^\circ = 212,2 \cdot 0,707 = 150 \text{ кН.}$$

Стержень 3 растягивается.

Из условия прочности при растяжении-сжатии определим размеры поперечных сечений стержней.

Для 1-го стержня

$$\sigma_1 = \frac{N_1}{A_1} \leq R_c;$$

$$A_1 \geq \frac{N_1}{R_c} = \frac{212,2 \cdot 10^3}{13 \cdot 10^6} = 16,32 \cdot 10^{-3} \text{ м}^2 = 163,2 \text{ см}^2,$$

откуда сторона сечения

$$a_1 = \sqrt{A_1} = \sqrt{163,2} = 12,78 \text{ см.}$$

Принимаем  $a_1 = 13 \text{ см}$ .

Так как  $N_1 = N_2$ , то  $a_2 = 13 \text{ см}$ .

Для 3-го стержня

$$\sigma_3 = \frac{N_3}{A_3} \leq R;$$

$$A_3 \geq \frac{N_3}{R} = \frac{150 \cdot 10^3}{210 \cdot 10^6} = 0,714 \cdot 10^{-3} \text{ м}^2 = 7,14 \text{ см}^2,$$

для одного уголка  $A_3' = 7,14 : 2 = 3,57 \text{ см}^2$ .

Из таблицы сортамента для равнополочных уголков принимаем два уголка  $40 \times 40 \times 5$ , площадь поперечного сечения которых  $A = 3,79 \text{ см}^2$ .

#### Задача 1.4

Для конструкции, состоящей из двух стальных стержней круглого поперечного сечения (рис. 1.7), определить напряжения в стержнях и полное перемещение узла  $C$ .

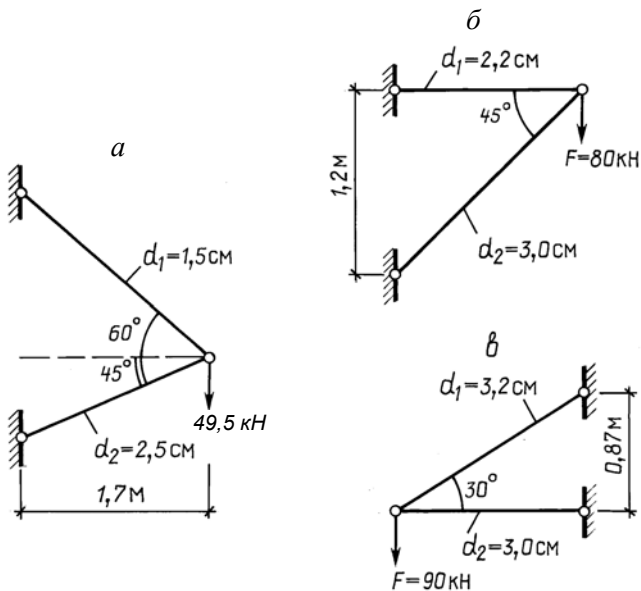


Рис. 1.7

Для стали  $E = 200$  ГПа.

Ответы:

а.  $\sigma_1 = 205$  МПа,  $\sigma_2 = -52,2$  МПа,  $\delta_c = 3,50$  мм.

б.  $\sigma_1 = 211$  МПа,  $\sigma_2 = -160$  МПа,  $\delta_c = 3,43$  мм.

в.  $\sigma_1 = 224$  МПа,  $\sigma_2 = -221$  МПа,  $\delta_c = 6,99$  мм.

### Вариант а)

### Решение

Площади поперечных сечений стержней:

$$A_1 = \frac{\pi d_1^2}{4} = \frac{3,14 \cdot 1,5^2}{4} = 1,77 \text{ см}^2;$$

$$A_2 = \frac{\pi d_2^2}{4} = \frac{3,14 \cdot 2,5^2}{4} = 4,91 \text{ см}^2.$$

Нагрузка  $F$  вызывает возникновение двух реакций опор ( $A$  и  $B$ ), которые направлены вдоль продольных осей стержней. Двум неизвестным реакциям соответствуют два уравнения равновесия, значит, система статически определима.

Для определения продольных сил, возникающих в стержнях, с помощью сечения I-I вырежем узел  $C$ , рис. 1.8.

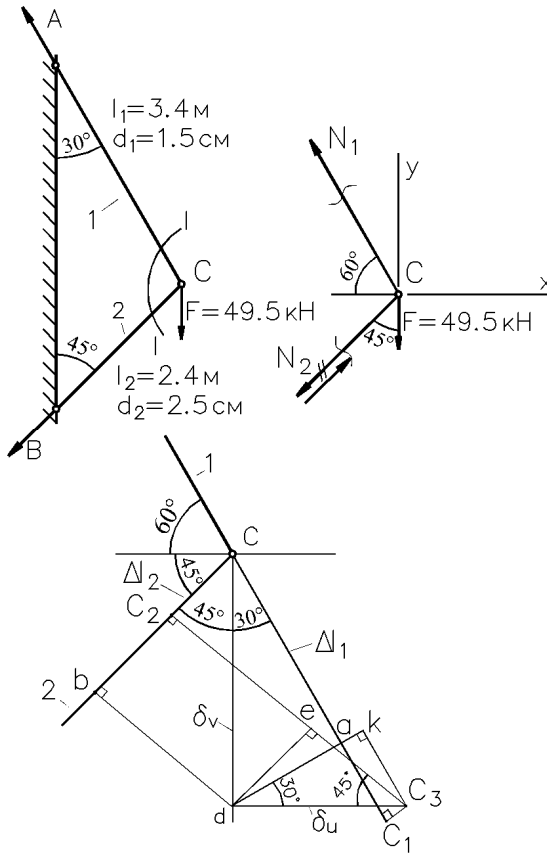


Рис. 1.8

Предположим, что стержни растягиваются, т. е. силы  $N_1$  и  $N_2$  направляем от сечения.



Уравнения равновесия для узла C:

$$\sum X = 0: \quad -N_1 \cos 60^\circ - N_2 \sin 45^\circ = 0;$$

$$-0,5N_1 - 0,707N_2 = 0;$$

$$\sum Y = 0: \quad N_1 \sin 60^\circ - N_2 \cos 45^\circ - F = 0;$$

$$0,866N_1 - 0,707N_2 - F = 0.$$

Решив совместно два уравнения, получим  $N_1 = 36,24$  кН,  
 $N_2 = -25,63$  кН.

Внутренняя сила  $N_2$  получилась отрицательной, значит, стержень 2 не растягивается, как было предположено, а сжимается. Поэтому на схеме направление  $N_2$  меняем на противоположное.

Напряжения в стержнях:

$$\sigma_1 = \frac{N_1}{A_1} = \frac{36,24 \cdot 10^3}{1,77 \cdot 10^{-4}} = 20,5 \cdot 10^7 \text{ Па} = 205 \text{ МПа};$$

$$\sigma_2 = \frac{N_2}{A_2} = -\frac{25,63 \cdot 10^3}{4,91 \cdot 10^{-4}} = -5,22 \cdot 10^7 \text{ Па} = -52,2 \text{ МПа}.$$

Абсолютные продольные деформации стержней:

$$\Delta l_1 = \frac{N_1 l_1}{EA_1} = \frac{\sigma_1 l_1}{E} = \frac{205 \cdot 10^6 \cdot 3,4}{200 \cdot 10^9} = 3,49 \cdot 10^{-3} \text{ м} = 3,49 \text{ мм};$$

$$\Delta l_2 = \frac{\sigma_2 l_2}{E} = -\frac{52,2 \cdot 10^6 \cdot 2,4}{200 \cdot 10^9} = -0,626 \cdot 10^{-3} \text{ м} = -0,626 \text{ мм}.$$

Для определения перемещения узла C мысленно разъединим элементы в этом узле.

По направлению стержня  $1$  в произвольном масштабе откладываем отрезок  $CC_1 = \Delta l_1$ , т. е. показываем, насколько стержень удлинился.

По направлению стержня  $2$  откладываем отрезок  $CC_2 = \Delta l_2$ , т. е. показываем, насколько стержень укоротился.

Показываем вертикальное  $\delta_v$  и горизонтальное  $\delta_u$  перемещения узла  $C$ . Выразим эти перемещения через деформации стержней. Для этого спроецируем перемещения  $\delta_v$  и  $\delta_u$  на направления стержней:

$$\Delta l_1 = CC_1 = Ca + aC_1 = Ca + \kappa C_3 = \delta_v \cos 30^\circ + \delta_u \sin 30^\circ,$$

$$\Delta l_2 = CC_2 = Cb - bC_2 = Cb - de = \delta_v \cos 45^\circ - \delta_u \sin 45^\circ.$$

Решаем систему уравнений:

$$3,49 = \delta_v \cdot 0,866 + \delta_u \cdot 0,5,$$

$$0,626 = \delta_v \cdot 0,707 - \delta_u \cdot 0,707,$$

откуда  $\delta_v = 2,879$  мм,  $\delta_u = 1,993$  мм.

Полное перемещение узла  $C$

$$\delta_C = \sqrt{\delta_v^2 + \delta_u^2} = \sqrt{2,879^2 + 1,993^2} = 3,5 \text{ мм.}$$

### Задача 1.5

Определить перемещение точки  $C$  и наибольшую допустимую нагрузку ( $F$  или  $q$ ) на конструкцию, считая элемент  $P$  абсолютно жестким (недеформирующимся).

Стержень  $1$  – стальной из прокатных элементов (вид и номер элемента указаны на рис. 1.9).

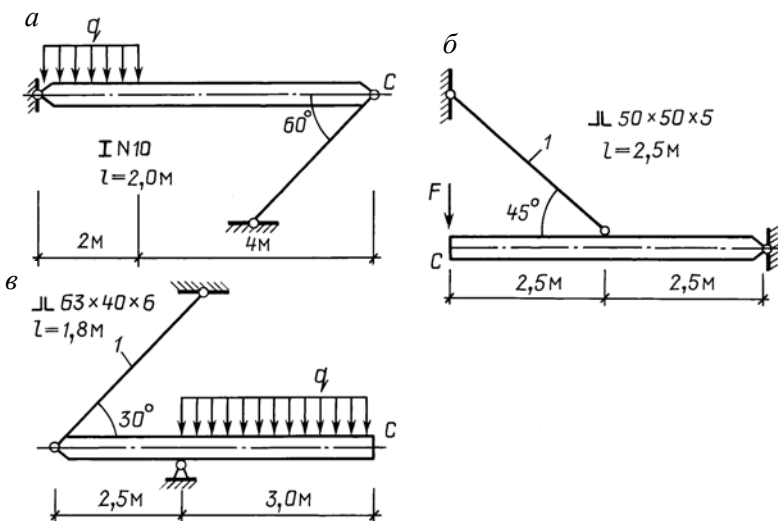


Рис. 1.9

Для стали  $R = 210$  МПа,  $E = 200$  ГПа.

Ответы:

a.  $q_{adm} = 655$  кН/м,  $\delta_c = 2,42$  мм.

б.  $F_{adm} = 71,3$  кН,  $\delta_c = 7,44$  мм.

в.  $q_{adm} = 68,8$  кН/м,  $\delta_c = 4,54$  мм.

### Вариант а)

### Решение

Под действием нагрузки в системе возникают три реакции опор ( $A_x$ ,  $A_y$  и  $B$ ), которые могут быть определены из трех уравнений равновесия. Следовательно, система является статически определимой.

Для двутавра № 10 площадь поперечного сечения  $A_1 = 12,0$  см<sup>2</sup>.

Разрезаем стержень сечением I-I, рис. 1.20, продольную силу  $N_1$  направляем к сечению, т. е. предполагаем, что стержень сжимается.

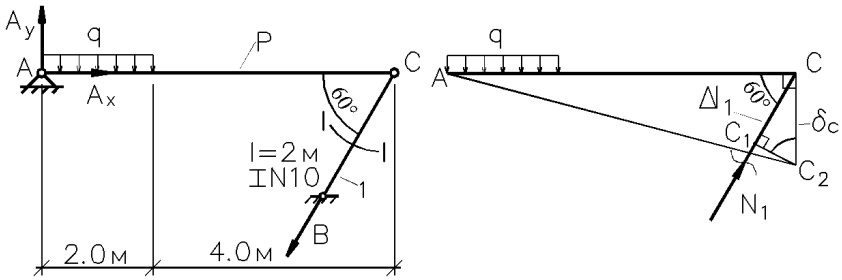


Рис. 1.20

Составляем рациональное уравнение равновесия и определяем продольную силу через неизвестную пока силу  $q$ :

$$\sum M_A = 0: \quad q \cdot 2 \cdot 1 - N_1 \sin 60^\circ \cdot 6 = 0;$$

$$N_1 = \frac{q \cdot 2}{\sin 60^\circ \cdot 6} = 0,385q.$$

Для определения максимально допустимой силы  $q_{\text{adm}}$  используем условие прочности при растяжении-сжатии:

$$\sigma_1 = \frac{N_1}{A_1} \leq R; \quad \sigma_1 = \frac{0,385q}{A_1} \leq R,$$

откуда

$$q_{\text{adm}} \leq \frac{A_1 R}{0,385} = \frac{12 \cdot 10^{-4} \cdot 210 \cdot 10^6}{0,385} = 6545 \cdot 10^2 \text{ Н/м} = 655 \text{ кН/м}.$$

Абсолютная продольная деформация стержня при найденной нагрузке

$$\Delta l_1 = \frac{N_1 l_1}{EA_1} = \frac{0,385 q l_1}{EA_1} = \frac{0,385 \cdot 655 \cdot 10^3 \cdot 2}{200 \cdot 10^9 \cdot 12 \cdot 10^{-4}} = 0,21 \cdot 10^{-2} \text{ м} = 2,1 \text{ мм}.$$

Для определения перемещения узла  $C$  мысленно разъединим элементы в этом узле.

Узел  $C$  жесткого элемента  $P$  перемещается вниз по дуге относительно неподвижной точки  $A$  или по перпендикуляру (вследствие малости деформации) к его продольной оси.

По направлению стержня  $l$  в произвольном масштабе откладываем отрезок  $CC_1 = \Delta l_1$ , показывающий его деформацию. С конца этого отрезка, т. е. из точки  $C_1$ , проводим перпендикуляр к первому перпендикуляру. Их пересечение (точка  $C_2$ ) дает новое положение узла  $C$ .

Из прямоугольного треугольника  $CC_1C_2$  перемещение узла  $C$

$$\delta_C = \frac{\Delta l_1}{\sin 60^\circ} = \frac{2,1}{0,866} = 2,42 \text{ мм.}$$

### Задача 1.6

Расчетная нагрузка  $F = 200$  кН передается на грунтовое основание через чугунную колонну диаметром  $d$ , квадратную подошву со стороной  $a$  и нижнее квадратное основание со стороной  $b$ , рис. 1.21.

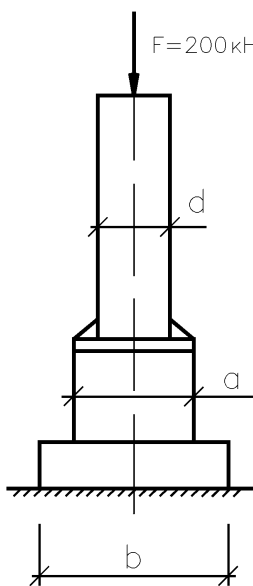


Рис. 1.21

Определить размеры сечений элементов конструкции.

Расчетные сопротивления на сжатие: для чугуна  $R = 50$  МПа, для кладки основания  $R = 1,0$  МПа, для грунта  $R = 0,25$  МПа.

### Р е ш е н и е

Так как сжимающая сила совпадает с продольной осью конструкции, то все ее элементы испытывают деформацию сжатия.

Из условия прочности при растяжении-сжатии ( $\sigma = \frac{N}{A} \leq R$ , где во всех поперечных сечениях  $N = F$ ) определяем требуемые площади поперечных сечений элементов конструкции.

Для чугунной колонны

$$A_d = \frac{200 \cdot 10^3}{50 \cdot 10^6} = 4 \cdot 10^{-3} \text{ м}^2 = 40 \text{ см}^2; \quad A_d = \frac{\pi d^2}{4},$$

откуда

$$d = \sqrt{\frac{4A_d}{\pi}} = \sqrt{\frac{4 \cdot 40}{3,14}} = 7,14 \text{ см.}$$

Для квадратной подошвы

$$A_a = \frac{200 \cdot 10^3}{1,0 \cdot 10^6} = 2000 \text{ см}^2,$$

откуда

$$a = \sqrt{A_a} = \sqrt{2000} = 44,7 \text{ см.}$$

Для квадратного основания

$$A_b = \frac{200 \cdot 10^3}{0,25 \cdot 10^6} = 8000 \text{ см}^2,$$

откуда

$$b = \sqrt{8000} = 89,4 \text{ см.}$$

### Задача 1.7

Ступенчатый кирпичный столб, рис. 1.22, поддерживает перекрытие двух этажей. Определить наибольшее нормальное напряжение в столбе и укорочение его с учетом собственного веса.

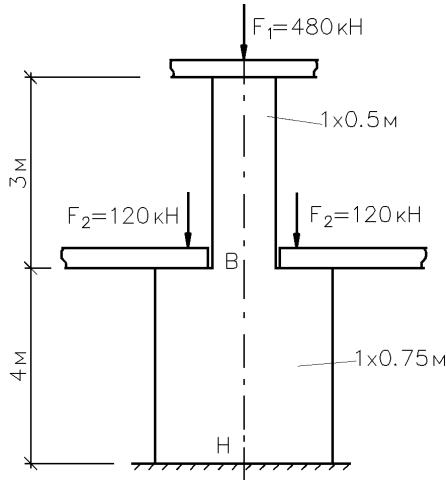


Рис. 1.22

Для кирпичной кладки  $\gamma = 2000 \text{ кг/м}^3$ ,  $E = 4 \text{ ГПа}$ .

### Решение

Вес верхней и нижней частей колонны

$$G_B = \gamma A l g = 2 \cdot 10^3 \cdot 1 \cdot 0,5 \cdot 3 \cdot 9,81 = 29,4 \cdot 10^3 \text{ Н};$$

$$G_H = \gamma A l g = 2 \cdot 10^3 \cdot 1 \cdot 0,75 \cdot 4 \cdot 9,81 = 58,9 \cdot 10^3 \text{ Н}.$$

Определим напряжения с учетом веса и заданной нагрузки.

В сечении  $B$

$$\sigma_B = \frac{F_1 + G_B}{A} = \frac{(480 + 29,4) \cdot 10^3}{1 \cdot 0,5} = 1018,8 \cdot 10^3 \text{ Па} = 1,02 \text{ МПа}.$$

В сечении  $H$

$$\sigma_H = \frac{F_1 + 2F_2 + G_B + G_H}{A} = \frac{(480 + 2 \cdot 120 + 29,4 + 58,9) \cdot 10^3}{1 \cdot 0,75} = 1077,7 \cdot 10^3 \text{ Па} = 1,08 \text{ МПа.}$$

Деформация верхней части (укорочение)

$$\Delta l_B = \frac{F_1 l}{EA} + \frac{G_B l}{2EA} = \frac{480 \cdot 10^3 \cdot 3}{4 \cdot 10^9 \cdot 1 \cdot 0,5} + \frac{29,4 \cdot 10^3 \cdot 3}{2 \cdot 4 \cdot 10^9 \cdot 1 \cdot 0,5} = 0,742 \text{ мм.}$$

Деформация нижней части

$$\Delta l_H = \frac{(F_1 + 2F_2 + G_B)l}{EA} + \frac{G_H l}{2EA} = \frac{(480 + 2 \cdot 120 + 29,4) \cdot 10^3 \cdot 4}{4 \cdot 10^9 \cdot 1 \cdot 0,75} + \frac{58,9 \cdot 10^3 \cdot 4}{2 \cdot 4 \cdot 10^9 \cdot 1 \cdot 0,75} = 1,038 \text{ мм.}$$

Деформация от веса определяется по формуле

$$\Delta l = \frac{Gl}{2EA},$$

деформация от нагрузки

$$\Delta l = \frac{Fl}{EA}.$$

Укорочение столба

$$\Delta l = \Delta l_B + \Delta l_H = 0,742 + 1,038 = 1,78 \text{ мм.}$$

### Задача 1.8

Определить количество болтов,  $d = 5$  мм, необходимых для крепления днища бака, заполненного жидкостью с плотностью  $\gamma = 1000 \text{ кг/м}^3$ , рис. 1.23.



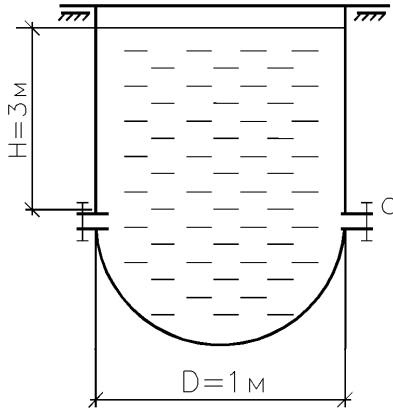


Рис. 1.23

Расчетное сопротивление для материала болта  $R = 210$  МПа.

### Решение

Объем полушара

$$V = \frac{\pi D^3}{12}.$$

Площадь поперечного сечения болта

$$A_{\text{болт}} = \frac{\pi d^2}{4} = \frac{3,14 \cdot 5^2}{4} = 19,6 \text{ мм}^2.$$

Определим объем и вес жидкости:

$$V_{\text{жидк}} = \left( \frac{\pi D^2}{4} H + \frac{\pi D^3}{12} \right) = \frac{3,14 \cdot 1^2}{4} \cdot 3 + \frac{3,14 \cdot 1^3}{12} = 2,617 \text{ м}^3;$$

$$G_{\text{жидк}} = V_{\text{жидк}} \gamma = 2,617 \cdot 1000 = 2617 \text{ кг} = 26170 \text{ Н}.$$

Болты работают на растяжение.

Из условия прочности на растяжение ( $\sigma = \frac{N}{A} = \frac{G_{\text{жидк}}}{A} \leq R$ ) определяем требуемую площадь болтов:

$$A \geq \frac{G_{\text{жидк}}}{R} = \frac{26170}{210 \cdot 10^6} = 124,6 \cdot 10^{-6} \text{ м}^2 = 124,6 \text{ мм}^2.$$

Необходимое количество болтов

$$n \geq \frac{A}{A_{\text{болт}}} = \frac{124,6}{19,6} = 6,36.$$

Принимаем  $n = 7$ .

### Задача 1.9

Абсолютно жесткий элемент  $P$  укреплен на шарнирно-неподвижной опоре и двух стальных стержнях диаметром  $d = 2,5$  см, рис. 1.24.

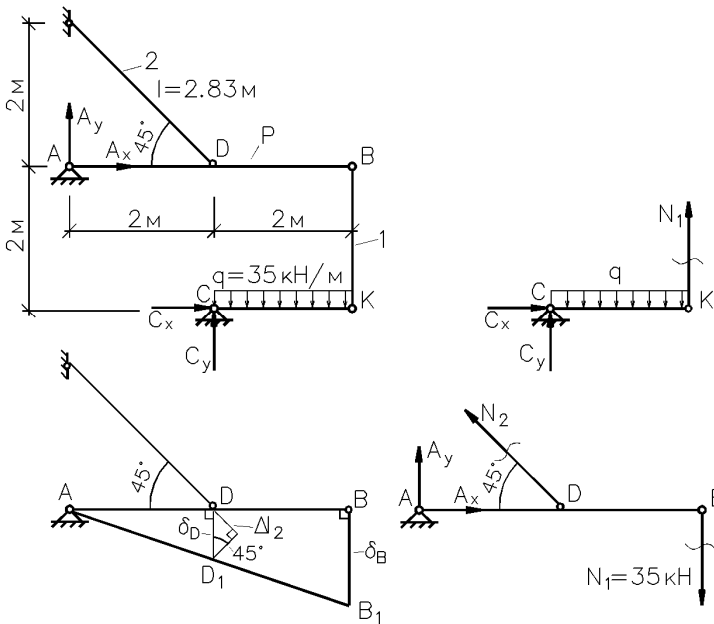


Рис. 1.24

Определить напряжения в стержнях и перемещение точки  $K$ , если  $E = 200$  ГПа.

### Решение

Площади поперечных сечений стержней

$$A = \frac{\pi d^2}{4} = \frac{3,14 \cdot 2,5^2}{4} = 4,91 \text{ см}^2.$$

Для определения продольных сил  $N$ , возникающих в поперечных сечениях стержней, применяем метод сечений. Направляем усилия от сечений, предполагая, что стержни растягиваются.

Рассмотрим равновесие нижней части, так как она имеет три неизвестные силы (продольная сила и две реакции опоры) при трех возможных уравнениях статики (в верхней части четыре неизвестные).

Составим рациональное уравнение равновесия:

$$\sum M_C = 0: \quad q \cdot 2 \cdot 1 - N_1 \cdot 2 = 0;$$

$$N_1 = q = 35 \text{ кН}.$$

Положительный результат говорит о том, что стержень  $I$  растянут. Напряжение в поперечном сечении стержня

$$\sigma_1 = \frac{N_1}{A_1} = \frac{35 \cdot 10^3}{4,91 \cdot 10^{-4}} = 71,3 \text{ МПа}.$$

Деформация (удлинение) стержня

$$\Delta l_1 = \frac{\sigma_1 l_1}{E} = \frac{71,3 \cdot 10^6 \cdot 2}{200 \cdot 10^9} = 0,713 \cdot 10^{-3} \text{ м} = 0,713 \text{ мм}.$$

Рассмотрим равновесие верхней части:

$$\sum M_A = 0: \quad -N_2 \sin 45^\circ \cdot 2 + N_1 \cdot 4 = 0;$$

$$N_2 = \frac{2N_1}{\sin 45^\circ} = \frac{2 \cdot 35}{0,707} = 99 \text{ кН (стержень растягивается);}$$

$$\sigma_2 = \frac{N_2}{A_2} = \frac{99 \cdot 10^3}{4,91 \cdot 10^{-4}} = 201,6 \text{ МПа};$$

$$\Delta l_2 = \frac{\sigma_2 l_2}{E} = \frac{201,6 \cdot 10^6 \cdot 2,83}{200 \cdot 10^9} = 2,85 \text{ мм.}$$

Для определения перемещения узла  $K$  рассмотрим деформацию системы. Так как стержни 1 и 2 растягиваются, то точка  $D$  жёсткого элемента  $AB$  переместится вниз по перпендикуляру к его продольной оси. По направлению стержня 2 откладываем отрезок  $\Delta l_2$ , показывающий, насколько стержень удлинился. Из конца этого отрезка проводим перпендикуляр к первому перпендикуляру.

Пересечение двух перпендикуляров (точка  $D_1$ ) даёт новое положение точки  $D$ .

Точка  $B$  также опустится по перпендикуляру вниз в точку  $B_1$ .

Из подобия треугольников  $ADD_1$  и  $ABB_1$  найдём перемещение точки  $B$ :

$$\frac{DD_1}{AD} = \frac{BB_1}{AB},$$

$$\frac{\delta_D}{2} = \frac{\delta_B}{4},$$

$$\delta_B = 2\delta_D.$$

Из прямоугольного треугольника  $ADD_1$

$$\delta_D = \frac{\Delta l_2}{\sin 45^\circ}.$$

Тогда получим, что

$$\delta_B = \frac{2\Delta l_2}{\sin 45^\circ} = \frac{2 \cdot 2,85}{0,707} = 8,06 \text{ мм.}$$

Полное перемещение точки  $K$  будет состоять из перемещения точки  $B$  и удлинения стержня  $I$ :

$$\delta_K = \delta_B + \Delta l_1 = 8,06 + 0,713 = 8,77 \text{ мм.}$$

## 1.2. Статически неопределимые системы

### Задача 1.10

Система, состоящая из жесткого элемента  $P$  и трех стальных стержней, нагружена расчетной нагрузкой, рис. 1.25. Стержни имеют одинаковые длины и площади поперечного сечения.

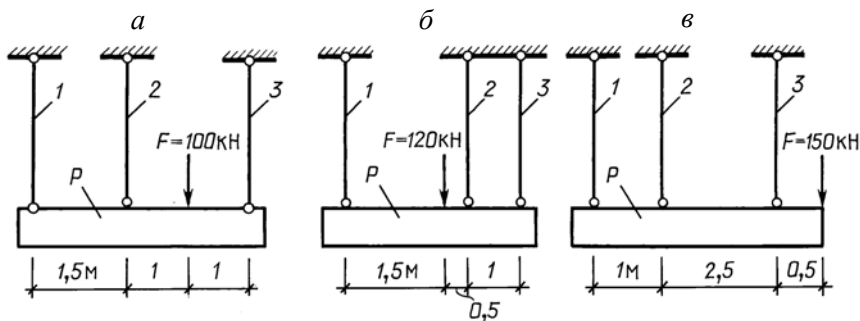


Рис. 1.25

Определить диаметр стержней, если расчетное сопротивление  $R = 210 \text{ МПа}$ .

Ответы:

*a.* По расчету  $d = 1,88 \text{ см}$ ; по сортаменту принимаем  $d = 2,0 \text{ см}$ .

*б.* По расчету  $d = 1,69 \text{ см}$ ; по сортаменту принимаем  $d = 1,8 \text{ см}$ .

*в.* По расчету  $d = 3,17 \text{ см}$ ; по сортаменту принимаем  $d = 3,2 \text{ см}$ .

### Вариант *a*)

### Решение

Система один раз статически неопределима, так как неизвестных реакций или продольных сил три, а уравнений статики для плоской системы параллельных сил можно составить только два.

Рассекаем стержни, усилия  $N$  направляем от сечений, т. е. предполагаем, что все стержни растянуты, рис. 1.26.

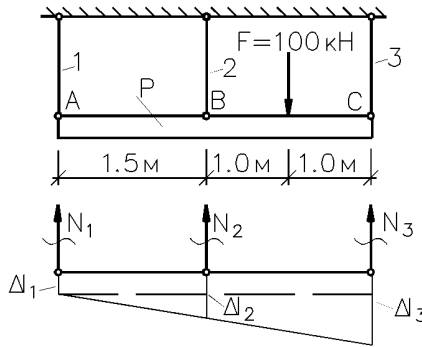


Рис. 1.26

Уравнения равновесия для нижней части:

$$\sum M_A = 0: \quad F \cdot 2,5 - N_2 \cdot 1,5 - N_3 \cdot 3,5 = 0; \quad (1.1)$$

$$\sum M_C = 0: \quad N_1 \cdot 3,5 + N_2 \cdot 2 - F \cdot 1 = 0. \quad (1.2)$$

Составим дополнительное уравнение перемещений, рассмотрим, как система деформируется. Под действием нагрузки жёсткий элемент  $P$  опустится вниз и наклонится, оставаясь прямолинейным. Стержни удлинятся на соответствующие отрезки  $\Delta l$ .

Проведем вспомогательную прямую, параллельную первоначальному положению жесткого элемента.

Рассматривая подобные треугольники, найдем зависимость между деформациями стержней:

$$\frac{\Delta l_3 - \Delta l_1}{3,5} = \frac{\Delta l_2 - \Delta l_1}{1,5},$$

$$1,5\Delta l_3 - 1,5\Delta l_1 = 3,5\Delta l_2 - 3,5\Delta l_1;$$

$$2\Delta l_1 - 3,5\Delta l_2 + 1,5\Delta l_3 = 0.$$

Учитывая, что длины и площади поперечных сечений стержней одинаковы, выражаем удлинение стержней по закону Гука:

$$\frac{2N_1l}{EA} - \frac{3,5N_2l}{EA} + \frac{1,5N_3l}{EA} = 0;$$
$$2N_1 - 3,5N_2 + 1,5N_3 = 0. \quad (1.3)$$

Совместно решая уравнения (1.1)–(1.3), находим продольные силы:

$$N_1 = 10,81 \text{ кН}, \quad N_2 = 31,08 \text{ кН}, \quad N_3 = 58,1 \text{ кН}.$$

Из условия прочности при растяжении-сжатии определим требуемую площадь поперечного сечения стержней:

$$\sigma = \frac{N_{\max}}{A} \leq R,$$

откуда

$$A \geq \frac{N_{\max}}{R} = \frac{N_3}{R} = \frac{58,1 \cdot 10^3}{210 \cdot 10^6} = 0,277 \cdot 10^{-3} \text{ мм}^2 = 2,77 \text{ см}^2.$$

Диаметр стержней

$$A = \frac{\pi d^2}{4},$$

$$d = \sqrt{\frac{4A}{\pi}} = \sqrt{\frac{2,77 \cdot 4}{3,14}} = 1,88 \text{ см}.$$

Принимаем  $d = 2 \text{ см}$ .

### Задача 1.11

Определить наибольшую допустимую нагрузку на систему, рис. 1.27, состоящую из абсолютно жесткого элемента  $P$  и двух стальных стержней, выполненных из двоянных прокатных уголков.

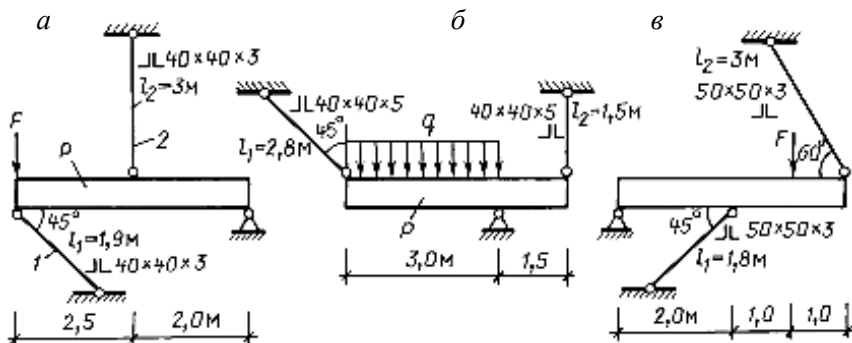


Рис. 1.27

Для стали:  $R = 210$  МПа,  $E = 200$  ГПа.

Ответы:

а.  $N_{\max} = N_1 = 1,13F$ ;  $F_{\text{adm}} = 87,3$  кН.

б.  $N_{\max} = N_2 = 1,447 q$ ;  $q_{\text{adm}} = 110$  кН/м.

в.  $N_{\max} = N_3 = 0,678 F$ ;  $F_{\text{adm}} = 183,3$  кН.

### Вариант а)

### Решение

Для равнобокого уголка  $40 \times 40 \times 3$  из сортамента выписываем площадь поперечного сечения  $A = 2,35$  см<sup>2</sup>.

Тогда площадь поперечного сечения стержней

$$A = 2 \cdot 2,35 = 4,7 \text{ см}^2.$$

Данная система, рис. 1.28, является один раз статически неопределимой, так как имеет четыре неизвестные силы (продольные силы и реакции опор), а уравнений статики для плоской системы можно составить только три.



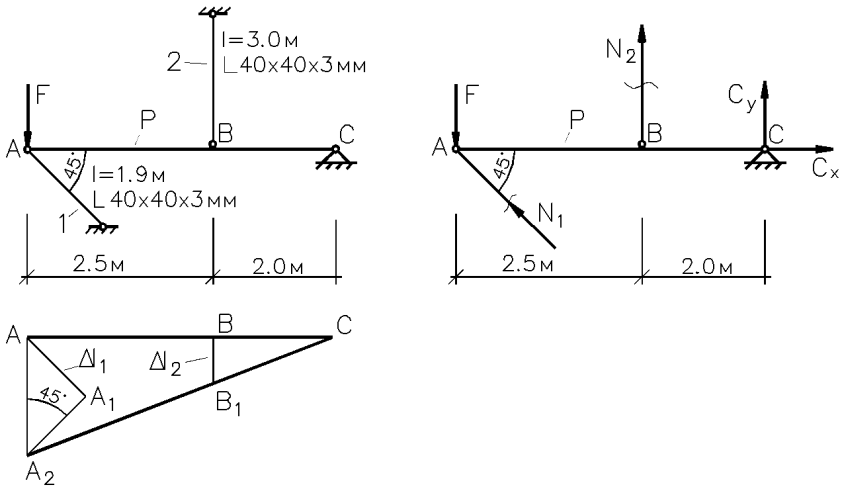


Рис. 1.28

Составим рациональное уравнение равновесия для элемента  $P$ :

$$\sum M_C = 0: \quad N_1 \sin 45^\circ \cdot 4,5 - F \cdot 4,5 + N_2 \cdot 2 = 0. \quad (1.4)$$

Дополнительное уравнение запишем из перемещения системы, найдя зависимость между деформациями стержней. Перемещение точек  $A$  и  $B$  найдем аналогично примеру 1.9.

Рассмотрев подобные треугольники  $AA_2C$  и  $BB_1C$ , получим

$$\frac{AA_2}{4,5} = \frac{BB_1}{2}.$$

Из прямоугольного треугольника  $AA_1A_2$

$$AA_1 = \frac{\Delta l_1}{\sin 45^\circ},$$

тогда

$$\frac{\Delta l_1}{\sin 45^\circ \cdot 4,5} = \frac{\Delta l_2}{2}.$$

Выразим деформации через продольные силы  $\left( \Delta l = \frac{Nl}{EA} \right)$ :

$$\frac{N_1 l_1}{EA \sin 45^\circ \cdot 4,5} = \frac{N_2 l_2}{EA \cdot 2},$$

$$\frac{N_1 \cdot 1,9}{0,707 \cdot 4,5} = \frac{N_2 \cdot 3}{2},$$

откуда

$$N_1 \cdot 0,597 - N_2 \cdot 1,5 = 0. \quad (1.5)$$

Решая совместно уравнения (1.4) и (1.5), найдем продольные силы в стержнях через неизвестную силу  $F$ :

$$N_1 = 1,13F, \quad N_2 = 0,45F.$$

Так как материал и площади стержней одинаковы, то наибольшее напряжение возникает в первом стержне, где продольная сила больше.

Допустимую нагрузку найдем из условия прочности наиболее нагруженного стержня:

$$\sigma_{\max} = \frac{N_{\max}}{A} = \frac{1,13F}{A} \leq R,$$

откуда

$$F_{\text{adm}} \leq \frac{AR}{1,13} = \frac{4,7 \cdot 10^{-4} \cdot 210 \cdot 10^6}{1,13} = 873 \cdot 10^2 \text{ Н} = 87,3 \text{ кН}.$$

### Задача 1.12

Система, состоящая из трех стальных стержней одинакового поперечного сечения и длины, нагружена расчетной нагрузкой  $F$ , рис. 1.29. Определить напряжение в стержнях и перемещение узла  $K$ .

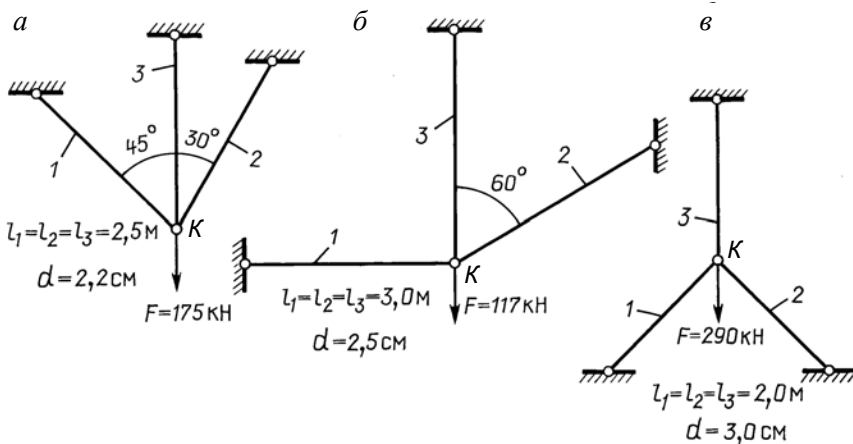


Рис. 1.29

Для стали  $R = 210$  МПа,  $E = 200$  ГПа.

Ответы:

а. Напряжения:  $\sigma_1 = 132$  МПа,  $\sigma_2 = 187$  МПа,  $\sigma_3 = 205$  МПа.

Перемещения  $\delta_K = 2,58$  мм.

б. Напряжения:  $\sigma_1 = 59,6$  МПа,  $\sigma_2 = 69,6$  МПа,  $\sigma_3 = 209$  МПа.

Перемещения  $\delta_K = 3,22$  мм.

в. Напряжения:  $\sigma_1 = \sigma_2 = 145$  МПа,  $\sigma_3 = 205$  МПа.

Перемещения  $\delta_K = 2,05$  мм.

### Вариант в)

### Решение

Площадь поперечного сечения стержней

$$A = \frac{3,14 \cdot 3^2}{4} = 7,065 \text{ см}^2.$$

Данная система является статически неопределимой, так как имеет три неизвестные реакции или внутренних усилия, а уравнений статики для плоской системы сходящихся сил можно составить только два.

Для определения продольных сил используем метод сечений, рис. 1.30.

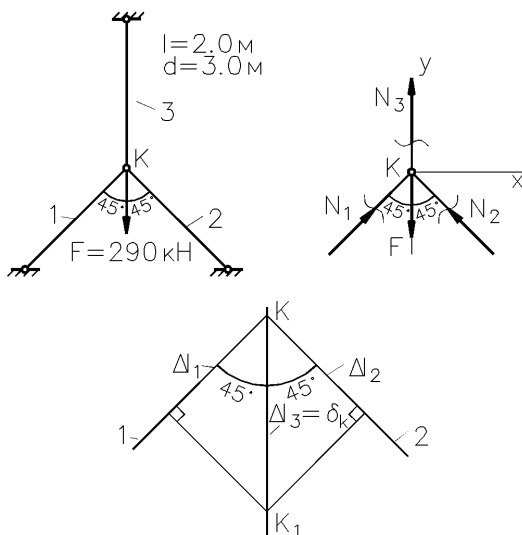


Рис. 1.30

Так как стержни 1 и 2 сжимаются, то показываем сжимающие усилия, т. е. направляем их к сечению. Стержень 3 растягивается, направляем продольную силу от сечения.

Рассмотрим равновесие узла  $K$ :

$$\sum X = 0: \quad N_1 \sin 45^\circ - N_2 \sin 45^\circ = 0;$$

$$N_1 = N_2.$$

$$\sum Y = 0: \quad N_3 + N_1 \cos 45^\circ + N_2 \cos 45^\circ - F = 0;$$

$$1,414N_1 + N_3 = F. \quad (1.6)$$

Составляем дополнительное уравнение, рассмотрев перемещение системы, т. е. найдем зависимость между деформациями стержней:

$$\Delta l_1 = \Delta l_3 \cos 45^\circ = 0,707 \Delta l_3;$$

$$\Delta l_2 = \Delta l_3 \cos 45^\circ = 0,707 \Delta l_3.$$

Выражаем  $\Delta l$  через усилие, используя закон Гука:

$$\frac{N_1 l}{EA} = \frac{N_3 l}{EA} \cdot 0,707,$$

$$N_1 = 0,707 N_3. \quad (1.7)$$

Решая совместно уравнения (1.6) и (1.7), находим продольные силы:

$$N_1 = N_2 = 102,5 \text{ кН}, \quad N_3 = 145 \text{ кН}.$$

Определим нормальные напряжения, возникающие в стержнях:

$$\sigma_1 = \sigma_2 = \frac{102,5 \cdot 10^3}{7,065 \cdot 10^{-4}} = 14,5 \cdot 10^7 \text{ Па} = 145 \text{ МПа};$$

$$\sigma_3 = \frac{145 \cdot 10^3}{7,065 \cdot 10^{-4}} = 205 \text{ МПа}.$$

Для определения перемещения узла  $K$  по направлению стержней отложим в произвольном масштабе отрезки  $\Delta l_1$  и  $\Delta l_2$ , показывающие, насколько стержни удлинились. Из конца этих отрезков проводим перпендикуляры к направлению стержня 3.

Так как система симметрична, то точка  $K$  опустится вертикально вниз. Пересечение всех указанных линий (точка  $K_1$ ) даст новое положение узла  $K$ . Из прямоугольного треугольника перемещение

$$\delta_k = \Delta l_3 = \frac{N_3 l}{EA} = \frac{145 \cdot 10^3 \cdot 2}{200 \cdot 10^9 \cdot 7,065 \cdot 10^{-4}} = 0,205 \cdot 10^{-2} \text{ м} = 2,05 \text{ мм}.$$

### Задача 1.13

Определить минимально необходимый диаметр стального стержня, жестко защемленного концами и нагруженного системой расчетных сил (рис. 1.31). Проверить прочность стержня, если между его нижним концом и опорой будет зазор  $\Delta$ .

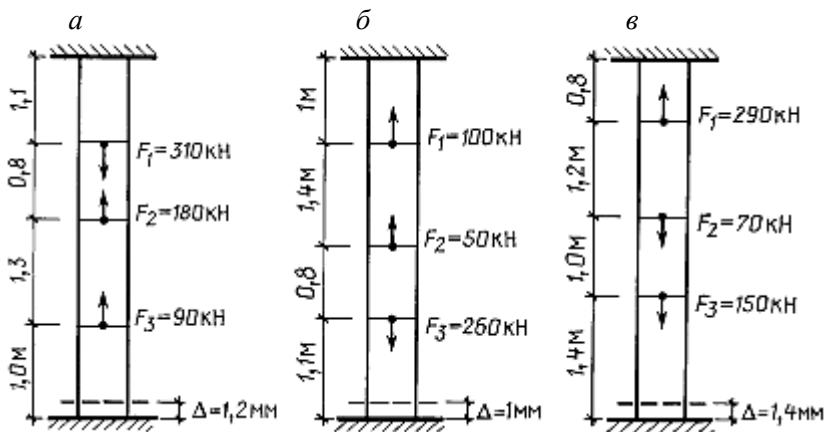


Рис. 1.31

Для стали  $R = 210$  МПа,  $E = 200$  ГПа.

Ответы:

*a.* По расчету,  $d = 3,49$  см, принимаем  $d = 3,6$  см,  $\sigma_{\max} = 197$  МПа.

При наличии зазора  $\sigma_{\max} = 265$  МПа  $> R$ .

*б.* По расчету,  $d = 2,94$  см, принимаем  $d = 3,0$  см,  $\sigma_{\max} = 201$  МПа.

При наличии зазора  $\sigma_{\max} = 213$  МПа  $> R$ .

*в.* По расчету,  $d = 3,03$  см, принимаем  $d = 3,0$  см,  $\sigma_{\max} = 214$  МПа (перенапряжение менее 5 %).

При наличии зазора  $\sigma_{\max} = 260$  МПа  $> R$ .

### Вариант б)

### Решение

Поскольку силы приложены вдоль продольной оси стержня, то в опорах возникает по одной реакции ( $A_z$  и  $B_z$ ), рис. 1.32.

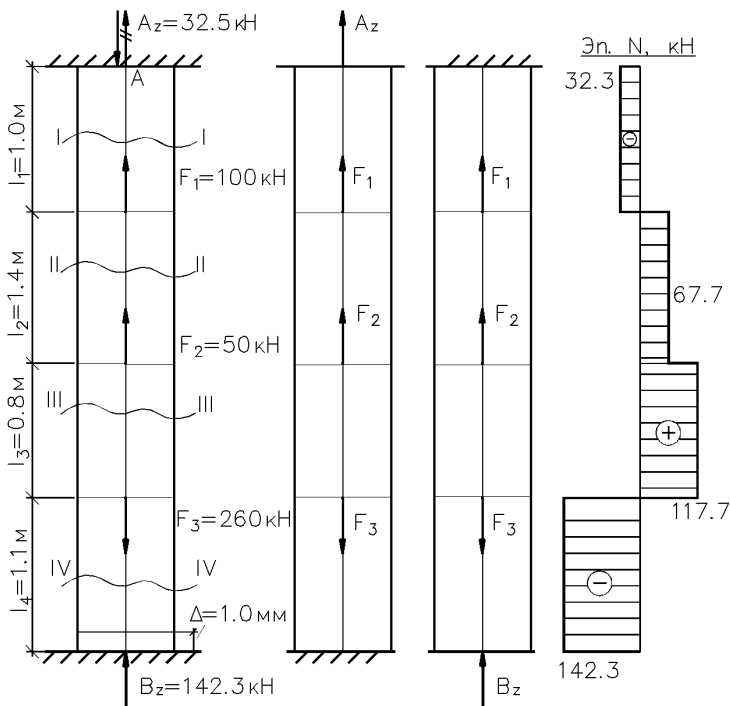


Рис. 1.32

Для данной системы можно составить только одно уравнение статики:

$$\sum Z = A_z + F_1 + F_2 - F_3 + B_z = 0.$$

Следовательно, система один раз статически неопределима.

Для раскрытия статической неопределимости отбросим верхнюю опору и заменим ее действие на стержень неизвестной реакцией  $A_z$ .

Получим статически определимый стержень, который нагружен так же, как заданный статически неопределимый.

Смысл дополнительного уравнения перемещений состоит в том, что сумма деформаций всех участков стержня от действия заданных сил и верхней опорной реакции равна нулю:

$$\delta_A = \sum \Delta l_i = 0.$$

Применяя принцип суперпозиции, получим

$$\delta_A = \Delta l_{A_Z} + \Delta l_F = 0.$$

Выразим деформации участков стержня через продольные силы по закону Гука  $\left( \Delta l = \frac{Nl}{EI} \right)$ , учитывая, что  $EA = \text{const}$ :

$$\delta_A = \frac{1}{EA} [A_Z (l_1 + l_2 + l_3 + l_4) + F_1 (l_2 + l_3 + l_4) + F_2 (l_3 + l_4) - F_3 l_4] = 0;$$

$$A_Z \cdot 4,3 + 100 \cdot 3,3 + 50 \cdot 1,9 - 260 \cdot 1,1 = 0,$$

откуда

$$A_Z = -32,3 \text{ кН.}$$

Меняем направление реакции  $A_Z$  на противоположное.

Для определения реакции  $B_Z$  отбросим нижнюю опору.

Уравнение перемещений

$$\delta_B = \Delta l_{B_Z} + \Delta l_F = 0,$$

$$\delta_B = \frac{1}{EA} [-B_Z (l_1 + l_2 + l_3 + l_4) - F_1 l_1 - F_2 (l_1 + l_2) + F_3 (l_2 + l_3 + l_4)] = 0;$$

$$-B_Z \cdot 4,3 - 100 \cdot 1 - 50 \cdot 2,4 + 260 \cdot 3,2 = 0,$$

откуда

$$B_Z = 142,3 \text{ кН.}$$

Проверяем правильность найденных реакций из уравнения равновесия:

$$\sum Z = -32,3 + 100 + 50 - 260 + 142,3 = 0.$$

Реакции определены верно.



Определяем продольные силы на участках, разрезая стержень и отбрасывая от сечения нижнюю часть.

Сечение I–I:

$$N_1 = -A_Z = -32,3 \text{ кН.}$$

Сечение II–II:

$$N_2 = -A_Z + F_1 = 67,7 \text{ кН.}$$

Сечение III–III:

$$N_3 = -A_Z + F_1 + F_2 = 117,7 \text{ кН.}$$

Сечение IV–IV:

$$N_4 = -A_Z + F_1 + F_2 - F_3 = -142,3 \text{ кН.}$$

По полученным значениям строим эпюру  $N$ .

Диаметр определяем из условия прочности при растяжении-сжатии:

$$\sigma_{\max} = \frac{N_{\max}}{A} \leq R,$$

откуда

$$A \geq \frac{N_{\max}}{R} = \frac{142,3 \cdot 10^3}{210 \cdot 10^6} = 0,678 \cdot 10^{-3} \text{ м}^2 = 6,78 \text{ см}^2.$$

$$\text{Так как } A = \frac{\pi d^2}{4}, \text{ то } d = \sqrt{\frac{4A}{\pi}} = \sqrt{\frac{4 \cdot 6,78}{3,14}} = 2,94 \text{ см.}$$

$$\text{Принимаем } d = 3 \text{ см, } A = \frac{3,14 \cdot 3^2}{4} = 7,07 \text{ см}^2.$$

Проверим прочность стержня, если между нижним концом и опорой имеется зазор  $\Delta = 1 \text{ мм}$ .

Уравнение перемещений будет иметь вид

$$\delta_B = \sum \Delta l_i = \Delta;$$

$$\delta_B = -B_Z \cdot 4,3 + 260 \cdot 3,2 \cdot 10^3 - 50 \cdot 2,4 \cdot 10^3 - 100 \cdot 1 \cdot 10^3 = \Delta E A;$$

$$-B_Z \cdot 4,3 + 612 \cdot 10^3 = 1 \cdot 10^{-3} \cdot 200 \cdot 10^9 \cdot 7,07 \cdot 10^{-4};$$

$$-B_Z \cdot 4,3 = -470,6 \cdot 10^3;$$

$$B_Z = 109,4 \cdot 10^3 \text{ Н} = 109,4 \text{ кН.}$$

Определяем продольные силы, разрезая стержень и отбрасывая от сечения верхнюю часть:

$$N_1 = -B_Z + F_3 - F_2 - F_1 = 0,6 \text{ кН};$$

$$N_2 = -B_Z + F_3 - F_2 = 100,6 \text{ кН};$$

$$N_3 = -B_Z + F_3 = 150,6 \text{ кН};$$

$$N_4 = -B_Z = -109,4 \text{ кН};$$

$$N_{\max} = N_3 = 150,6 \text{ кН.}$$

Определяем максимальное напряжение и проверяем прочность стержня:

$$\sigma_{\max} = \frac{N_{\max}}{A} = \frac{150,6 \cdot 10^3}{7,07 \cdot 10^{-4}} = 21,3 \cdot 10^7 \text{ Па} = 213 \text{ МПа} > R = 210 \text{ МПа.}$$

Перенапряжение стержня

$$\frac{213 - 210}{210} \cdot 100 \% = 1,4 \%, \text{ что допустимо.}$$

Прочность стержня обеспечена.

### Задача 1.14

Короткая стальная труба, заполненная бетоном, находится под действием сжимающей силы  $F = 600$  кН, которая передается трубе через абсолютно жесткую плиту, рис. 1.33.

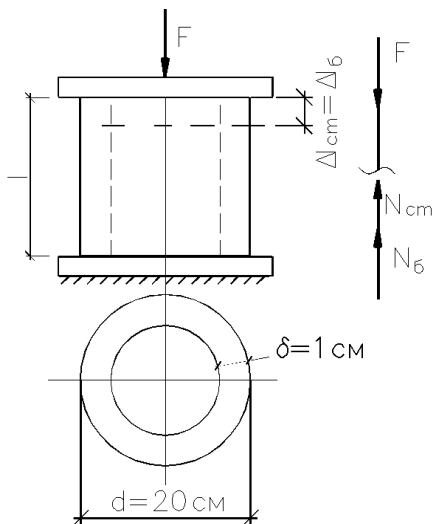


Рис. 1.33

Проверить прочность трубы и бетона.

Для стали  $R_{ст} = 210$  МПа,  $E = 200$  ГПа.

Для бетона  $R_б = 20$  МПа,  $E = 30$  ГПа.

### Решение

Площадь поперечного сечения бетона и стали

$$A_б = \frac{\pi d^2}{4} = \frac{3,14 \cdot 18^2}{4} = 254,3 \text{ см}^2;$$

$$A_{ст} = \frac{3,14 \cdot 20^2}{4} - 254,3 = 59,7 \text{ см}^2.$$

При действии нагрузки колонна сжимается, возникают сжимающие усилия в бетоне и стали. Применяя метод сечений и составляя уравнение равновесия для оставшейся верхней части, получим

$$\sum Z = 0: \quad N_{\text{ст}} + N_{\text{б}} - F = 0. \quad (1.8)$$

Так как система имеет два неизвестных усилия, а уравнение статики для нее можно записать только одно, следовательно, необходимо составить дополнительное уравнение перемещений, рассмотрим деформацию системы.

Смысл уравнения перемещений состоит в том, что деформация бетона и стали в данном случае одинакова:

$$\Delta l_{\text{ст}} = \Delta l_{\text{б}}.$$

Деформацию выражаем через усилия по закону Гука  $\left( \Delta l = \frac{Nl}{EA} \right)$ :

$$\frac{N_{\text{ст}}l}{E_{\text{ст}}A_{\text{ст}}} = \frac{N_{\text{б}}l}{E_{\text{б}}A_{\text{б}}};$$

$$\frac{N_{\text{ст}}}{200 \cdot 59,7} = \frac{N_{\text{б}}}{30 \cdot 254,3},$$

откуда

$$N_{\text{ст}} = 1,57N_{\text{б}}. \quad (1.9)$$

Решая совместно уравнения (1.8) и (1.9), найдем неизвестные усилия:

$$N_{\text{б}} = 233,9 \text{ кН}, \quad N_{\text{ст}} = 366,1 \text{ кН}.$$

Напряжения, возникающие в стали и бетоне:

$$\sigma_{\text{ст}} = \frac{N_{\text{ст}}}{A_{\text{ст}}} = \frac{366,1 \cdot 10^3}{59,7 \cdot 10^{-4}} = 6,13 \cdot 10^7 \text{ Па} = 61,3 \text{ МПа} < R_{\text{ст}};$$

$$\sigma_{\text{б}} = \frac{N_{\text{б}}}{A_{\text{б}}} = \frac{233,9 \cdot 10^3}{254,3 \cdot 10^{-4}} = 0,92 \cdot 10^7 \text{ Па} = 9,2 \text{ МПа} < R_{\text{б}}.$$

Прочность обеспечена.

### Задача 1.15

Деревянная стойка, рис. 1.34, усиленная четырьмя стальными уголками, сжимается силой  $F$  через абсолютно жесткую плиту.

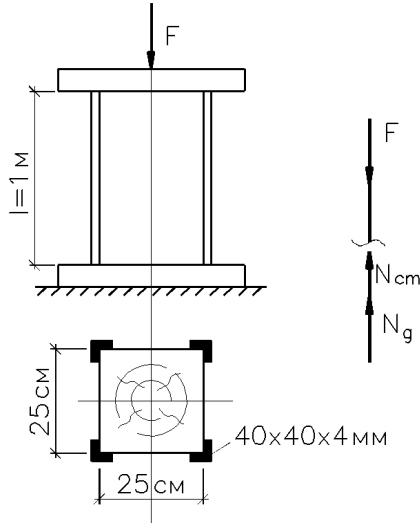


Рис. 1.34

Определить наибольшую допустимую нагрузку  $F$ .

Для стали  $R_{ст} = 210$  МПа,  $E = 200$  ГПа.

Для древесины  $R_{д} = 4$  МПа,  $E = 10$  ГПа.

### Решение

Из сортамента для уголка  $40 \times 40 \times 4$  мм площадь поперечного сечения  $A = 3,08$  см<sup>2</sup>.

Площади сечений для стали и дерева:

$$A_{ст} = 3,08 \cdot 4 = 12,32 \text{ см}^2;$$

$$A_{д} = 25 \cdot 25 = 625 \text{ см}^2.$$

Рассекаем систему и составляем уравнение равновесия для верхней от сечения части:

$$\sum Z = 0: \quad N_{\text{ст}} + N_{\text{д}} = F. \quad (1.10)$$

Таким образом, задача статически неопределимая, так как для определения двух неизвестных усилий одного уравнения статики недостаточно.

Дополнительное уравнение

$$\Delta l_{\text{ст}} = \Delta l_{\text{д}};$$
$$\frac{N_{\text{ст}} l}{E_{\text{ст}} A_{\text{ст}}} = \frac{N_{\text{д}} l}{E_{\text{д}} A_{\text{д}}}.$$

Подставляем все заданные величины:

$$\frac{N_{\text{ст}} \cdot 1}{200 \cdot 12,32} = \frac{N_{\text{д}} \cdot 1}{10 \cdot 625},$$

откуда

$$N_{\text{ст}} = 0,394 N_{\text{д}}$$

или

$$N_{\text{д}} = 2,54 N_{\text{ст}}.$$

С учетом этого уравнение (1.10) примет вид

$$0,349 N_{\text{д}} + N_{\text{д}} = F \quad (1.11)$$

или

$$N_{\text{ст}} + 2,54 N_{\text{ст}} = F. \quad (1.12)$$

Из условия прочности  $\sigma = \frac{N}{A} \leq R$  при растяжении-сжатии определим допустимые продольные силы:

$$N_d = R_d A_d = 4 \cdot 10^6 \cdot 625 \cdot 10^{-4} = 250 \text{ кН};$$

$$N_{ст} = R_{ст} A_{ст} = 210 \cdot 10^6 \cdot 12,32 \cdot 10^{-4} = 259 \text{ кН}.$$

Подставляем полученные значения усилий в уравнения (1.11) и (1.12) и определяем допустимые силы для дерева и стали:

$$F_{adm_d} = 1,394 \cdot 250 = 348,5 \text{ кН};$$

$$F_{adm_{ст}} = 3,54 \cdot 259 = 916,9 \text{ кН}.$$

Принимаем меньшее значение  $F$ :

$$F_{adm} = 348,5 \text{ кН}.$$

### Задача 1.16

Конструкция, рис. 1.35, состоит из абсолютно жесткого элемента  $P$ , укрепленного на опоре  $C$ , и двух прокатных равнополочных уголков  $50 \times 50 \times 5 \text{ мм}$ .

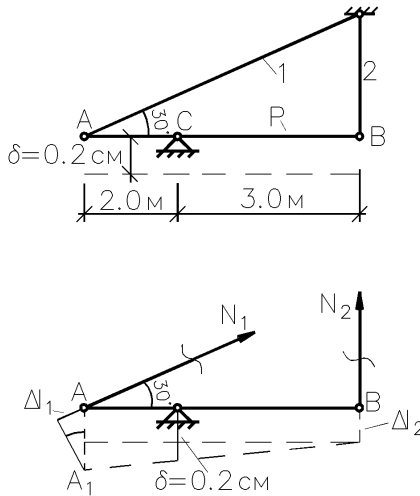


Рис. 1.35

Определить напряжения в стержнях вследствие осадки опоры  $C$  на  $\delta = 0,2$  см.

### Решение

Площадь поперечного сечения уголка  $50 \times 50 \times 5$  мм из сортамента  $A = 4,8$  см. Площадь стержней

$$A = 2 \cdot 4,8 = 9,6 \text{ см}^2.$$

Длины стержней

$$l_1 = \frac{5}{\cos 30^\circ} = 5,77 \text{ м};$$

$$l_2 = l_1 \sin 30^\circ = 5,77 \cdot 0,5 = 2,89 \text{ м}.$$

Вследствие осадки опоры  $C$  система деформируется и в стержнях 1 и 2 возникнут растягивающие усилия.

Рациональное уравнение статики

$$\sum M_C = 0: \quad N_1 \sin 30^\circ \cdot 2 - N_2 \cdot 3 = 0;$$

$$N_1 = 3N_2. \quad (1.13)$$

Уравнение перемещений

$$\frac{2\Delta l_1 - \Delta l_2}{5} = \frac{\delta - \Delta l_2}{3},$$

где

$$AA_1 = \frac{\Delta l_1}{\sin 30^\circ} = 2\Delta l_1,$$

$$6\Delta l_1 + 2\Delta l_2 = 5\delta.$$



Выражаем деформации через усилия:

$$\frac{6N_1l_1}{EA} + \frac{2N_2l_2}{EA} = 5\delta;$$

$$6N_1l_1 + 2N_2\Delta l_2 = 5EA\delta.$$

Подставляем известные величины:

$$6N_1 \cdot 5,77 + 2N_2 \cdot 2,89 = 5 \cdot 200 \cdot 10^9 \cdot 9,6 \cdot 10^{-4} \cdot 0,2 \cdot 10^{-2};$$

$$34,62N_1 + 5,78N_2 = 1920 \cdot 10^3. \quad (1.14)$$

Решая совместно уравнения (1.13) и (1.14), получим

$$N_1 = 52,53 \text{ кН}, \quad N_2 = 17,51 \text{ кН}.$$

Напряжения в стержнях:

$$\sigma_1 = \frac{N_1}{A} = \frac{52,53 \cdot 10^3}{9,6 \cdot 10^{-4}} = 5,47 \cdot 10^7 \text{ Па} = 54,7 \text{ МПа};$$

$$\sigma_2 = \frac{N_2}{A} = \frac{17,51 \cdot 10^3}{9,6 \cdot 10^{-4}} = 18,2 \text{ МПа}.$$

## 2. СДВИГ

### Задача 2.1

Заклепочное соединение, рис. 2.1, должно безопасно воспринять нагрузку  $F$ . Определить номер прокатного профиля, размеры поперечного сечения накладок и количество заклепок.

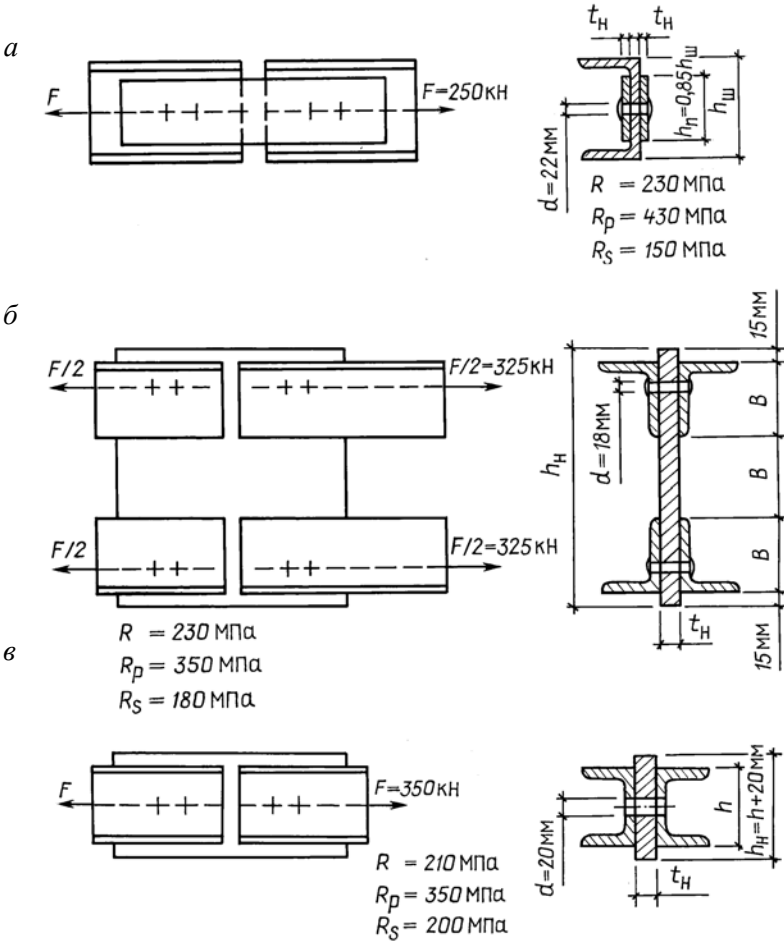


Рис. 2.1

Считать  $A_{нт} = 0,85A_{бр}$ .

Ответы:

а. Швеллер № 12, накладка  $10 \times 0,7$  см,  $n = 6$  (с каждой стороны).

б. Уголок  $75 \times 60 \times 7$  мм, накладка  $25,5 \times 1,3$  см,  $n = 8$ .

в. Швеллер № 10, накладка  $12 \times 1,8$  см,  $n = 6$ .

### Вариант а)

$F = 250$  кН;  $R = 230$  МПа;  $R_P = 430$  МПа;  $R_S = 150$  МПа, рис. 2.2.

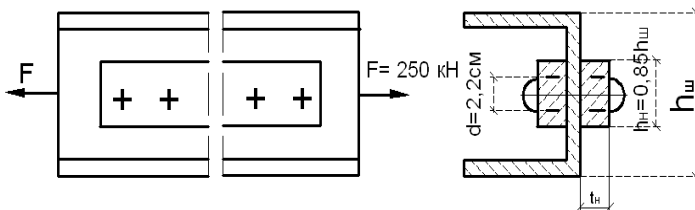


Рис. 2.2

### Решение

Определим площадь поперечного сечения швеллера из условия прочности на растяжение по нормальным напряжениям

$$\sigma = \frac{N}{A_{нт}} \leq R,$$

откуда

$$A_{нт} = 0,85A_{бр} = \frac{N}{R}, \quad N = F,$$

тогда

$$A_{бр} = \frac{F}{0,85R} = \frac{250 \cdot 10^3}{0,85 \cdot 230 \cdot 10^6} = 12,8 \text{ см}^2.$$

Принимаем швеллер № 12 с площадью  $A_{ш} = 13,3 \text{ см}^2$  и  $h_{ш} = 12$  см;  $t_{ш} = 4,8$  мм.

Тогда высота накладки (см. рис. 2.2)

$$h_{\text{н}} = 0,85h_{\text{ш}} = 0,85 \cdot 12 = 10,2 \text{ см.}$$

Толщину накладки определим из соображений, что

$$A_{\text{н}} = A_{\text{ш}} = 13,3 \text{ см}^2 = 2h_{\text{н}}t_{\text{н}} \rightarrow t_{\text{н}} = 0,65 \text{ см.}$$

Принимаем  $t_{\text{н}} = 0,7 \text{ см.}$

Количество заклепок определим из условия прочности на срез

$$\tau = \frac{Q}{\sum A_s} = \frac{F}{A_s n n_s} \leq R_s,$$

откуда

$$\begin{aligned} n &= \frac{F}{A_s n_s R_s} = \frac{4F}{\pi d^2 n_s R_s} = \\ &= \frac{4 \cdot 250 \cdot 10^3}{3,14 \cdot 2,2^2 \cdot 10^{-4} \cdot 2 \cdot 150 \cdot 10^6} = 2,19 \rightarrow n = 3. \end{aligned}$$

Количество заклепок определим из условия прочности на смятие

$$\sigma_p = \frac{N}{\sum A_p} = \frac{F}{dn \sum t_{\text{min}}} \leq R_p,$$

откуда

$$n = \frac{F}{d \sum t_{\text{min}} R_p} = \frac{250 \cdot 10^3}{2,2 \cdot 10^{-2} \cdot 4,8 \cdot 10^{-3} \cdot 430 \cdot 10^6} = 5,51 \rightarrow n = 6.$$

Для соединения принимаем  $n = 6$  (с каждой стороны стыка).

### Задача 2.2

Две стальные полосы, рис. 2.3, соединены внахлест заклепками диаметром  $d = 14 \text{ мм.}$

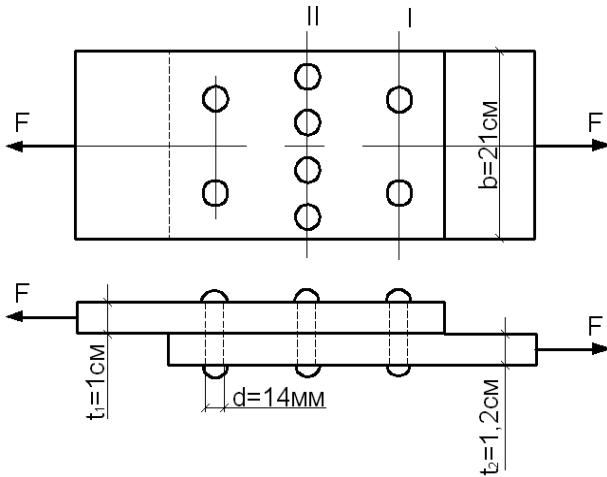


Рис. 2.3

Определить наибольшую допустимую нагрузку  $F$ , если  $R = 210$  МПа,  $R_s = 140$  МПа,  $R_p = 250$  МПа.

### Решение

Из условия прочности на растяжение:  
по сечению I

$$F = A_{\text{нт}} R = (21 \cdot 10^{-2} \cdot 1 \cdot 10^{-2} - 2 \cdot 1,4 \cdot 10^{-2} \cdot 1 \cdot 10^{-2}) \cdot 210 \cdot 10^6 = 382 \text{ кН};$$

по сечению II

$$F = (21 \cdot 10^{-2} \cdot 1 \cdot 10^{-2} - 4 \cdot 1,4 \cdot 10^{-2} \cdot 1 \cdot 10^{-2}) \cdot 210 \cdot 10^6 = 323,4 \text{ кН}.$$

Из условия прочности на срез

$$\tau_{\text{ср}} = \frac{F}{\frac{\pi d^2}{4} n n_s} \leq R_s;$$

$$F = \frac{3,14 \cdot 1,4^2 \cdot 10^{-4}}{4} \cdot 8 \cdot 1 \cdot 140 \cdot 10^6 = 172 \text{ кН}.$$

Из условия прочности на смятие

$$\sigma_{\text{см}} = \frac{F}{\sum t_{\text{min}} dn} \leq R_p;$$

$$F = 1,4 \cdot 10^{-2} \cdot 1 \cdot 8 \cdot 10^{-2} \cdot 250 \cdot 10^6 = 280 \text{ кН.}$$

Принимаем  $F_{\text{adm}} = 172 \text{ кН.}$

### Задача 2.3

Раскосы стальной фермы, рис. 2.4, выполненные из уголков  $80 \times 80 \times 80 \text{ мм}$ , с помощью косынки толщиной  $t = 8 \text{ мм}$  присоединяются к нижнему поясу, выполненному из уголков  $75 \times 75 \times 6 \text{ мм}$ . Усилия в раскосах  $N_1 = N_2 = 140 \text{ кН}$ .

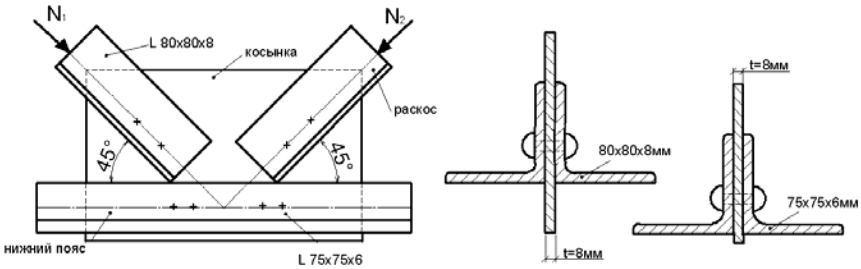


Рис. 2.4

Определить количество заклепок  $d = 17 \text{ мм}$  для присоединения:

- 1) раскосов к косынке;
- 2) косынки к нижнему поясу.

Принять  $R_s = 100 \text{ МПа}$ ,  $R_p = 260 \text{ МПа}$ .

### Решение

1. Количество заклепок для присоединения раскоса к косынке.  
Количество заклепок из условия прочности на срез

$$n = \frac{4N}{\pi d^2 n_s R_s} = \frac{140 \cdot 10^3 \cdot 4}{3,14 \cdot 1,7^2 \cdot 10^{-4} \cdot 2 \cdot 100 \cdot 10^6} = 3,1.$$

Количество заклепок из условия прочности на смятие

$$n = \frac{N}{d \sum t_{\min} R_p} = \frac{140 \cdot 10^3}{1,7 \cdot 10^{-2} \cdot 0,8 \cdot 10^{-2} \cdot 260 \cdot 10^6} = 3,96.$$

Принимаем  $n = 4$ .

2. Количество заклепок для присоединения косынки к нижнему поясу.

Количество заклепок из условия прочности на срез

$$n = \frac{4N \sin 45^\circ \cdot 2}{\pi d^2 n_s R_s} = \frac{4 \cdot 140 \cdot 10^3 \cdot 0,707 \cdot 2}{3,14 \cdot 1,7^2 \cdot 10^{-4} \cdot 2 \cdot 100 \cdot 10^6} = 4,36.$$

Количество заклепок из условия прочности на смятие

$$n = \frac{2N \sin 45^\circ}{d \sum t_{\min} R_p} = \frac{4 \cdot 140 \cdot 10^3 \cdot 0,707}{1,7 \cdot 10^{-2} \cdot 0,8 \cdot 10^{-2} \cdot 260 \cdot 10^6} = 5,59.$$

Принимаем  $n = 6$ .

### Задача 2.4

Определить равнопрочные размеры поперечного сечения (номер прокатного профиля) соединяемых элементов и накладки, рис. 2.5, а также длину фланговых швов (выполненных вручную), если расчетное сопротивление соединяемых элементов  $R = 210$  МПа, а расчетное сопротивление материала шва срезу  $R_w = 160$  МПа.

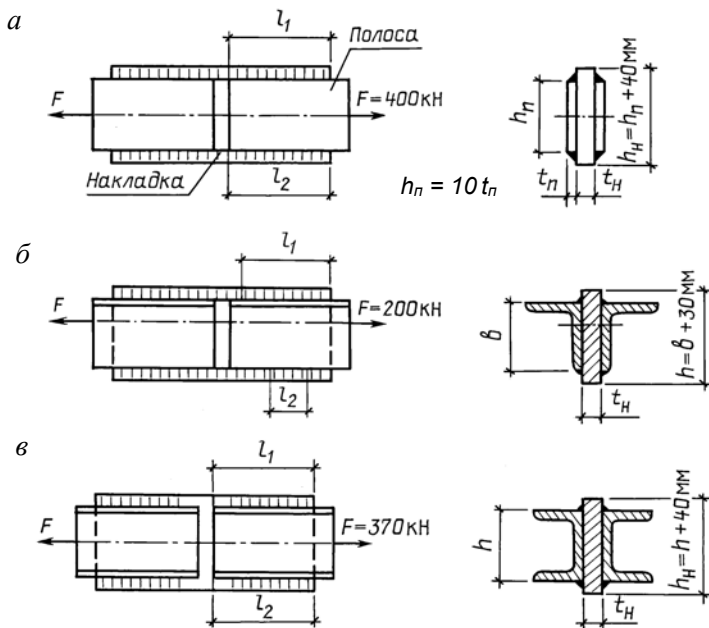


Рис. 2.5

Ответы:

а.  $h_0 = 10$  мм,  $h_n = 10$  см,  $t_n = 1,0$  см,  $h_n = 14$  см,  $t_n = 1,4$  см,  $l_1 = l_2 = 10$  см.

б.  $h_0 = 5$  мм, уголок  $50 \times 50 \times 5$  мм,  $h_n = 8$  см,  $t_n = 1,2$  см,  $l_1 = 13$  см,  $l_2 = 6$  см.

в.  $h_0 = 6$  мм, двутавр № 8,  $h_n = 12$  см,  $t_n = 1,5$  см,  $l_1 = l_2 = 15$  см.

### Вариант а)

### Решение

Суммарную площадь двух полос, рис. 2.6, определим из условия прочности на растяжение:

$$\sigma = \frac{F}{A} \leq R,$$

откуда

$$A_n = \frac{F}{R} = \frac{400 \cdot 10^3}{210 \cdot 10^6} = 19,1 \text{ см}^2.$$



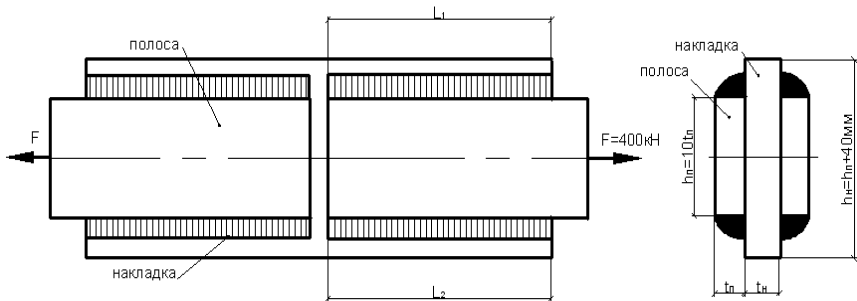


Рис. 2.6

Тогда размеры одной полосы будут (см. рис. 2.6)

$$A_{\Pi} = 2(h_{\Pi}t_{\Pi}) = 2(10t_{\Pi}t_{\Pi}) = 19,1 \text{ см}^2 \rightarrow t_{\Pi} = 0,977 \text{ см.}$$

Принимаем  $t_{\Pi} = 1,0 \text{ см}$ ,  $h_{\Pi} = 10 \text{ см}$ .

$$A_{\Pi} = 2 \cdot 10 \cdot 1 = 20 \text{ см}^2.$$

Размеры накладки определим из условия ее равнопрочности с полосами:

$$A_{\Pi} = A_{\Pi} = 20 \text{ см}^2, \quad h_{\Pi} = 10 + 4 = 14 \text{ см};$$

$$t_{\Pi} = \frac{20}{14} = 1,43 \text{ см.}$$

Принимаем  $t_{\Pi} = 1,4 \text{ см}$ .

Длину фланговых швов определим из условия прочности на срез, приняв высоту катета шва  $h_w = t_{\Pi} = 10 \text{ мм}$ :

$$\tau = \frac{Q}{A} = \frac{F}{h_w \sum l_w} \leq R_w.$$

Учитывая, что сварка ручная, суммарная длина швов будет

$$\sum l_w = \frac{400 \cdot 10^3}{0,7 \cdot 10 \cdot 10^{-3} \cdot 160 \cdot 10^6} = 0,357 \text{ м} = 36 \text{ см};$$

$$l_1 = l_2 = \frac{\sum l_w}{4} + 1 = 10 \text{ см}.$$

### Задача 2.5

При ограниченном перекрытии соединенных внахлестку двух полос (1 и 2) для обеспечения прочности соединения в полосе толщиной 12 мм сделана прорезь шириной 24 мм для заполнения электродом, рис. 2.7.

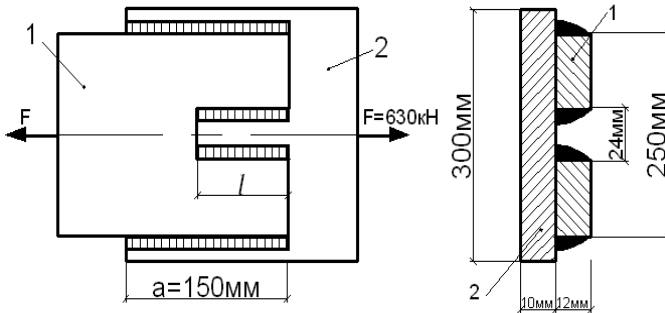


Рис. 2.7

Определить проектную длину прорези  $l$ , если  $R_w = 150$  МПа. Сварка ручная.

### Решение

Принимаем  $h_w = 12$  мм.

Тогда из условия прочности общая длина шва

$$\sum l_w = \frac{630 \cdot 10^3}{0,7 \cdot 12 \cdot 10^{-3} \cdot 150 \cdot 10^6} = 0,5 \text{ м} = 50 \text{ см}.$$

Длину прорези определим следующим образом:

$$\sum l_w = 2(a-1) + 2l = 50 \text{ см} \rightarrow l = 11 \text{ см};$$

$$2a + 2l = 50 \text{ см} \rightarrow l = 10 \text{ см}.$$

Принимаем  $l = 10 + 1 = 11 \text{ см}$ .

### Задача 2.6

Сварной стык стальной полосы, рис. 2.8, осуществлен крестообразным соединением с помощью прокладки, приваренной к полосе четырьмя торцевыми швами, выполненными вручную. Катет шва  $h_w = 10 \text{ мм}$ .

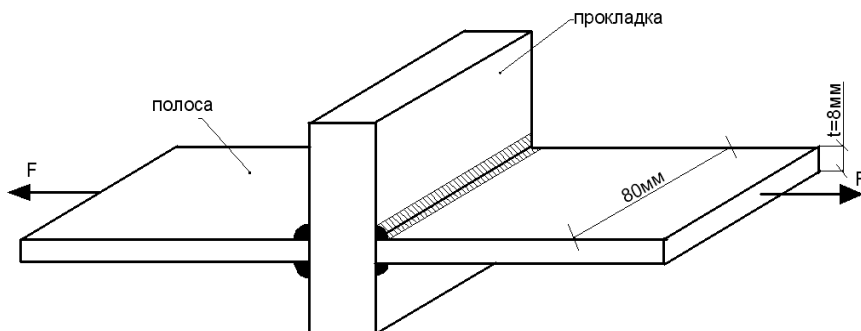


Рис. 2.8

Определить значение касательного напряжения в сечении шва, если нормальное напряжение в полосе составляет 150 МПа.

### Решение

Зная напряжение в полосе, определим силу  $F$ :

$$\sigma = \frac{N}{A} = \frac{F}{80 \cdot 10^{-3} \cdot 8 \cdot 10^{-3}} = 150 \cdot 10^6 \rightarrow F = 96 \text{ кН}.$$

Касательное напряжение в сечении шва, принимая во внимание, что сварка выполнялась вручную:

$$\tau_w = \frac{F}{A} = \frac{96 \cdot 10^3}{2 \cdot 0.7 \cdot 80 \cdot 10^{-3} \cdot 10 \cdot 10^{-3}} = 85,7 \text{ МПа.}$$

### Задача 2.7

Проверить прочность соединения деревянных брусьев, рис. 2.9, соединенных с помощью лобовой врубки. Усилие в стропильной ноге  $F = 50 \text{ кН}$ ,  $h = 12 \text{ см}$ ;  $b = 8 \text{ см}$ ;  $c = 11 \text{ см}$ ;  $a = 4 \text{ см}$ ;  $l = 27 \text{ см}$ ;  $\alpha = 30^\circ$ .

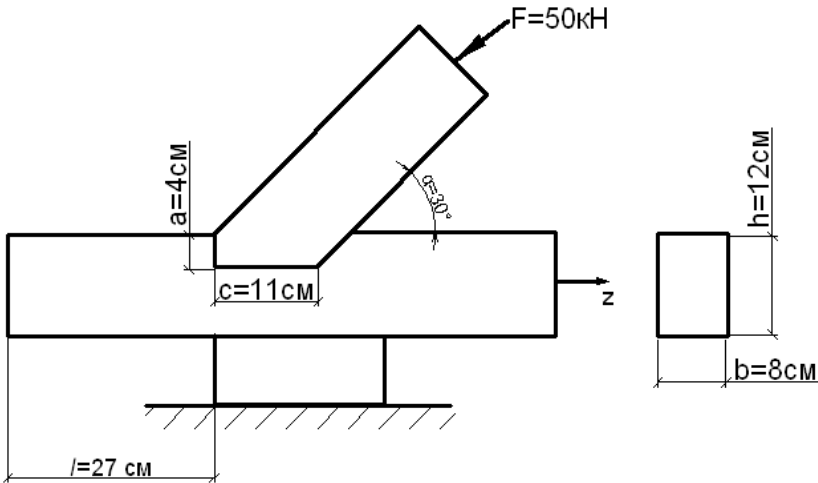


Рис. 2.9

Расчетные сопротивления:

на скалывание вдоль волокон  $R_s = 2,1 \text{ МПа}$ ;

смятие вдоль волокон  $R_{p0} = 140 \text{ МПа}$ ;

смятие поперек волокон  $R_{p90} = 3 \text{ МПа}$ .

## Решение

Напряжение скалывания

$$\tau_s = \frac{F \cos 30^\circ}{A_s} = \frac{50 \cdot 10^3 \cdot 0,866}{8 \cdot 10^{-2} \cdot 27 \cdot 10^{-2}} = 0,20 \cdot 10^7 \text{ Па} = 2,0 \text{ МПа} < R_s.$$

Напряжение смятия вдоль волокон

$$\sigma_{p0} = \frac{50 \cdot 10^3 \cdot 0,866}{8 \cdot 10^{-2} \cdot 4 \cdot 10^{-2}} = 1,35 \cdot 10^7 \text{ Па} = 13,5 \text{ МПа} < R_{p0}.$$

Напряжение смятия поперек волокон

$$\sigma_{p90} = \frac{50 \cdot 10^3 \cdot 0,5}{8 \cdot 10^{-2} \cdot 11 \cdot 10^{-2}} = 0,284 \cdot 10^7 \text{ Па} = 2,84 \text{ МПа} < R_{p90}.$$

Прочность соединения деревянных брусьев обеспечена.

### Задача 2.8

Переключатель 1, рис. 2.10, соединяется со стойкой 2 при помощи шипа.

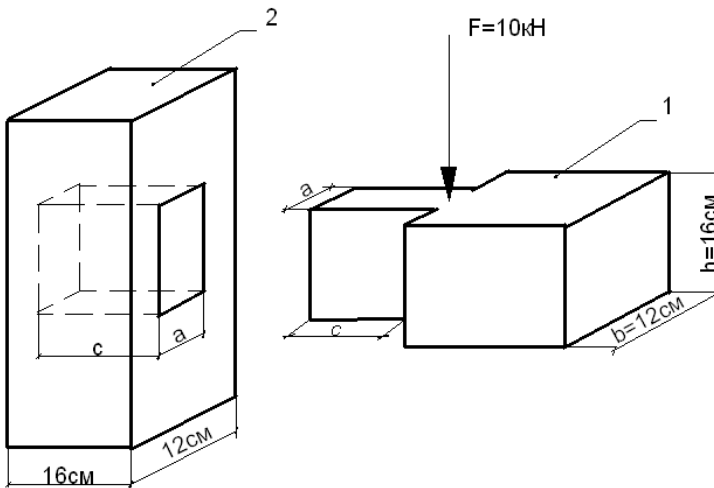


Рис. 2.10

Определить размеры шипа, если расчетные сопротивления для древесины:

на смятие вдоль волокон  $R_{p0} = 8 \text{ МПа}$ ;

смятие поперек волокон  $R_{p90} = 3 \text{ МПа}$ .

### Р е ш е н и е

В соединении образуются сминающие напряжения. Шип пере-  
кладчины сминается поперек волокон, гнездо стойки – вдоль воло-  
кон. Более опасно смятие поперек волокон ( $R_{p0} > R_{p90}$ ).

Принимаем

$$a = \frac{b}{3} = \frac{12}{3} = 4 \text{ см.}$$

Условие прочности

$$\sigma_{p90} = \frac{F}{ac} = 3 \cdot 10^6 \rightarrow c = \frac{10 \cdot 10^3}{4 \cdot 10^{-2} \cdot 3 \cdot 10^6} = 0,833 \cdot 10^{-1} \text{ м} = 8,33 \text{ см.}$$

Принимаем  $c = 9,0 \text{ см}$ .

### 3. ГЕОМЕТРИЧЕСКИЕ ХАРАКТЕРИСТИКИ СЕЧЕНИЙ

#### Задача 3.1

Для заданного сечения, рис. 3.1, определить значения главных центральных моментов инерции ( $h = 30$  см;  $b = 18$  см;  $d = 24$  см).

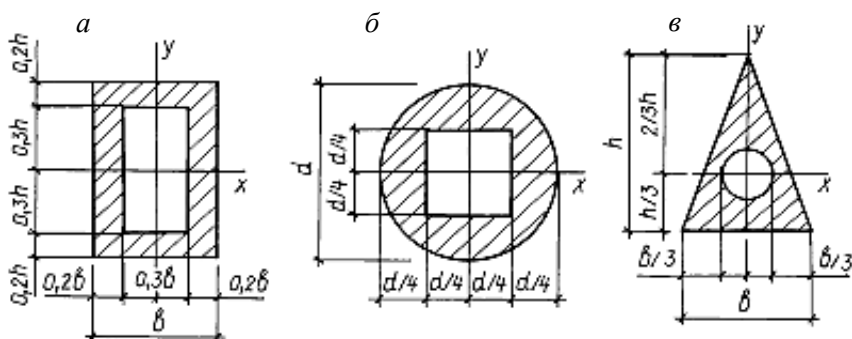


Рис. 3.1

Ответы:

a.  $J_u = 35\,251 \text{ см}^4$ ,  $J_v = 12\,690 \text{ см}^4$ .

б.  $J_u = J_v = 14\,550 \text{ см}^4$ .

в.  $J_u = 13\,436 \text{ см}^4$ ,  $J_v = 3\,581 \text{ см}^4$ .

**Вариант а)**

**Решение**

Поскольку центры тяжести фигур совпадают, то центр тяжести сечения расположен в точке  $O$ , рис. 3.2.

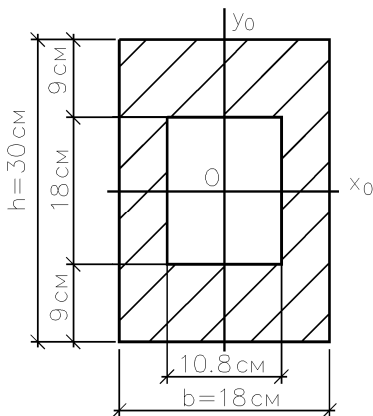


Рис. 3.2

Вычислим моменты инерции относительно центральных осей  $X_0$  и  $Y_0$ , используя формулы для определения центральных моментов инерции простых фигур:

$$I_{X_0} = I_{X_1} - I_{X_2} = \frac{b_1 h_1^3}{12} - \frac{b_2 h_2^3}{12} = \frac{18 \cdot 30^3}{12} - \frac{10,8 \cdot 18^3}{12} = 35\,251 \text{ см}^4;$$

$$I_{Y_0} = \frac{b_1^3 h_1}{12} - \frac{b_2^3 h_2}{12} = \frac{18^3 \cdot 30}{12} - \frac{10,8^3 \cdot 18}{12} = 12\,690 \text{ см}^4.$$

Поскольку оси  $X_0$  и  $Y_0$  являются осями симметрии и проходят через центр тяжести сечения, они являются главными центральными осями ( $U$  и  $V$ ).

$$I_U = I_{\max} = I_{X_0} = 35\,251 \text{ см}^4;$$

$$I_V = I_{\min} = I_{Y_0} = 12\,690 \text{ см}^4.$$

### Задача 3.2

Для заданного сечения, рис. 3.3, определить положение центра тяжести и значения главных центральных моментов инерции.



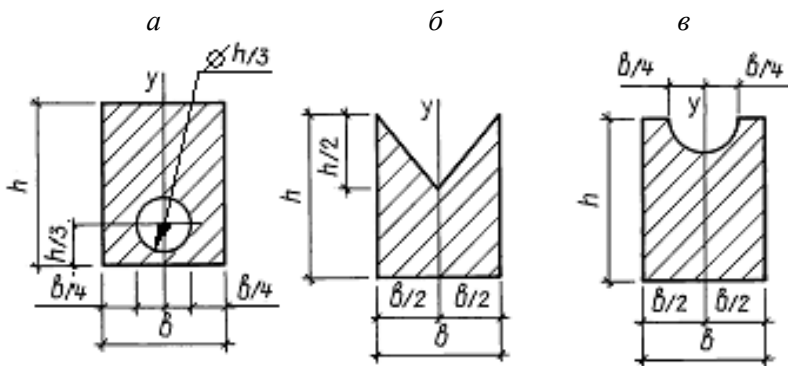


Рис. 3.3

Данные к вариантам задачи:

а.  $h = 24$  см,  $b = 16$  см.

б.  $h = 30$  см,  $b = 20$  см.

в.  $h = 28$  см,  $b = 24$  см.

Ответы:

а.  $y_0 = 12,6$  см,  $J_u = 17\,306$  см<sup>4</sup>,  $J_v = 7991$  см<sup>4</sup>.

б.  $y_0 = 11,66$  см,  $J_u = 23\,125$  см<sup>4</sup>,  $J_v = 17\,500$  см<sup>4</sup>.

в.  $y_0 = 12,93$  см,  $J_u = 35\,657$  см<sup>4</sup>,  $J_v = 31\,747$  см<sup>4</sup>.

### Вариант а)

### Решение

Разобьем сечение на две фигуры: прямоугольник и круг, рис. 3.4. Площади этих фигур

$$A_1 = bh = 16 \cdot 24 = 384 \text{ см}^2;$$

$$A_2 = \frac{\pi d^2}{4} = \frac{3,14 \cdot 8^2}{4} = 50,24 \text{ см}^2.$$

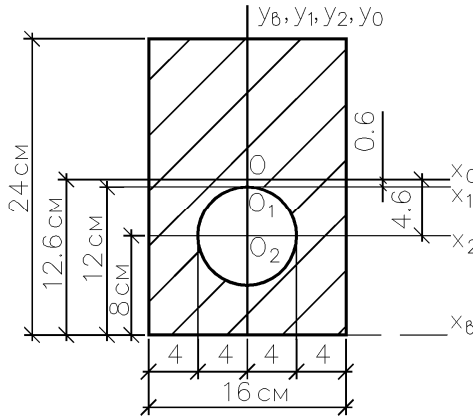


Рис. 3.4

Для определения положения центра тяжести сечения проведем вспомогательные оси, ось симметрии – одна из них.

Центр тяжести лежит на оси симметрии, тогда

$$x_0 = 0;$$

$$y_0 = \frac{S_{X_b}}{A} = \frac{\sum A_i y_i}{\sum A_i} = \frac{A_1 y_1 - A_2 y_2}{A_1 - A_2} = \frac{24 \cdot 16 \cdot 12 - \frac{3,14 \cdot 8^2}{4} \cdot 8}{384 - 50,24} = 12,6 \text{ см},$$

где  $y_i$  – расстояние от вспомогательной оси  $X_b$  до центра тяжести соответствующей фигуры.

Проводим центральные оси  $X_0$  и  $Y_0$  и определяем моменты инерции относительно этих осей:

$$I_{X_0} = \sum (I_{X_i} + m_i^2 A_i) = I_{X_1} + m_1^2 A_1 - (I_{X_2} + m_2^2 A_2);$$

$$I_{Y_0} = \sum (I_{Y_i} + n_i^2 A_i) = I_{Y_1} + n_1^2 A_1 - (I_{Y_2} + n_2^2 A_2).$$

Найдем центральные моменты инерции простых фигур:

$$I_{X_1} = \frac{bh^3}{12} = \frac{16 \cdot 24^3}{12} = 18\,432 \text{ см}^4;$$

$$I_{Y_1} = \frac{b^3h}{12} = \frac{16^3 \cdot 24}{12} = 8192 \text{ см}^4;$$

$$I_{X_2} = I_{Y_2} = \frac{\pi d^4}{64} = \frac{3,14 \cdot 8^4}{64} = 201 \text{ см}^4.$$

Определяем расстояния между центральными осями простых фигур  $X_1$ ,  $X_2$  и центральной осью всего сечения  $X$ :

$$m_1 = y_0 - y_1 = 12,6 - 12 = 0,6 \text{ см};$$

$$m_2 = y_0 - y_2 = 12,6 - 8 = 4,6 \text{ см}.$$

Расстояния между центральными осями  $Y_1$ ,  $Y_2$  и центральной осью всего сечения  $Y$

$$n_1 = n_2 = 0,$$

так как эти оси совпадают.

Окончательно получим

$$I_{X_0} = 18432 + 0,6^2 \cdot 384 - 201 - 4,6^2 \cdot 50,24 = 17\,306 \text{ см}^4;$$

$$I_{Y_0} = 8192 - 201 = 7991 \text{ см}^4.$$

Рассматриваемое сечение имеет ось симметрии – ось  $Y_0$ . Следовательно, эта ось является главной. Вторая главная ось – ось  $X_0$ , так как проходит через центр тяжести сечения и перпендикулярна первой. Главные центральные моменты инерции

$$I_U = I_{\max} = I_{X_0} = 17306 \text{ см}^4;$$

$$I_V = I_{\min} = I_{Y_0} = 7991 \text{ см}^4.$$

### Задача 3.3

Для сечения, составленного из прокатного элемента и листа, рис. 3.5, определить положение центра тяжести и значения главных центральных моментов инерции.

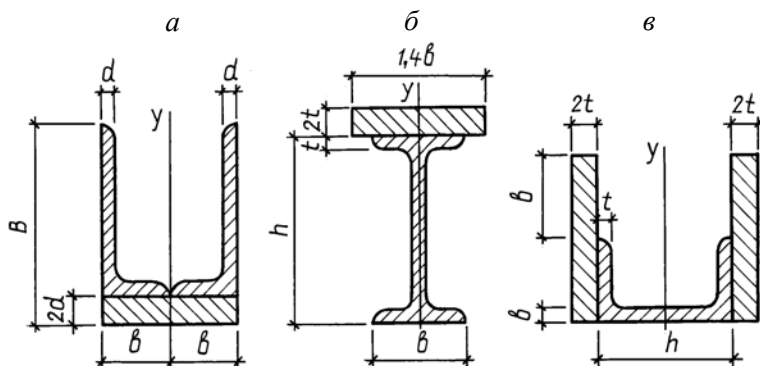


Рис. 3.5

Данные к вариантам задачи:

- а) неравнобокий уголок  $12,5 \times 8 \times 0,8$  см; лист  $16 \times 1,6$  см;
- б) двутавр № 20; лист  $14 \times 1,68$  см;
- в) швеллер № 18; лист  $14 \times 1,74$  см.

Ответы:

а.  $y_0 = 3,32$  см,  $J_u = 1774$  см<sup>4</sup>,  $J_v = 768$  см<sup>4</sup>.

б.  $y_0 = 15,07$  см,  $J_u = 3317$  см<sup>4</sup>,  $J_v = 499$  см<sup>4</sup>.

в.  $y_0 = 5,49$  см,  $J_u = 5860$  см<sup>4</sup>,  $J_v = 800$  см<sup>4</sup>.

## Вариант а)

### Решение

Из таблиц сортамента для уголка, рис. 3.6, выписываем:  
 $A_1 = 14,06 \text{ см}^2$ ,  $I_{X_1} = 226 \text{ см}^4$ ,  $I_{Y_1} = 73,73 \text{ см}^4$ ,  $x_c = 1,8 \text{ см}$ ,  
 $y_c = 4,01 \text{ см}$ .

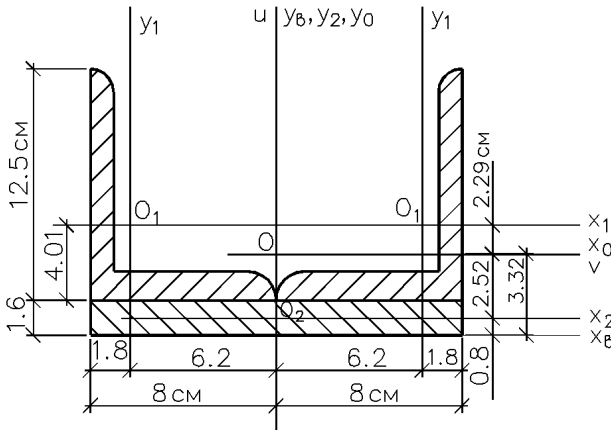


Рис. 3.6

Геометрические характеристики листа

$$A_2 = bh = 16 \cdot 1,6 = 25,6 \text{ см}^2;$$

$$I_{X_2} = \frac{bh^3}{12} = \frac{16 \cdot 1,6^3}{12} = 5,46 \text{ см}^4;$$

$$I_{Y_2} = \frac{b^3h}{12} = \frac{16^3 \cdot 1,6}{12} = 546 \text{ см}^4.$$

Проводим вспомогательные оси и определяем координаты центра тяжести сечения:

$$x_0 = 0;$$

$$y_0 = \frac{S_{X_B}}{A} = \frac{\sum A_i y_i}{\sum A_i} = \frac{2A_1 y_1 + A_2 y_2}{2A_1 + A_2} = \frac{2 \cdot 14,06 \cdot (1,6 + 4,01) + 25,6 \cdot 0,8}{2 \cdot 14,06 + 25,6} = 3,32 \text{ см.}$$

Определяем центральные моменты инерции:

$$\begin{aligned} I_{X_0} &= \sum (I_{X_i} + m_i^2 A_i) = 2(I_{X_1} + m_1^2 A_1) + I_{X_2} + m_2^2 A_2 = \\ &= 2(226 + 2,29^2 \cdot 14,06) + 5,46 + 2,52^2 \cdot 25,6 = 767,5 \text{ см}^4, \end{aligned}$$

где  $m_1 = y_1 - y_0 = 5,61 - 3,32 = 2,29 \text{ см};$

$m_2 = y_0 - y_2 = 3,32 - 0,8 = 2,52 \text{ см};$

$$\begin{aligned} I_{Y_0} &= \sum (I_{Y_i} + n_i^2 A_i) = 2(I_{Y_1} + n_1^2 A_1) + I_{Y_2} + n_2^2 A_2 = \\ &= 2(73,73 + 6,2^2 \cdot 14,06) + 546 = 1774,4 \text{ см}^4, \end{aligned}$$

где  $n_1 = b - x_c = 8 - 1,8 = 6,2 \text{ см};$

$n_2 = 0.$

Главные центральные моменты инерции

$$I_U = I_{\max} = 1774,4 \text{ см}^4;$$

$$I_V = I_{\min} = 767,5 \text{ см}^4.$$

### Задача 3.4

Для сечения, составленного из прокатного профиля и листа, рис. 3.7, определить положение центра тяжести и главных центральных осей, а также значения главных центральных моментов инерции.

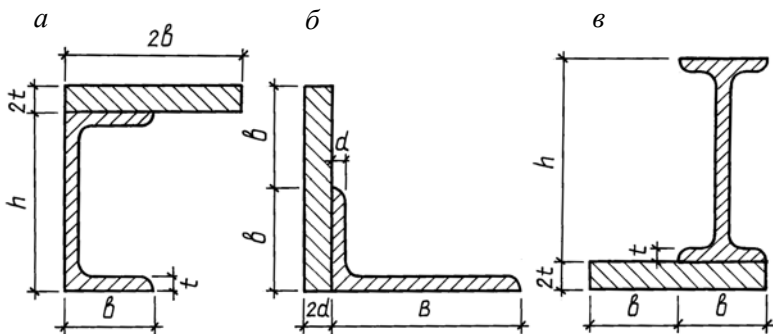


Рис. 3.7

Данные к вариантам задачи:

- а) швеллер № 16, лист  $12,8 \times 1,68$  см;
- б) неравнобокий уголок  $10 \times 6,3 \times 1$  см, лист  $12,6 \times 2$  см;
- в) двутавр № 16, лист  $16,2 \times 1,56$  см.

Ответы:

- а.  $x_0 = 4,30$  см,  $y_0 = 12,8$  см,  $\alpha_0 = -41,35^\circ$ ,  $J_u = 1666$  см<sup>4</sup>,  $J_v = 420$  см<sup>4</sup>.
- б.  $x_0 = 2,7$  см,  $y_0 = 4,5$  см,  $\alpha_0 = 31,49^\circ$ ,  $J_u = 748$  см<sup>4</sup>,  $J_v = 194$  см<sup>4</sup>.
- в.  $x_0 = 9,90$  см,  $y_0 = 4,68$  см,  $\alpha_0 = -20^\circ$ ,  $J_u = 1890$  см<sup>4</sup>,  $J_v = 651$  см<sup>4</sup>.

### Вариант б)

### Решение

Из таблиц сортамента выписываем необходимые данные для уголка. В рассматриваемом сечении, рис. 3.8, уголок расположен иначе, чем в таблице сортамента, поэтому значения моментов инерции и координат центра тяжести нужно записать с учетом его положения:

$$A_1 = 15,47 \text{ см}^2, \quad I_{X_1} = 47,2 \text{ см}^4, \quad I_{Y_1} = 154 \text{ см}^4,$$

$$I_{X_1 Y_1} = 48,6 \text{ см}^4, \quad x_c = 3,4 \text{ см}, \quad y_c = 1,58 \text{ см}.$$

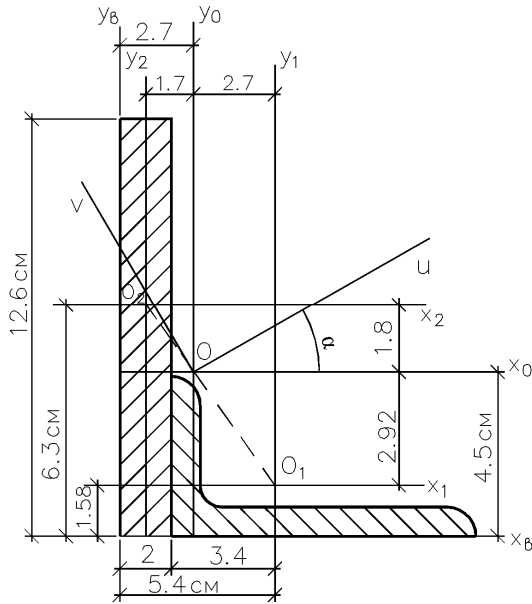


Рис. 3.8

Геометрические характеристики листа:

$$A_2 = bh = 12,6 \cdot 2 = 25,2 \text{ см}^2;$$

$$I_{X_2} = \frac{b \cdot h^3}{12} = \frac{2 \cdot 12,6^3}{12} = 333,3 \text{ см}^4;$$

$$I_{Y_2} = \frac{b^3 h}{12} = \frac{2^3 \cdot 12,6}{12} = 8,4 \text{ см}^4.$$

Проводим вспомогательные оси и находим положение центра тяжести сечения:

$$x_0 = \frac{S_Y}{A} = \frac{A_i x_i}{\sum A_i} = \frac{A_1 x_1 + A_2 x_2}{A_1 + A_2} = \frac{15,47 \cdot 5,4 + 25,2 \cdot 1}{15,47 + 25,2} = 2,7 \text{ см};$$

$$y_0 = \frac{S_X}{A} = \frac{A_i y_i}{\sum A_i} = \frac{A_1 y_1 + A_2 y_2}{A_1 + A_2} = \frac{15,47 \cdot 1,58 + 25,2 \cdot 6,3}{15,47 + 25,2} = 4,5 \text{ см},$$



где  $x_i, y_i$  – координаты центров тяжести элементов во вспомогательных осях.

Определяем центральные моменты инерции:

$$\begin{aligned} I_{X_0} &= \sum (I_{X_i} + m_i^2 A_i) = I_{X_1} + m_1^2 A_1 + I_{X_2} + m_2^2 A_2 = \\ &= 47,2 + 2,92^2 \cdot 15,47 + 333,3 + 1,8^2 \cdot 25,2 = 594 \text{ см}^4, \end{aligned}$$

где  $m_1 = -(y_0 - y_1) = -(4,5 - 1,58) = -2,92$  см (ниже оси  $X_0$ );

$m_2 = y_2 - y_0 = 6,3 - 4,5 = 1,8$  см (выше оси  $X_0$ ).

$$\begin{aligned} I_{Y_0} &= \sum (I_{Y_i} + n_i^2 A_i) = I_{Y_1} + n_1^2 A_1 + I_{Y_2} + n_2^2 A_2 = \\ &= 154 + 2,7^2 \cdot 15,47 + 8,4 + 1,7^2 \cdot 25,2 = 348 \text{ см}^4, \end{aligned}$$

где  $n_1 = x_1 - x_0 = 5,4 - 2,7 = 2,7$  см (правее оси  $Y_0$ );

$n_2 = -(x_0 - x_2) = -(2,7 - 1) = -1,7$  см (левее оси  $Y_0$ ).

Определяем центробежный момент инерции:

$$\begin{aligned} I_{X_0 Y_0} &= \sum (I_{X_i Y_i} + m_i n_i A_i) = I_{X_1 Y_1} + m_1 n_1 A_1 + I_{X_2 Y_2} + m_2 n_2 A_2 = \\ &= -48,6 + (-2,92) \cdot 2,7 \cdot 15,47 + 0 + 1,8 \cdot (-1,7) \cdot 25,2 = -248 \text{ см}^4, \end{aligned}$$

где центробежный момент инерции уголка  $I_{X_1 Y_1}$  отрицательный, так как это связано с положением уголка в сечении.

Положение главных центральных осей определяем по формуле

$$\operatorname{tg} 2\alpha_0 = -\frac{2I_{X_0 Y_0}}{I_{X_0} - I_{Y_0}} = -\frac{2 \cdot (-248)}{594 - 348} = 2,02;$$

$$2\alpha_0 = 63^\circ 66', \quad \alpha_0 = 31^\circ 49'.$$

Для определения положения главной оси  $U$  необходимо отложить угол от оси с большим моментом инерции, т. е. оси  $X_0$ , против часовой стрелки, так как  $\alpha_0 > 0$ . Ось  $V$  будет ей перпендикулярна.

Определяем главные центральные моменты инерции:

$$\begin{aligned} I_U &= \frac{1}{2} \left[ (I_{X_0} + I_{Y_0}) + \sqrt{(I_{X_0} - I_{Y_0})^2 + 4I_{X_0Y_0}^2} \right] = \\ &= \frac{1}{2} \left[ (594 + 348) + \sqrt{(594 - 348)^2 + 4 \cdot 248^2} \right] = 748 \text{ см}^4; \end{aligned}$$

$$\begin{aligned} I_V &= \frac{1}{2} \left[ (I_{X_0} + I_{Y_0}) - \sqrt{(I_{X_0} - I_{Y_0})^2 + 4I_{X_0Y_0}^2} \right] = \\ &= \frac{1}{2} \left[ (594 + 348) - \sqrt{(594 - 348)^2 + 4 \cdot 248^2} \right] = 194 \text{ см}^4. \end{aligned}$$

## 4. КРУЧЕНИЕ

### Задача 4.1

Стальной брус круглого поперечного сечения, рис. 4.1, нагружен скручивающими моментами  $T_e$ , кН·м.

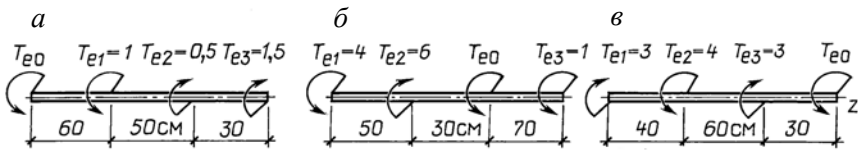


Рис. 4.1

Определить диаметр вала из условий прочности и жесткости, если  $R_s = 120$  МПа,  $G = 80$  ГПа,  $\theta_{adm} = 0,04$  рад/м.

Ответы:

a.  $d = 5,0$  см;

б.  $d = 6,0$  см;

в.  $d = 5,5$  см.

### Вариант а)

### Решение

Определим неизвестный скручивающий момент  $T_{e0}$ , составив уравнение равновесия:

$$\sum T_z = -T_{e0} - T_{e1} + T_{e2} + T_{e3} = 0;$$

$$T_{e0} = -T_{e1} + T_{e2} + T_{e3} = -1 + 0,5 + 1,5 = 1 \text{ кН}\cdot\text{м}.$$

Используя метод сечений, на характерных участках определим внутренние усилия (крутящие моменты) и построим эпюру (рис. 4.2).

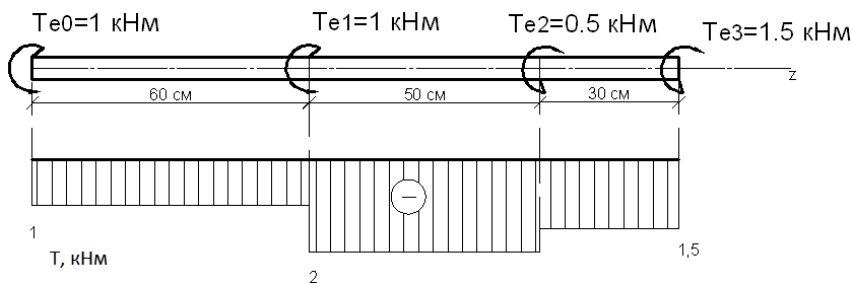


Рис. 4.2

Для наибольшего значения крутящего момента (2 кН·м) определим диаметр из условия прочности:

$$\tau_{\max} = \frac{T_{\max}}{W_p} = \frac{16T_{\max}}{\pi d^3} \leq R_s,$$

отсюда

$$d = \sqrt[3]{\frac{16 \cdot 2 \cdot 10^3}{3,14 \cdot 120 \cdot 10^6}} = 0,440 \cdot 10^{-1} \text{ м} = 4,4 \text{ см.}$$

Определим диаметр из условия жесткости:

$$\theta_{\max} = \frac{T_{\max}}{J_p G} = \frac{32T_{\max}}{\pi d^4 G} \leq \theta_{\text{adm}},$$

отсюда

$$d' = \sqrt[4]{\frac{32 \cdot 2 \cdot 10^3}{80 \cdot 10^9 \cdot 3,14 \cdot 0,04}} = 0,502 \cdot 10^{-1} \text{ м} = 5,02 \text{ см.}$$

Принимаем большее значение  $d = 5 \text{ см}$ .

### Задача 4.2

Проверить прочность и жесткость стального бруса круглого поперечного сечения, рис. 4.3, заземленного одним концом.

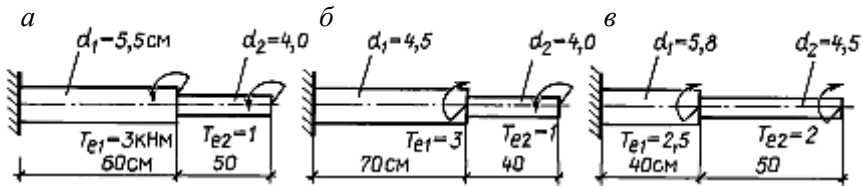


Рис. 4.3

Для материала стержня  $R_s = 120$  МПа,  $G = 80$  ГПа,  $\theta_{adm} = 0,07$  рад.

Ответы:

- а.  $\tau_{max} = 123$  МПа  $> 120$  МПа (2,5 % допустимо),  
 $\theta_{max} = 0,0557$  рад/м  $< \theta_{adm}$ .
- б.  $\tau_{max} = 112$  МПа  $< 120$  МПа,  $\theta_{max} = 0,0621$  рад/м  $< \theta_{adm}$ .
- в.  $\tau_{max} = 118$  МПа  $< 120$  МПа,  $\theta_{max} = 0,0621$  рад/м  $< \theta_{adm}$ .

### Вариант а)

### Решение

Построим эпюру внутренних усилий. Брус, рис. 4.4, имеет два расчетных участка. Крутящие моменты на участках (сечения рассматриваются справа)

$$T_2 = 1 \text{ кН}\cdot\text{м}; T_1 = 1 + 3 = 4 \text{ кН}\cdot\text{м}.$$

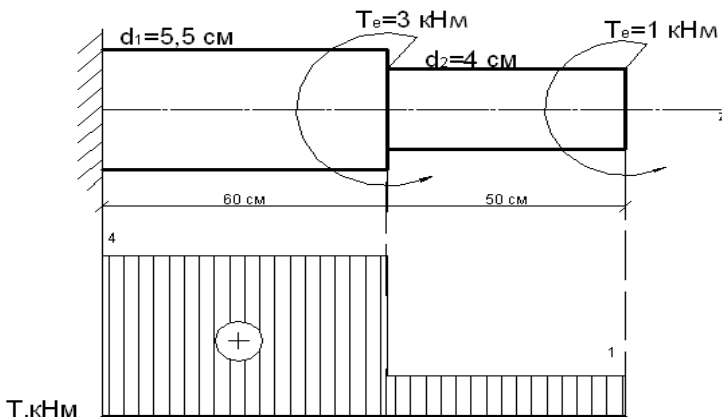


Рис. 4.4

Определим напряжения на участках:

$$\tau_1 = \frac{T_1}{W_p} = \frac{16T_1}{\pi d_1^3} = \frac{16 \cdot 4 \cdot 10^3}{3,14 \cdot 5,5^3 \cdot 10^{-6}} = 122,5 \text{ МПа};$$

$$\tau_2 = \frac{T_2}{W_p} = \frac{16T_2}{\pi d_2^3} = \frac{16 \cdot 1 \cdot 10^3}{3,14 \cdot 4^3 \cdot 10^{-6}} = 79,6 \text{ МПа}.$$

Определим относительные деформации на участках:

$$\theta_1 = \frac{T_1}{GI_{p1}} = \frac{32T_1}{G\pi d_1^4} = \frac{32 \cdot 4 \cdot 10^3}{80 \cdot 10^9 \cdot 3,14 \cdot 5,5^4 \cdot 10^{-8}} = 0,0557 \text{ рад/м};$$

$$\theta_2 = \frac{T_2}{GI_{p2}} = \frac{32T_2}{G\pi d_2^4} = \frac{32 \cdot 1 \cdot 10^3}{80 \cdot 10^9 \cdot 3,14 \cdot 4^4 \cdot 10^{-8}} = 0,0498 \text{ рад/м}.$$

Прочность и жесткость бруса обеспечены, так как  $\tau_{\max} = 122,5 \text{ МПа} > R_s = 120 \text{ МПа}$  (больше на 2,1 %, что допустимо);

$$\theta_{\max} = 0,0557 \text{ рад/м} < \theta_{\text{adm}} = 0,07 \text{ рад/м}.$$

### Задача 4.3

Для стержня, рис. 4.5, определить наибольшее допустимое значение скручивающих моментов и угол поворота сечения  $K$ .

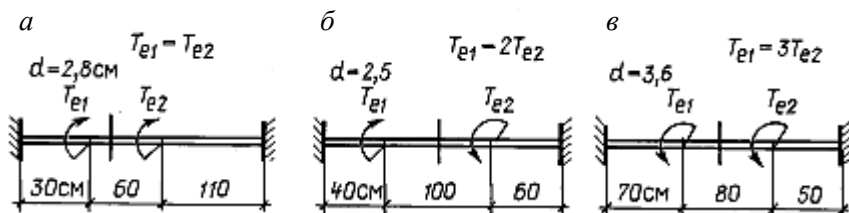


Рис. 4.5

Для материала стержня  $R_s = 120 \text{ МПа}$ ,  $G = 80 \text{ ГПа}$ .

Ответы:

- а.  $T_{e1} = T_{e2} = 369,3 \text{ Н}\cdot\text{м}$ ,  $\varphi = 2,54 \text{ град}$ .  
 б.  $T_{e1} = 306,7 \text{ Н}\cdot\text{м}$ ,  $T_{e2} = 613,4 \text{ Н}\cdot\text{м}$ ,  $\varphi = 8,03 \text{ град}$ .  
 в.  $T_{e1} = 1500 \text{ Н}\cdot\text{м}$ ,  $T_{e2} = 500 \text{ Н}\cdot\text{м}$ ,  $\varphi = 2,83 \text{ град}$ .

### Вариант а)

$$T_{e1} = T_{e2}, \quad d = 2,8 \text{ см.}$$

### Решение

В соответствии с характером нагрузки, рис. 4.6, в опорах возникает по одной реакции – реактивному моменту  $T$  (предварительно направляем произвольно).

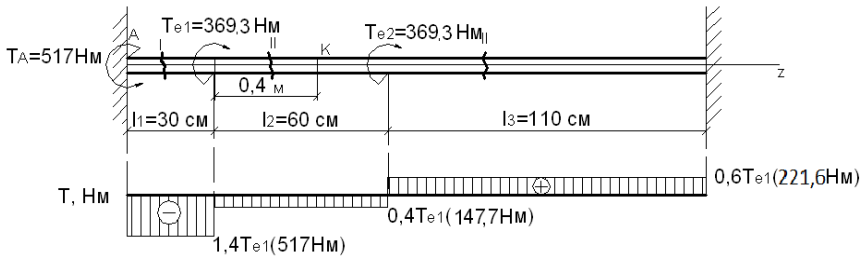


Рис. 4.6

Уравнение равновесия можно составить только одно:

$$\sum M_z = -T_A + T_{e1} + T_{e2} - T_d = 0, \quad (4.1)$$

у которого две неизвестные величины, следовательно, брус один раз статически неопределимый ( $2 - 1 = 1$ ). Для составления недостающего уравнения (дополнительно к уравнению (4.1)) выберем основную (статически определимую) систему, например, отбросим левую опору, составим уравнение угла поворота сечения  $A$  и приравняем его нулю. Используем формулу для определения угла поворота при кручении:

$$\varphi = \frac{Tl}{GI_p}.$$

Сократив на  $GI_p$  получим

$$\varphi_A = -T_A \cdot 2 + T_{e1} \cdot 1,7 + T_{e2} \cdot 1,1 = 0;$$

$$T_A = 1,4T_{e1}.$$

Определением момента  $T_A$  статическая неопределимость раскрыта. Определим значение крутящих моментов на участках бруса и построим эпюу:

$$T_1 = -T_A = -1,4T_{e1};$$

$$T_2 = -1,4T_{e1} + T_{e1} = -0,4T_{e1};$$

$$T_3 = -1,4T_{e1} + T_{e1} + T_{e2} = 0,6T_{e1}.$$

Из эпюры следует, что  $T_{\max} = 1,4T_{e1}$ . Тогда из условия при кручении максимальный допустимый крутящий момент, который может воспринять брус, будет

$$\tau_{\max} = \frac{T_{\max}}{W_p} \leq R_s \longrightarrow T_{\text{adm}} = R_s W_p;$$

$$\max T_{\text{adm}} = \frac{120 \cdot 10^6 \cdot 3,14 \cdot 2,8^3 \cdot 10^{-6}}{16} = 517 \text{ Н} \cdot \text{м},$$

тогда

$$1,4T_{e1} = 517 \rightarrow T_{e1} = 369,3 \text{ Н} \cdot \text{м} \rightarrow T_{e2} = 369,3 \text{ Н} \cdot \text{м}.$$

Угол поворота сечения  $K$  определим, используя формулу

$$\varphi = \frac{Tl}{GI_p};$$

$$\begin{aligned} \varphi_K &= -\varphi(T_A) + \varphi(T_{e1}) = \frac{-T_A \cdot (l_1 + 0,4) + T_{e1} \cdot 0,4}{GI_p} = \\ &= \frac{32 \cdot (-517 \cdot 0,7 + 369,3 \cdot 0,4)}{80 \cdot 10^9 \cdot 3,14 \cdot 2,8^4 \cdot 10^{-8}} = -0,0443 \text{ рад} \cdot \frac{180^\circ}{3,14} = -2,54 \text{ град}. \end{aligned}$$



## 5. ПЛОСКИЙ ИЗГИБ

### Эпюры внутренних сил

#### Задача 5.1

Для консольной балки, рис. 5.1, построить эпюры  $Q$  и  $M$ .

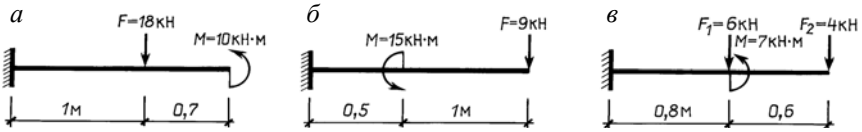


Рис. 5.1

Ответы:

*a.*  $Q_{\max} = 18 \text{ кН}$ ,  $M_{\max} = 10 \text{ кН}\cdot\text{м}$ .

*б.*  $Q_{\max} = 9 \text{ кН}$ ,  $M_{\max} = 9 \text{ кН}\cdot\text{м}$ .

*в.*  $Q_{\max} = 10 \text{ кН}$ ,  $M_{\max} = 4,6 \text{ кН}\cdot\text{м}$ .

#### Вариант *a*)

#### Решение

Имеем частный случай, когда реакции в опоре  $A$  можно не определять. Пойдем со стороны свободного конца и определим поперечную силу и изгибающие моменты в характерных точках, рис. 5.2.

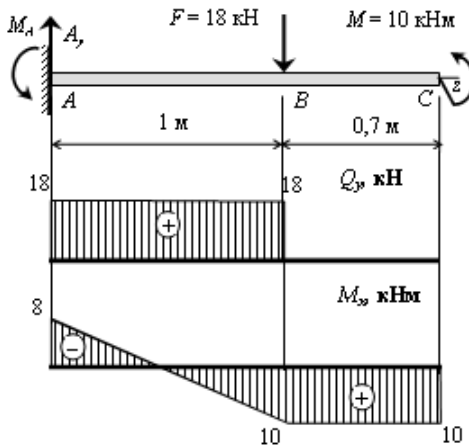


Рис. 5.2

Сечение  $C$ :

$$Q = 0; \quad M = 10 \text{ кН}\cdot\text{м}.$$

Сечение  $B$ :

$$Q^{\text{пр}} = 0; \quad Q^{\text{л}} = 18 \text{ кН}; \quad M = 10 \text{ кН}\cdot\text{м}.$$

Сечение  $A$ :

$$Q = 18 \text{ кН}; \quad M = 10 - 18 \cdot 1 = -8 \text{ кН}\cdot\text{м}.$$

Ответ:  $Q_{\text{max}} = 18 \text{ кН}$ ;  $M_{\text{max}} = 10 \text{ кН}\cdot\text{м}$ .

### Задача 5.2

Для двухопорной балки, рис. 5.3, построить эпюры  $Q$  и  $M$ .

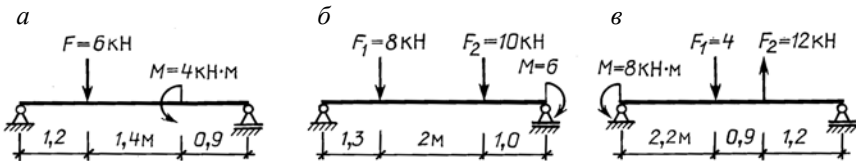


Рис. 5.3

Ответы:

а.  $Q_{\text{max}} = 5,09 \text{ кН}$ ,  $M_{\text{max}} = 6,1 \text{ кН}\cdot\text{м}$ .

б.  $Q_{\text{max}} = 11,5 \text{ кН}$ ,  $M_{\text{max}} = 8,46 \text{ кН}\cdot\text{м}$ .

в.  $Q_{\text{max}} = 8,67 \text{ кН}$ ,  $M_{\text{max}} = 9,54 \text{ кН}\cdot\text{м}$ .

### Вариант а)

### Решение

1. Используя уравнения равновесия, определим реакции в опорах, рис. 5.4:

$$\Sigma M_A = -B_y \cdot 3,5 - 4 + 6 \cdot 1,2 = 0; \quad B_y = 0,91 \text{ кН}.$$

$$\Sigma M_B = A_y \cdot 3,5 - 6 \cdot 2,3 - 4 = 0; \quad A_y = 5,09 \text{ кН}.$$

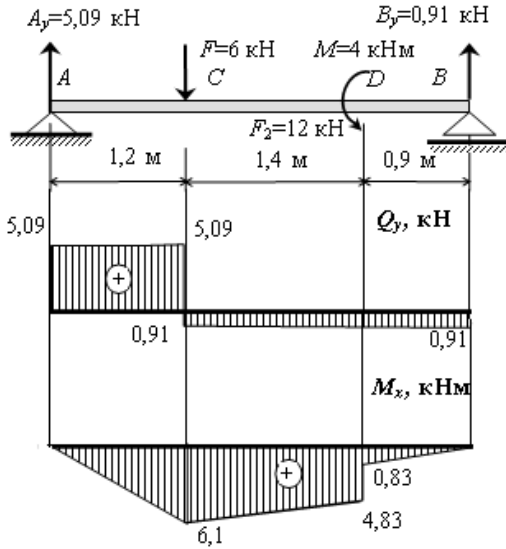


Рис. 5.4

Проверка:

$$\Sigma Y = 5,09 - 6 + 0,91 = 0.$$

2. С помощью метода сечений вычислим поперечную силу и изгибающий момент в характерных сечениях балки.

Сечение A:

$$Q = 5,09 \text{ кН}; \quad M = 0.$$

Сечение C:

$$Q^{\text{л}} = 5,09 \text{ кН}; \quad Q^{\text{пр}} = 5,09 - 6 = -0,91 \text{ кН};$$

$$M = 5,09 \cdot 1,2 = 6,1 \text{ кН}\cdot\text{м}.$$

Сечение D:

$$Q = 5,09 - 6 = -0,91 \text{ кН};$$

$$M^{\text{л}} = -5,09 \cdot 2,6 + 6 \cdot 1,4 = -4,83 \text{ кН}\cdot\text{м};$$

$$M^{\text{пр}} = -5,09 \cdot 2,6 + 6 \cdot 1,4 + 4 = 0,83 \text{ кН}\cdot\text{м}.$$

Ответ:  $Q_{\text{max}} = 5,09 \text{ кН}; M_{\text{max}} = 6,1 \text{ кН}\cdot\text{м}.$

### Задача 5.3

Для двухопорной балки с консолью, рис. 5.5, построить эпюры  $Q$  и  $M$ .

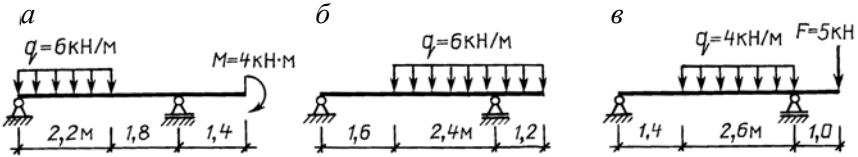


Рис. 5.5

Ответы:

a.  $Q_{\max} = 8,57 \text{ кН}$ ,  $M_{\max} = 6,12 \text{ кН}\cdot\text{м}$ .

б.  $Q_{\max} = 11,16 \text{ кН}$ ,  $M_{\max} = 6,06 \text{ кН}\cdot\text{м}$ .

в.  $Q_{\max} = 6,77 \text{ кН}$ ,  $M_{\max} = 6,0 \text{ кН}\cdot\text{м}$ .

#### Вариант а)

#### Решение

$$A_y = \frac{6 \cdot 2,2(1,1 + 1,8) - 4}{4} = 8,57 \text{ кН};$$

$$B_y = \frac{4 + 6 \cdot 2,2 \cdot \frac{2,2}{2}}{4} = 4,63 \text{ кН, рис. 5.6}$$

$$Q = A_y - qz_0 = 0, \quad z_0 = 1,43 \text{ м.}$$

$$\text{При } z_0 = 1,43 \text{ м} \quad M = 8,57 \cdot 1,43 - 6 \cdot \frac{1,43^2}{2} = 6,12 \text{ кН}\cdot\text{м.}$$

Ответ:  $Q_{\max} = 8,57 \text{ кН}$ ;  $M_{\max} = 6,12 \text{ кН}\cdot\text{м}$ .

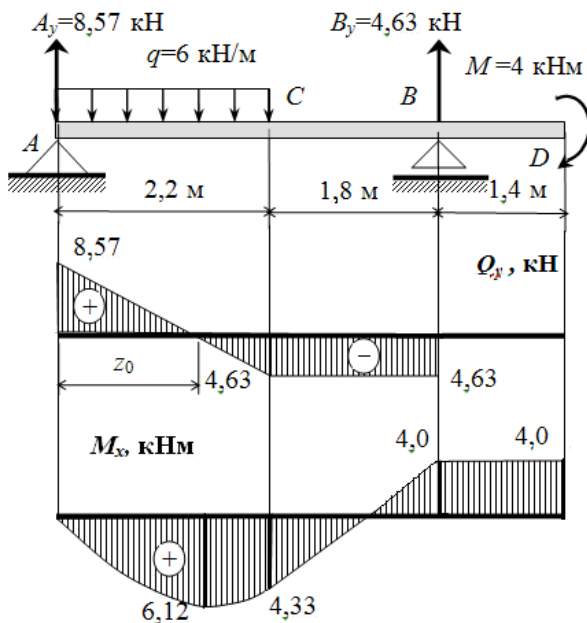


Рис. 5.6

### Задача 5.4

Для двухпролетной балки с промежуточным шарниром, рис. 5.7, построить эпюры  $Q$  и  $M$ .

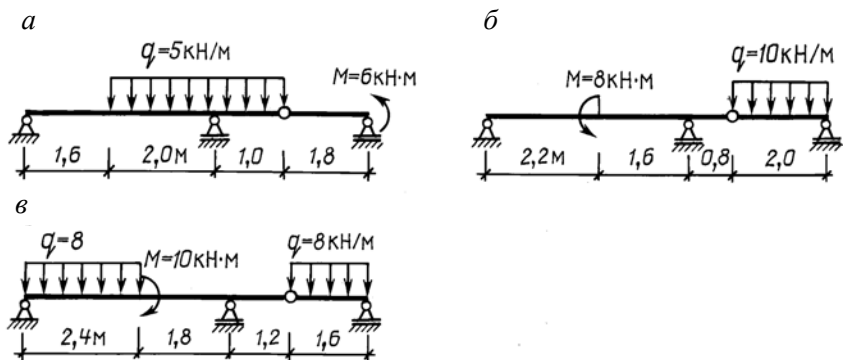


Рис. 5.7

ОТВЕТЫ:

а.  $Q_{\max} = 8,85 \text{ кН}$ ,  $M_{\max} = 6,0 \text{ кН}\cdot\text{м}$ .

б.  $Q_{\max} = 10,0 \text{ кН}$ ,  $M_{\max} = 8,0 \text{ кН}\cdot\text{м}$ .

в.  $Q_{\max} = 9,7 \text{ кН}$ ,  $M_{\max} = 9,8 \text{ кН}\cdot\text{м}$ .

**Вариант а)**

**Решение**

$$\Sigma M_E^{\text{II}} = -6 + C_y \cdot 1,8 = 0; \quad C_y = -3,33 \text{ кН, рис. 5.8.}$$

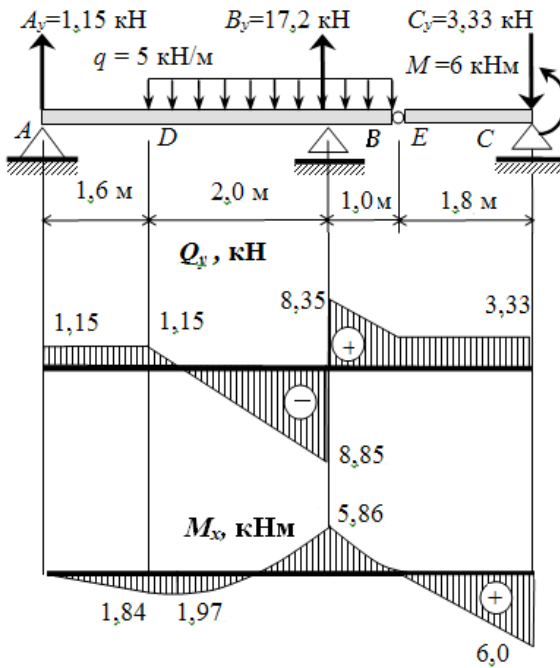


Рис. 5.8

$$\Sigma M_A = -B_y \cdot 3,6 - 6 + 3,33 \cdot 6,4 + 5 \cdot 3 \cdot 3,1 = 0; \quad B_y = 17,2 \text{ кН.}$$

$$\Sigma M_E^{\text{II}} = A_y \cdot 4,6 + 17,2 \cdot 1 - 5 \cdot 3 \cdot 1,5 = 0; \quad A_y = 1,15 \text{ кН.}$$

$$Q_{\max} = 8,85 \text{ кН}; \quad M_{\max} = 6 \text{ кН}\cdot\text{м.}$$

### Задача 5.5

По эпюрам  $Q$  и  $M$  установить вид нагрузки, ее значение и направление, а также вид опор балки, рис. 5.9.

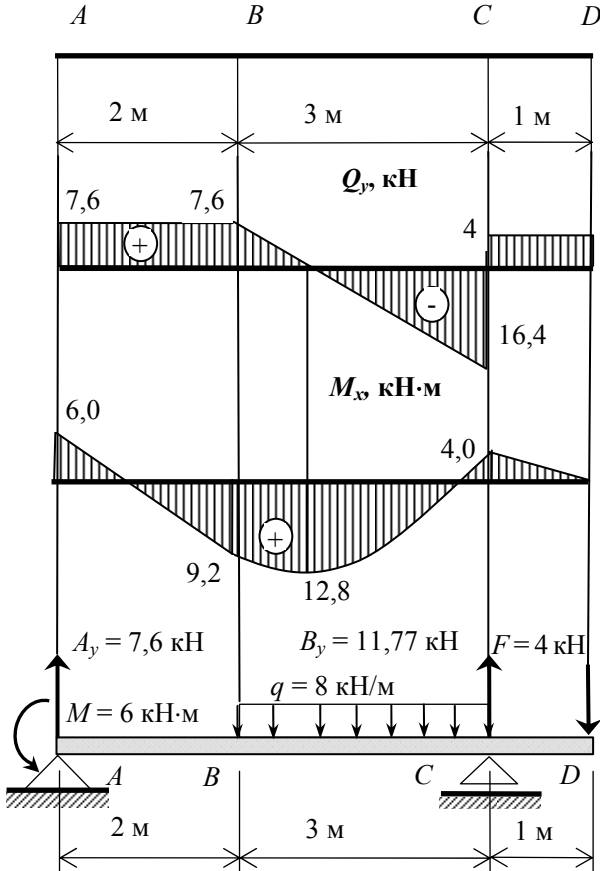


Рис. 5.9

### Решение

В сечениях  $A$ ,  $C$ ,  $D$  приложены сосредоточенные силы; в сечении  $A$  – сосредоточенный момент.

В сечении  $A$ : шарнирно-подвижная или неподвижная опора.

$A_y = 7,6$  кН (вверх);  $M = 6$  кН·м (против часовой стрелки).

В сечении  $C$ : шарнирно-подвижная или неподвижная опора:

$$C_y = 4 + 16,4 = 20,4 \text{ кН (вверх)}.$$

В сечении  $D$

$$F = 4 \text{ кН (вниз)}.$$

Участок  $BC$ : равномерно распределенная нагрузка

$$q = \frac{7,6 + 16,4}{3} = 8 \text{ кН/м (вниз)}.$$

### Задача 5.6

Для заданной схемы нагружения, рис. 5.10, построить эпюры  $Q_y$  и  $M_x$ ; подобрать круглое, прямоугольное и двутавровое сечение; вычислить коэффициент экономичности данных сечений; выполнить проверку прочности по нормальным и касательным напряжениям.

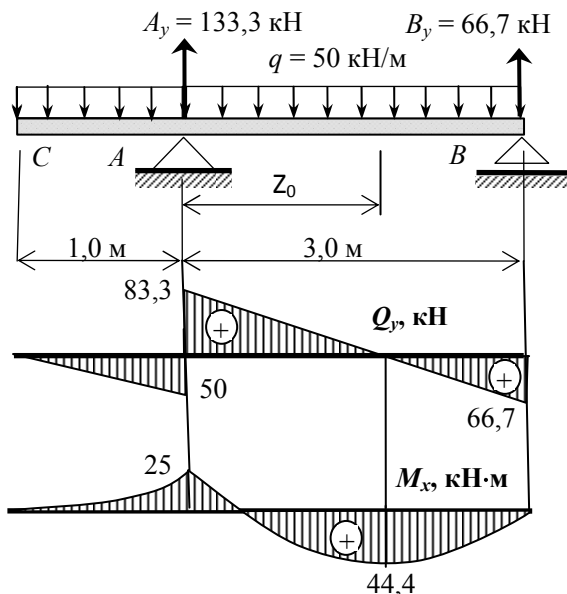


Рис. 5.10

Для материала балки  $R = 12 \text{ МПа}$ ,  $R_s = 130 \text{ МПа}$ .

Соотношение сторон для прямоугольного сечения принять  $h/b = 1,4$ .



## Решение

1. Определим опорные реакции:

$$\Sigma M_A = -B_y \cdot 3 + 50 \cdot (3+1) \cdot \left(\frac{3+1}{2} - 1\right) = 0, \quad B_y = 66,7 \text{ кН};$$

$$\Sigma M_B = A_y \cdot 3 - 50 \cdot 4 \cdot \frac{4}{2} = 0, \quad A_y = 133,3 \text{ кН}.$$

Проверка:

$$\Sigma Y = 133,3 - 50 \cdot 4 + 66,7 = 0.$$

2. Вычислим значения  $Q$  и  $M$  в характерных сечениях балки и построим их эпюры.

Сечение  $C$ :

$$Q = 0, \quad M = 0.$$

Сечение  $A$ :

$$Q^I = -50 \cdot 1 = 50 \text{ кН};$$

$$Q^II = -50 \cdot 1 + 133,3 = 83,3 \text{ кН};$$

$$M = -50 \cdot 1 \cdot 0,5 = 25 \text{ кН}\cdot\text{м}.$$

Сечение  $B$ :

$$Q^I = -50 \cdot 4 + 133,3 = -66,7 \text{ кН};$$

$$M = 0.$$

Абсцисса  $z_0$ , где  $Q = 0$ , будет

$$z_0 = 1 + \frac{Q_A^II}{q} = 1 + \frac{83,3}{50} = 2,67 \text{ м}.$$

При  $z = 2,67$  м

$$M_{\max} = -50 \cdot \frac{2,67^2}{2} + 133,3(2,67 - 1) = 44,4 \text{ кН}\cdot\text{м}.$$

3. Из условия прочности определим требуемый момент сопротивления и подберем сечение:

$$W_x^{\text{тр}} \geq \frac{M_{\text{max}}}{R} = \frac{44,4 \cdot 10^3}{210 \cdot 10^6} = 0,211 \cdot 10^{-3} = 211 \text{ см}^3.$$

Для круглого поперечного сечения

$$W_x = \frac{\pi d^3}{32} = 211 \text{ см}^3,$$

откуда

$$d = \sqrt[3]{\frac{211 \cdot 32}{3,14}} = 12,9 \text{ см.}$$

Принимаем  $d = 13 \text{ см}$ .

Для прямоугольного поперечного сечения

$$W_x = \frac{bh^2}{6} = \frac{b(1,4b)^2}{6} = 211 \text{ см}^3,$$

откуда  $b = 8,64 \text{ см}$ ,  $h = 12,1 \text{ см}$ .

Принимаем  $h = 12 \text{ см}$ ,  $b = 9 \text{ см}$ .

Для прокатного двутавра из сортамента принимаем № 22,

$$W_x = 232 \text{ см}^3.$$

4. Вычислим коэффициент экономичности для принятых размеров сечений балок по выражению

$$\omega = \frac{W_x}{\sqrt{A^3}}.$$

Для круглого поперечного сечения

$$W_x = \frac{3,14 \cdot 13^3}{32} = 216 \text{ см}^3, \quad A = \frac{3,14 \cdot 13^2}{4} = 132,7 \text{ см}^2, \quad \omega = 0,141.$$

Для прямоугольного поперечного сечения

$$W_x = \frac{9 \cdot 12^2}{6} = 216 \text{ см}^3, \quad A = 12 \cdot 9 = 108 \text{ см}^2, \quad \omega = 0,192.$$

Для двутавра  $W_x = 232 \text{ см}^3$ ,  $A = 30,6 \text{ см}^2$ ,  $\omega = 1,37$ .

Из рассмотренных форм сечений балки наиболее экономичным является двутавр.

5. Вычислим максимальные значения нормальных и касательных напряжений для принятых размеров сечений балки.

Нормальные напряжения (максимальны в точках наиболее удаленных от нейтральной оси):

а) для круглого поперечного сечения

$$\sigma_{\max} = \frac{M_{\max}}{W_x} = \frac{44,4 \cdot 10^3}{216 \cdot 10^{-6}} = 0,206 \cdot 10^9 \text{ ГПа} = 206 \text{ МПа} < R = 210 \text{ МПа};$$

б) для прямоугольного поперечного сечения

$$\sigma_{\max} = \frac{M_{\max}}{W_x} = \frac{44,4 \cdot 10^3}{216 \cdot 10^{-6}} = 0,206 \cdot 10^9 \text{ ГПа} = 206 \text{ МПа} < R = 210 \text{ МПа};$$

в) для двутавра

$$\sigma_{\max} = \frac{M_{\max}}{W_x} = \frac{44,4 \cdot 10^3}{232 \cdot 10^{-6}} = 0,191 \cdot 10^9 \text{ ГПа} = 191 \text{ МПа} < R = 210 \text{ МПа}.$$

Касательные напряжения (максимальны на уровне нейтральной оси):

а) для круглого поперечного сечения

$$\tau_{\max} = 1,33 \frac{Q_{\max}}{A} = 1,33 \frac{83,3 \cdot 10^3}{132,7} = 0,83 \cdot 10^7 \text{ Па} = 8,3 \text{ МПа} < R_s = 130 \text{ МПа};$$

б) для прямоугольного поперечного сечения

$$\tau_{\max} = 1,5 \frac{Q_{\max}}{A} = 1,5 \frac{83,3 \cdot 10^3}{108 \cdot 10^{-4}} = 1,16 \cdot 10^7 \text{ Па} = 11,6 \text{ МПа} < R_s = 130 \text{ МПа};$$

в) для двутавра № 22,  $I_x = 2550 \text{ см}^4$ ;  $S_x = 131 \text{ см}^3$ ;  $d = 5,4 \text{ мм}$  (толщина стенки)

$$\tau_{\max} = \frac{83,3 \cdot 10^3 \cdot 131 \cdot 10^{-6}}{5,4 \cdot 10^{-3} \cdot 2550 \cdot 10^{-8}} = 0,792 \cdot 10^8 \text{ Па} = 79,2 \text{ МПа} < R_s.$$

Проанализировав значения  $\tau_{\max}$  для рассмотренных форм сечений, видим: если размеры сечений определены из условия прочности по нормальным напряжениям, то максимальные касательные напряжения далеко не достигают предельно допустимых значений.

### Задача 5.7

Определить значения нормальных и касательных напряжений в точке  $K$  указанного сечения балки, рис. 5.11. Проверить прочность балки по этим напряжениям и построить их эпюры.

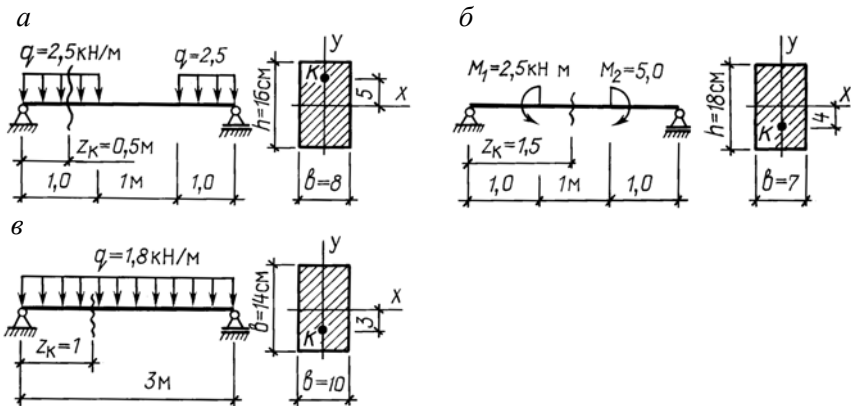


Рис. 5.11

Для материала балки  $R = 12 \text{ МПа}$ ,  $R_s = 3 \text{ МПа}$ .

Ответы:

а.  $\sigma_K = 1,72 \text{ МПа}$ ,  $\tau_K = 0,09 \text{ МПа}$ ,  $\sigma_{\max} = 3,66 \text{ МПа}$ ,  $\tau_{\max} = 0,29 \text{ МПа}$ .

б.  $\sigma_K = 4,41 \text{ МПа}$ ,  $\tau_K = 0,03 \text{ МПа}$ ,  $\sigma_{\max} = 11,02 \text{ МПа}$ ,  $\tau_{\max} = 0,099 \text{ МПа}$ .

в.  $\sigma_K = 2,36 \text{ МПа}$ ,  $\tau_K = 0,079 \text{ МПа}$ ,  $\sigma_{\max} = 6,18 \text{ МПа}$ ,  $\tau_{\max} = 0,29 \text{ МПа}$ .

## Вариант а)

### Решение

1. Определим реакции опор, рис. 5.12:

$$A_y = B_y = q \cdot l = 2,5 \cdot 1 = 2,5 \text{ кН.}$$

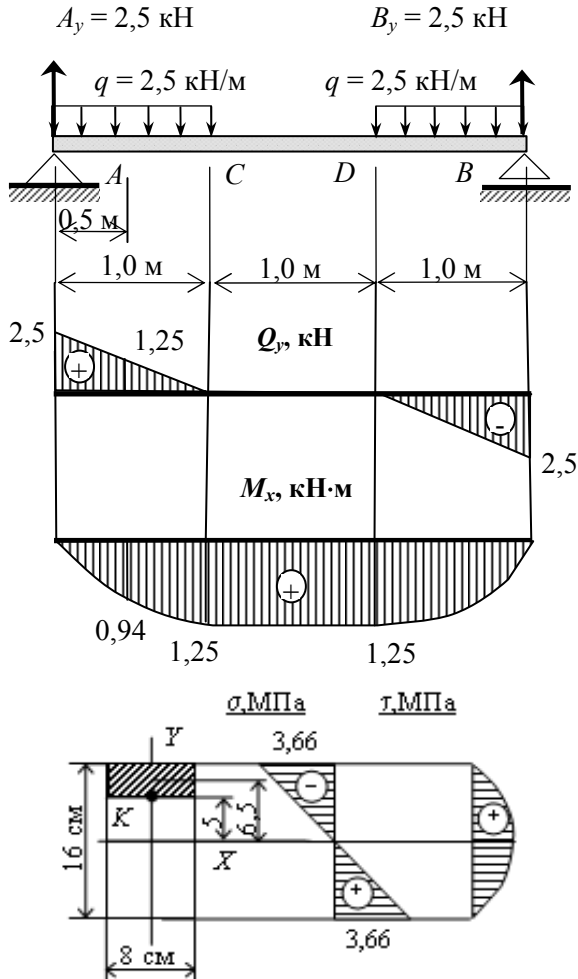


Рис. 5.12

2. Определим  $Q$ ,  $M$  и построим эпюры. При  $z = 0,5$  м

$$Q = 2,5 - 2,5 \cdot 0,5 = 1,25 \text{ кН};$$

$$M = 2,5 \cdot 0,5 - 2,5 \frac{0,5^2}{2} = 0,94 \text{ кН}\cdot\text{м}.$$

3. Вычислим геометрические характеристики сечения:

$$I_x = \frac{8 \cdot 16^3}{12} = 2731 \text{ см}^4;$$

$$S_K^{\text{отс}} = 8 \cdot 3 \cdot 6,5 = 156 \text{ см}^3;$$

$$S_x^{\text{отс}} = 8 \cdot 8 \cdot 4 = 256 \text{ см}^3.$$

4. Определим значения нормальных и касательных напряжений в точке  $K$ :

$$\sigma_K = \frac{0,94 \cdot 10^3}{2731 \cdot 10^{-8}} \cdot 5 \cdot 10^{-2} = 1,72 \text{ МПа};$$

$$\tau_K = \frac{1,25 \cdot 10^3 \cdot 156 \cdot 10^{-6}}{2731 \cdot 10^{-8} \cdot 8 \cdot 10^{-2}} = 0,09 \text{ МПа}.$$

5. Проверим балку на прочность и построим эпюры напряжений:

$$Q_{\max} = 2,5 \text{ кН}; \quad M_{\max} = 2,5 \cdot 1 - 2,5 \cdot \frac{1^2}{2} = 1,25 \text{ кН}\cdot\text{м}.$$

$$\sigma_{\max} = \frac{1,25 \cdot 10^3}{2731 \cdot 10^{-8}} \cdot 8 \cdot 10^{-2} = 3,66 \text{ МПа} < R;$$

$$\tau_{\max} = \frac{2,5 \cdot 10^3 \cdot 256 \cdot 10^{-6}}{2731 \cdot 10^{-8} \cdot 8 \cdot 10^{-2}} = 0,29 \text{ МПа} < R_s.$$

### Задача 5.8

Подобрать номер прокатного профиля для двухопорной балки с консолью, рис. 5.13, если  $R = 210$  МПа,  $R_s = 130$  МПа.

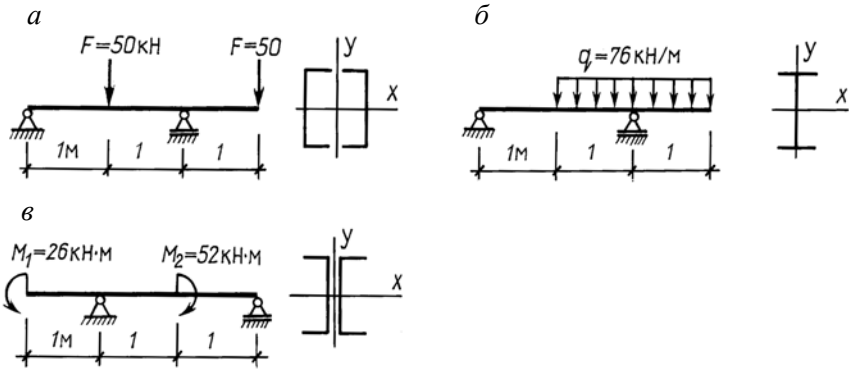


Рис. 5.13

Построить эпюры  $\sigma$  и  $\tau$ .

Ответы:

а. Швеллер № 18,  $\sigma_{\max} = 207$  МПа,  $\tau_{\max} = 31,4$  МПа.

б. Двутавр № 20,  $\sigma_{\max} = 207$  МПа,  $\tau_{\max} = 82,6$  МПа.

в. Швеллер № 16,  $\sigma_{\max} = 209$  МПа,  $\tau_{\max} = 9,41$  МПа.

### Вариант а)

### Решение

$$Q_{\max} = 50 \text{ кН}; \quad M_{\max} = 50 \text{ кН}\cdot\text{м}, \text{ рис. 5.14.}$$

$$W_x^1 = \frac{50 \cdot 10^3}{2 \cdot 210 \cdot 10^6} = 119 \text{ см}^3.$$

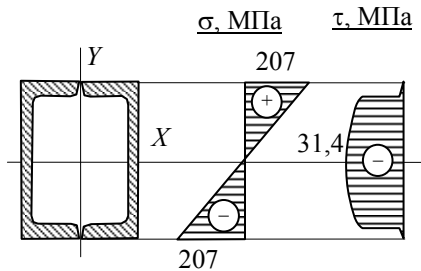
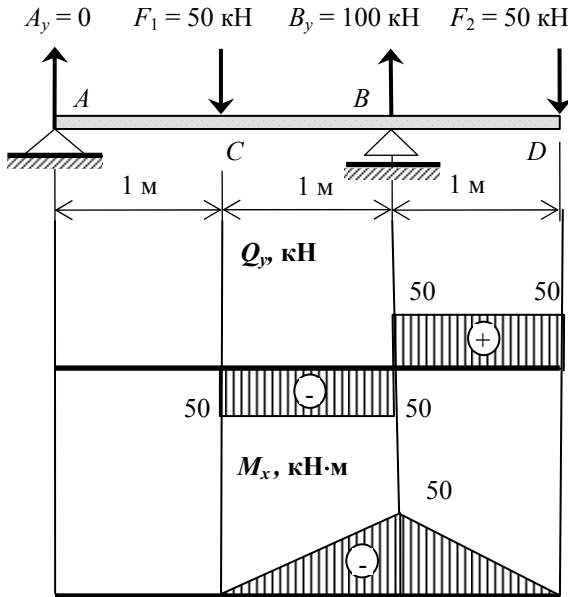


Рис. 5.14

Принимаем швеллер № 18:  $W_x = 121 \text{ см}^3$ ;  $I_x = 1090 \text{ см}^4$ ;  $S_x = 69,8 \text{ см}^3$ ;  
 $d = 5,1 \text{ мм}$ .

$$\sigma_{\max} = \frac{50 \cdot 10^3}{2 \cdot 121 \cdot 10^{-6}} = 207 \text{ МПа};$$

$$\tau_{\max} = \frac{-50 \cdot 10^3 \cdot 2 \cdot 69,8 \cdot 10^{-6}}{2 \cdot 1090 \cdot 10^{-8} \cdot 2 \cdot 5,1 \cdot 10^{-3}} = -31,4 \text{ МПа}.$$



### Задача 5.9

Определить наибольшую допустимую нагрузку на чугунную балку, рис. 5.15, расположив ее сечение рационально по отношению к этой нагрузке, если расчетное сопротивление на растяжение  $R_t = 50$  МПа, на сжатие  $R_c = 140$  МПа.

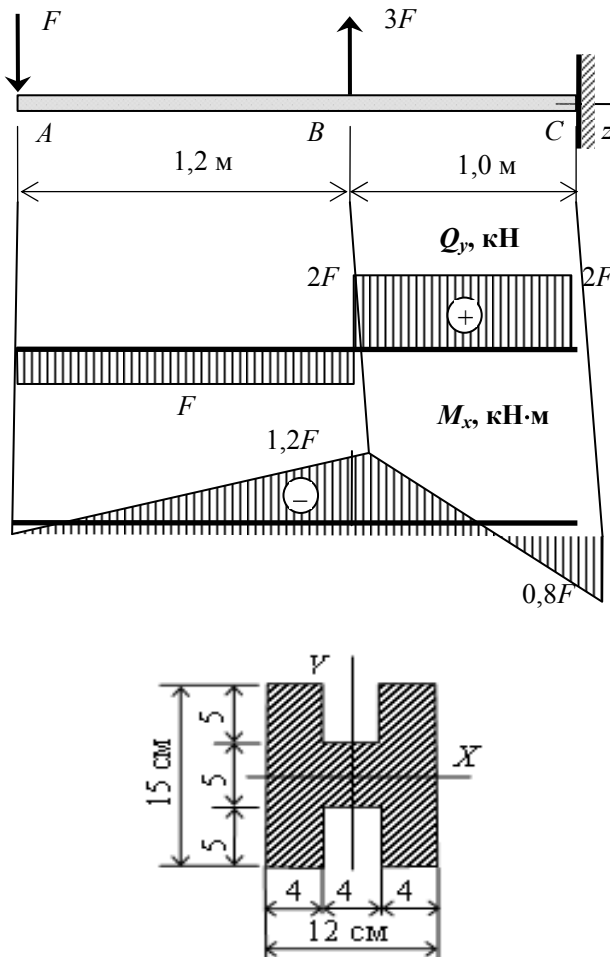


Рис. 5.15

## Решение

$$I_x = \frac{4 \cdot 15^3}{12} \cdot 2 + \frac{4 \cdot 5^3}{12} = 2292 \text{ см}^4; \quad I_y = \frac{15 \cdot 12^3}{12} - \frac{5 \cdot 4^3}{12} \cdot 2 = 2107 \text{ см}^4;$$

$$W_x = \frac{2292}{7,5} = 306 \text{ см}^3; \quad W_y = \frac{2107}{6} = 351 \text{ см}^3.$$

Так как  $W_y > W_x$ , то сечение следует повернуть на  $90^\circ$ .

$$M_y = W_y R_t = 351 \cdot 10^{-6} \cdot 50 \cdot 10^6 = 17,6 \text{ кН}\cdot\text{м};$$

$$1,2F = M_y;$$

$$F = 17,6 / 1,2 = 14,7 \text{ кН}.$$

### Задача 5.10

Подобрать номер прокатного профиля и произвести полную проверку прочности балки, рис. 5.16, если  $R = 210 \text{ МПа}$ ,  $R_s = 130 \text{ МПа}$ .

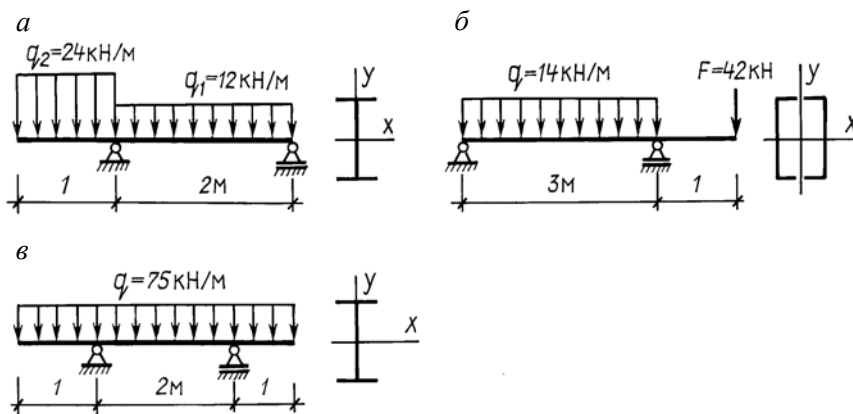


Рис. 5.16

Ответы:

а. Двутавр № 12,  $\tau_{\max} = 48,1 \text{ МПа}$ ,  $\sigma_{\text{des}} = 192,4 \text{ МПа}$ .

б. Швеллер № 16а,  $\tau_{\max} = 30,3 \text{ МПа}$ ,  $\sigma_{\text{des}} = 185,6 \text{ МПа}$ .

в. Двутавр № 20,  $\tau_{\max} = 81,5 \text{ МПа}$ ,  $\sigma_{\text{des}} = 217 \text{ МПа}$  (перенапряжения 3,3 %).

**Вариант а)**

**Решение**

$Q_{\max} = 24 \text{ кН}; \quad M_{\max} = 12 \text{ кН}\cdot\text{м}, \text{ рис. 5.17.}$

$$W_x = \frac{M_{\max}}{R} = \frac{12 \cdot 10^3}{210 \cdot 10^6} = 57 \text{ см}^3.$$

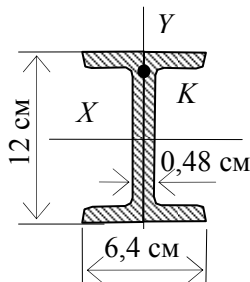
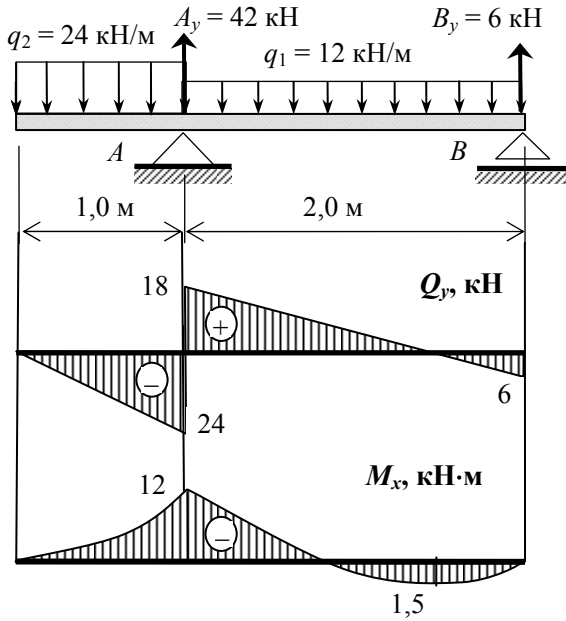


Рис. 5.17

Принимаем двугавр № 12:  $W_x = 58,4 \text{ см}^3$ ;  $I_x = 350 \text{ см}^4$ ;  $S_x = 33,7 \text{ см}^3$ ;  $d = 4,8 \text{ мм}$ ;  $b = 64 \text{ мм}$ ;  $t = 7,3 \text{ мм}$ .

$$\sigma_{\max} = \frac{12 \cdot 10^3}{58,4 \cdot 10^{-6}} = 205 \text{ МПа} < R;$$

$$\tau_{\max} = \frac{24 \cdot 10^3 \cdot 33,7 \cdot 10^{-6}}{4,8 \cdot 10^{-3} \cdot 350 \cdot 10^{-8}} = 48,1 \text{ МПа} < R_s.$$

Опасное сечение  $A$ , опасная точка  $K$ :

$$\sigma_K = \frac{12 \cdot 10^3}{350 \cdot 10^{-8}} \cdot 5,27 \cdot 10^{-2} = 181 \text{ МПа};$$

$$\tau_K = \frac{24 \cdot 10^3 \cdot \left(6,4 \cdot 0,73 \cdot \left(6 - \frac{0,73}{2}\right)\right) \cdot 10^{-6}}{4,8 \cdot 10^{-3} \cdot 350 \cdot 10^{-8}} = 37,6 \text{ МПа};$$

$$\sigma_{\text{des}} = \sqrt{181^2 + 3 \cdot 37,6^2} = 192,4 \text{ МПа} < R.$$

### Задача 5.11

Определить главные напряжения в указанных точках балки, рис. 5.18, и установить вид напряженного состояния. Сечение балки – двугавр № 24.

### Решение

Двугавр № 24:  $W_x = 289 \text{ см}^3$ ;  $I_x = 3460 \text{ см}^4$ ;  $S_x = 163 \text{ см}^3$ ;  $d = 5,6 \text{ мм}$ ;  $b = 115 \text{ мм}$ ;  $t = 9,5 \text{ мм}$ .

$$S_1 = S_x = 163 \text{ см}^3;$$

$$S_2 = 0;$$

$$S_3 = 11,5 \cdot 0,95(12 - 0,95/2) + 0,56 \cdot 5,05(6 + 5,05/2) = 150,6 \text{ см}^3.$$

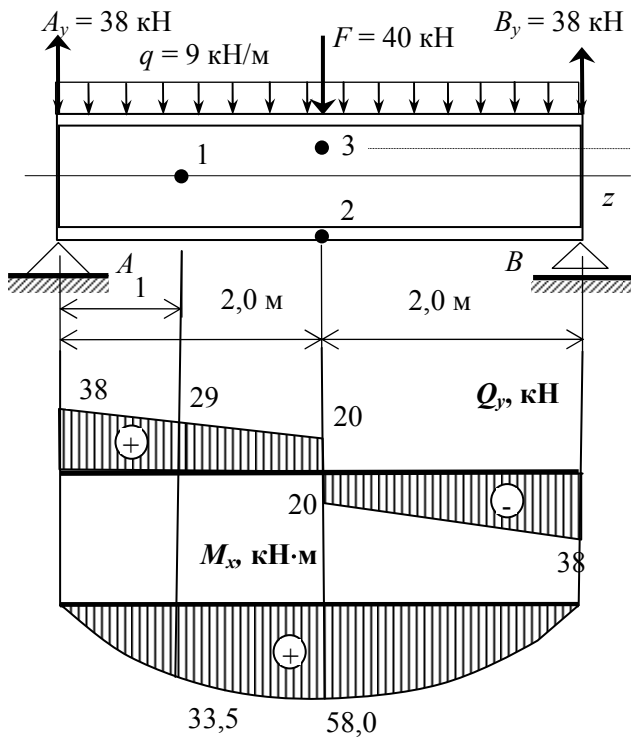


Рис. 5.18

Точка 1:

$$\sigma = 0, \quad \tau = \frac{29 \cdot 10^3 \cdot 163 \cdot 10^{-6}}{5,6 \cdot 10^{-3} \cdot 3460 \cdot 10^{-8}} = 24,4 \text{ МПа};$$

$$\sigma_{\frac{\max}{\min}} = \pm \frac{1}{2} \sqrt{4 \cdot 24,4^2} = \pm 24,4 \text{ МПа};$$

$$\sigma_{\max} = \tau = 24,4 \text{ МПа};$$

$$\sigma_{\min} = -24,4 \text{ МПа};$$

$\sigma_1 = 24,4 \text{ МПа}; \sigma_2 = 0; \sigma_3 = -24,4 \text{ МПа}$  – плоское напряженное состояние.

Точка 2:

$$\sigma = \frac{58 \cdot 10^3}{289 \cdot 10^{-6}} = 201 \text{ МПа}, \quad \tau = 0;$$

$$\sigma_{\max} = 201 \text{ МПа}; \quad \sigma_{\min} = 0;$$

$\sigma_1 = 201 \text{ МПа}; \sigma_2 = \sigma_3 = 0$ ; – линейное напряженное состояние.

Точка 3:

$$\sigma = \frac{58 \cdot 10^3}{3460 \cdot 10^{-8}} \cdot 6 \cdot 10^{-2} = 101 \text{ МПа};$$

$$\tau = \frac{20 \cdot 10^3 \cdot 150,6 \cdot 10^{-6}}{5,6 \cdot 10^{-3} \cdot 3460 \cdot 10^{-8}} = 15,5 \text{ МПа};$$

$$\sigma_{\frac{\max}{\min}} = \frac{101}{2} \pm \frac{1}{2} \sqrt{101^2 + 4 \cdot 15,5^2} = 50,5 \pm 52,8;$$

$$\sigma_{\max} = 103,3 \text{ МПа};$$

$$\sigma_{\min} = -2,3 \text{ МПа};$$

$\sigma_1 = 103,3 \text{ МПа}; \sigma_2 = 0; \sigma_3 = -2,3 \text{ МПа};$  – плоское напряженное состояние.

### Задача 5.12

Определить наибольшую допустимую длину балки  $l$ , выполненную из швеллера № 30, уложенного плашмя, если  $R = 210$  МПа, рис. 5.19.

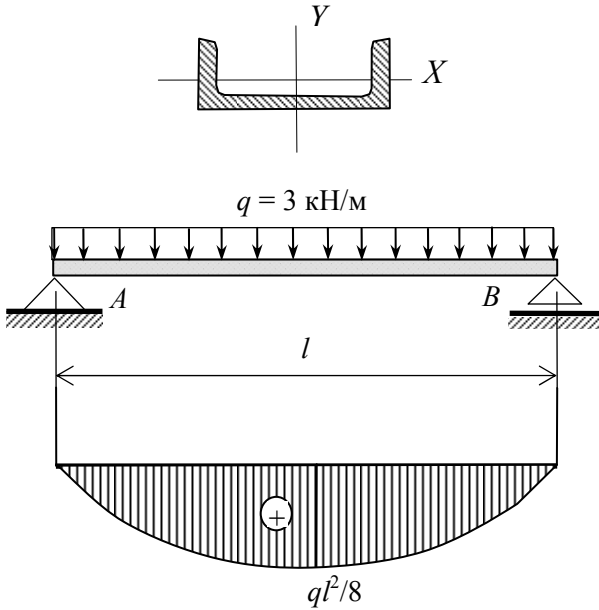


Рис. 5.19

### Решение

Швеллер № 30:  $W_x = 43,6 \text{ см}^3$ .

$$M_{\text{adm}} = W_x R = 43,6 \cdot 10^{-6} \cdot 210 \cdot 10^6 = 9,16 \text{ кН}\cdot\text{м}.$$

$$M_{\text{max}} = \frac{ql^2}{8} = 9,16 \text{ кН}\cdot\text{м}.$$

Отсюда определим длину балки  $l = 4,94$  м.

### Задача 5.13

Деревянная балка, рис. 5.21, составлена из двух сосновых брусков, соединенных поперечными дубовыми шпонками. Определить количество шпонок.

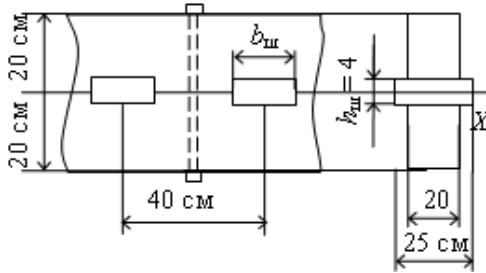


Рис. 5.20

Для дуба расчетное сопротивление на скалывание вдоль волокон  $R_{S90} = 1$  МПа. Соединительные болты в расчет не принимать.

### Решение

$Q_{\max} = 30$  кН, рис. 5.21.

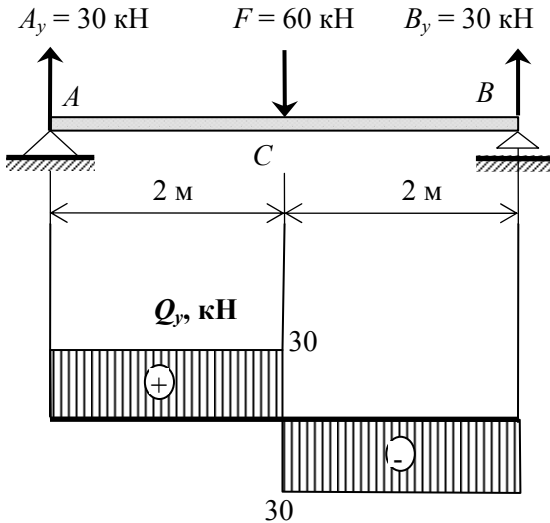


Рис. 5.21



Касательные напряжения на уровне шпонок

$$\tau_x = \frac{QS_x}{I_x b} = \frac{30 \cdot 10^3 \cdot (20 \cdot 10^{-2} \cdot 20 \cdot 10^{-2} \cdot 10 \cdot 10^{-2})}{20 \cdot 10^{-2} \cdot \left(\frac{20 \cdot 40^3}{12}\right) \cdot 10^{-8}} = 0,56 \text{ МПа.}$$

Сдвигающая сила, действующая на шпонки:

$$T = \tau_x l b = 0,56 \cdot 10^6 \cdot 0,4 \cdot 0,2 = 44,8 \text{ кН.}$$

Одна шпонка может воспринимать

$$T' = R_{s90} b h_{ш} = 1 \cdot 10^6 \cdot 0,04 \cdot 0,2 = 8 \text{ кН.}$$

Число шпонок

$$n = \frac{44,8}{8} = 5,6.$$

Принимаем  $n = 6$ .

### Задача 5.14

Для консольной балки, рис. 5.22, определить угол поворота сечения  $C$  и прогибы сечений  $B$  и  $C$  (в долях от жесткости  $EJ_x$ ).

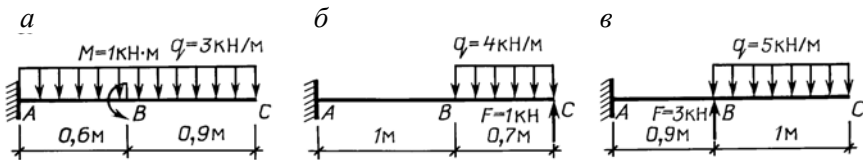


Рис. 5.22

Ответы:

$$a. \vartheta_B = -\frac{0,282}{EJ_x}; \vartheta_C = -\frac{1,18}{EJ_x}; \theta_C = -\frac{1,088}{EJ_x}.$$

$$б. \vartheta_B = -\frac{0,740}{EJ_x}; \vartheta_C = -\frac{1,57}{EJ_x}; \theta_C = -\frac{1,164}{EJ_x}.$$

$$в. \vartheta_B = -\frac{1,499}{EJ_x}; \vartheta_C = -\frac{5,184}{EJ_x}; \theta_C = -\frac{3,893}{EJ_x}.$$

## Вариант а)

### Решение

Начало координатных осей помещаем в крайнем левом сечении балки (в защемлении), рис. 5.23, исходя из этого начальные параметры (прогиб и угол поворота) равны нулю:

$$V_0 = 0; \quad \theta_0 = 0.$$

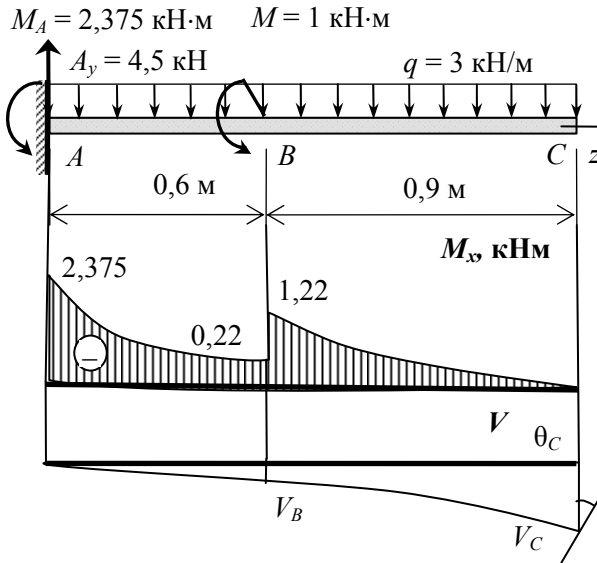


Рис. 5.23

Используя уравнения статики, определим реакции в опоре  $A$ :

$$A_y = 4,5 \text{ кН}; \quad M_A = 2,375 \text{ кН}\cdot\text{м}.$$

Тогда угол поворота сечения  $C$

$$EI\theta_C = A_y \frac{(z_C - 0)^2}{2} - q \frac{(z_C - 0)^3}{6} - M_A(z_C - 0) - M(z_C - 0,6)$$

или

$$EI\theta_C = \frac{4,5 \cdot 1,5^2}{2} - \frac{3 \cdot 1,5^3}{6} - 2,375 \cdot 1,5 - 1 \cdot 0,9 = -1,088 \text{ кН}\cdot\text{м}^2.$$

Прогиб в сечении  $C$

$$\begin{aligned}
 EIV_C &= A_y \frac{(z_C - 0)^3}{6} - q \frac{(z_C - 0)^4}{24} - M_A \frac{(z_C - 0)^2}{2} - M \frac{(z_C - 0,6)^2}{2} = \\
 &= \frac{4,5 \cdot 1,5^3}{6} - \frac{3 \cdot 1,5^4}{24} - \frac{2,375 \cdot 1,5^2}{2} - \frac{1 \cdot 0,9^2}{2} = -1,18 \text{ кН} \cdot \text{м}^3.
 \end{aligned}$$

Прогиб в сечении  $B$

$$\begin{aligned}
 EIV_B &= A_y \frac{(z_B - 0)^3}{6} - q \frac{(z_B - 0)^4}{24} - M_A \frac{(z_B - 0)^2}{2} = \\
 &= \frac{4,5 \cdot 0,6^3}{6} - \frac{3 \cdot 0,6^4}{24} - 2,375 \cdot \frac{0,6^2}{2} = -0,282 \text{ кН} \cdot \text{м}^3.
 \end{aligned}$$

### Задача 5.15

Для двухопорной деревянной балки, рис. 5.24, построить эпюру прогибов и определить наибольший относительный прогиб, если  $E = 10$  ГПа.

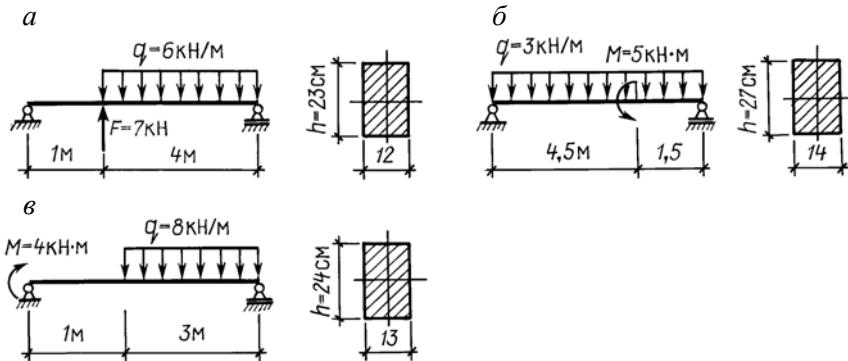


Рис. 5.24

Ответы:  $a$ .  $z = 1 \text{ м}$ ,  $V = -1,49 \text{ см}$ ;

$z = 2,5 \text{ м}$ ,  $V = -2,79 \text{ см}$ .

$$\frac{V_{\max}}{l} = \frac{2,79}{500} = \frac{1}{179}.$$

$$б. z = 3 \text{ м}, V = -2,57 \text{ см};$$

$$z = 4,5 \text{ м}, V = -1,81 \text{ см}.$$

$$\frac{V_{\max}}{l} = \frac{2,57}{600} = \frac{1}{233}.$$

$$в. z = 1 \text{ м}, V = -1,29 \text{ см};$$

$$z = 2 \text{ м}, V = -1,77 \text{ см}.$$

$$\frac{V_{\max}}{l} = \frac{1,77}{400} = \frac{1}{226}.$$

### Вариант а)

### Решение

$$I_x = \frac{12 \cdot 23^3}{12} = 12167 \text{ см}^4,$$

$$EI_x V = EI_x \theta_0 z + \frac{4z^3}{6} \Big|_1 + \frac{7(z-1)^3}{6} - \frac{6(z-1)^4}{24} \Big|_2 =$$

$$= EI_x \theta_0 z + 0,667z^3 + 1,167(z-1)^3 - 0,25(z-1)^4, \text{ рис. 5.25.}$$

$$\text{При } z = 5 \text{ м} \quad EI_x V_B = 0, \quad EI_x \theta_0 = -18,81 \text{ кН} \cdot \text{м}^2;$$

$$z = 1 \text{ м} \quad EI_x V = -18,14 \text{ кН} \cdot \text{м}^3, \quad V = -1,49 \text{ см};$$

$$z = 2,5 \text{ м} \quad EI_x V = -33,94 \text{ кН} \cdot \text{м}^3, \quad V = -2,79 \text{ см}.$$

$$\frac{V_{\max}}{l} = \frac{2,79}{500} = \frac{1}{179}.$$

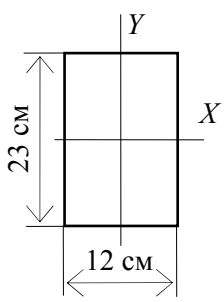
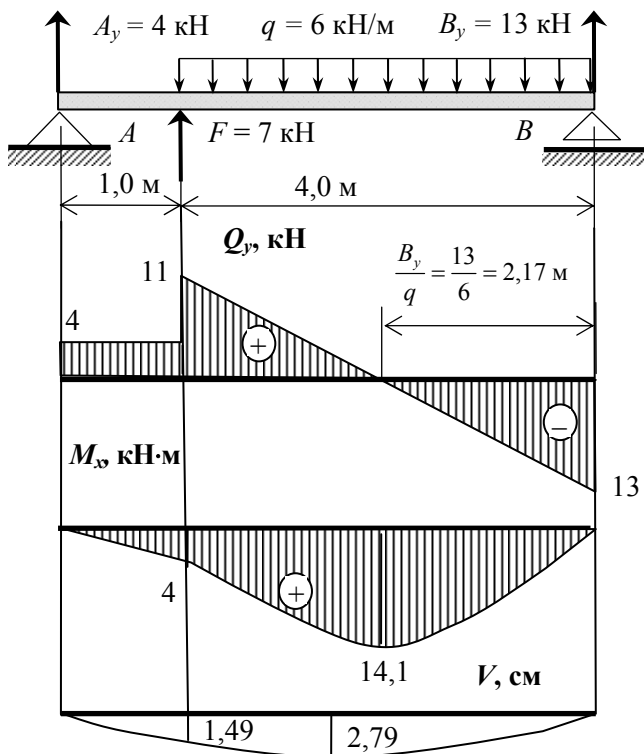


Рис. 5.25

### Задача 5.16

Для двухопорной балки с консолью, рис. 5.26, подобрать номер прокатного профиля, построить эпюру прогибов, проверить жесткость, если  $E = 200$  ГПа,  $R = 210$  МПа,  $\left(\frac{V}{I}\right)_{\text{adm}} = \frac{1}{160}$ .

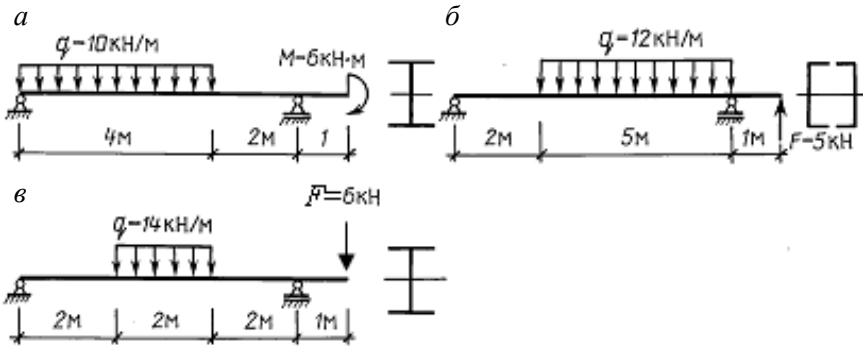


Рис. 5.26

Ответы:

а. Двутавр № 20; при  $z = 3$  м  $\vartheta = -3,09$  см; при  $z = 7$  м  $\vartheta = 1,28$  см;  $\frac{\vartheta_{\text{max}}}{l} = \frac{1}{194}$  – жесткость обеспечена.

б. Швеллер № 22; при  $z = 3,5$  м  $\vartheta = -3,8$  см; при  $z = 8$  м  $\vartheta = 1,87$  см;  $\frac{\vartheta_{\text{max}}}{l} = \frac{1}{184}$  – жесткость обеспечена.

в. Двутавр № 20; при  $z = 3$  м  $\vartheta = -2,89$  см; при  $z = 7$  м  $\vartheta = 1,27$  см;  $\frac{\vartheta_{\text{max}}}{l} = \frac{1}{242}$  – жесткость обеспечена.

## Вариант а)

### Решение

$$W_x = \frac{M_{\max}}{R} = \frac{33 \cdot 10^3}{210 \cdot 10^6} = 157 \text{ см}^3.$$

Принимаем двутавр № 20, рис. 5.27:

$$W_x = 184 \text{ см}^3; \quad I_x = 1840 \text{ см}^4;$$

$$S_x = 33,7 \text{ см}^3; \quad d = 4,8 \text{ мм};$$

$$b = 64 \text{ мм}; \quad t = 7,3 \text{ мм}.$$

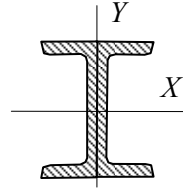


Рис. 5.27

$$\sigma_{\max} = \frac{M_{\max}}{W_x} = \frac{33 \cdot 10^3}{184 \cdot 10^{-6}} = 179 \text{ МПа}.$$

$$EI_x V = EI_x \theta_0 z + \frac{25,7z^3}{6} - \frac{10z^4}{24} \Big|_1 + \frac{10(z-4)^4}{24} \Big|_2 + \frac{14,3(z-6)^3}{6} \Big|_3 =$$

$$= EI_x \theta_0 z + 4,283z^3 - 0,417z^4 \Big|_1 + 0,417(z-4)^4 \Big|_2 + 2,383(z-6)^3 \Big|_3.$$

При  $z = 6 \text{ м}$   $EI_x V_B = 0$ ,  $EI\theta_0 = -65,23 \text{ кН} \cdot \text{м}^2$ ;

$$z = 3 \text{ м} \quad EI_x V = -113,8 \text{ кН} \cdot \text{м}^3,$$

$$V = -\frac{113,8 \cdot 10^3}{200 \cdot 10^9 \cdot 1840 \cdot 10^{-8}} = -3,09 \text{ см};$$

$z = 7 \text{ м}$   $EI_x V = 47,4 \text{ кН} \cdot \text{м}^3$ ,  $V = 1,28 \text{ см}$ , рис. 5.28.

$$\frac{V_{\max}}{l} = \frac{3,09}{600} = \frac{1}{194} < \left( \frac{V}{l} \right)_{\text{adm}} = \frac{1}{160}.$$

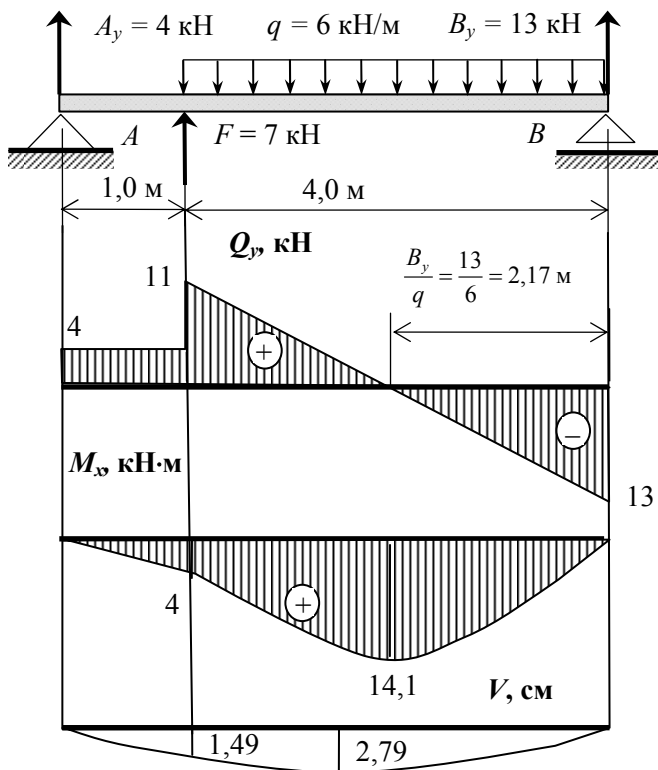


Рис. 5.28

### Задача 5.17

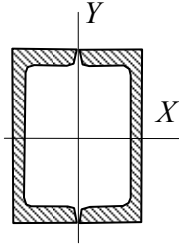
Для двухконсольной стальной балки из условия жесткости подобрать номер прокатного профиля при заданном относительном прогибе. Построить эпюру прогибов.



## Вариант а)

### Решение

$$\left(\frac{V}{l}\right)_{\text{adm}} = \frac{1}{300}.$$



$$V_0 \neq 0; \quad \theta_0 \neq 0.$$

$$\begin{aligned} EI_x V &= EI_x V_0 + EI_x \theta_0 z - \frac{4z^2}{2} \Big|_1 + \frac{6(z-1)^3}{6} \Big|_2 - \frac{12(z-3)^3}{6} \Big|_3 + \frac{6(z-5)^3}{6} \Big|_4 = \\ &= EI_x V_0 + EI_x \theta_0 z - 2z^2 \Big|_1 + 1(z-1)^3 \Big|_2 - 2(z-3)^3 \Big|_3 + 1(z-5)^3 \Big|_4. \end{aligned}$$

$$\text{При } z = 1 \text{ м } EI_x V_A = EI_x V_0 + EI \theta_0 \cdot 1 - 2 \cdot 1 = 0;$$

$$z = 5 \text{ м } EI_x V_B = EI_x V_0 + EI \theta_0 \cdot 5 - 2 \cdot 5^2 + 1(5-1)^3 - 2(5-3)^3 = 0.$$

Решив систему уравнений, получим  $EI_x V_0 = 2 \text{ кН} \cdot \text{м}^3$ ,  $EI \theta_0 = 0$ .

$$\text{При } z = 3 \text{ м } EI_x V_{C(\text{max})} = 2 - 2 \cdot 3^2 + 1(3-1)^3 = -8 \text{ кН} \cdot \text{м}^3.$$

$$V_{\text{max}} = V_{\text{adm}}, \quad V_{\text{adm}} = \frac{l}{300} = \frac{400}{300} = 1,333 \text{ см}.$$

$$I_x = \frac{8}{EV_{\text{max}}} = \frac{8 \cdot 10^3}{200 \cdot 10^9 \cdot 1,333 \cdot 10^{-2}} = 300 \text{ см}^4;$$

$$I_x^1 = \frac{300}{2} = 150 \text{ см}^4.$$

Принимаем два швеллера № 10, рис. 5.29:  $W_x^1 = 34,8 \text{ см}^3$ ;  $I_x^1 = 174 \text{ см}^4$ .

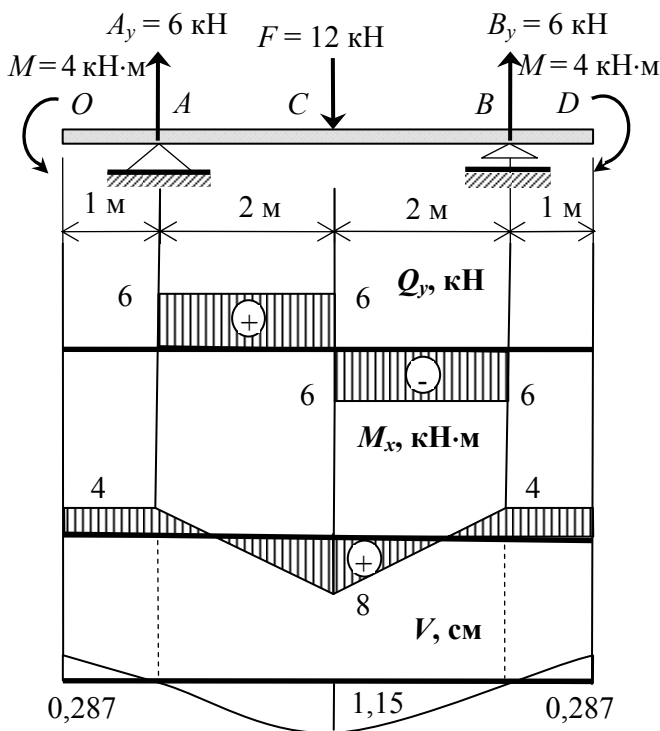


Рис. 5.29

$$\text{При } z = 0 \quad V = V_0 = \frac{2 \cdot 10^3}{200 \cdot 10^9 \cdot 2 \cdot 174 \cdot 10^{-8}} = 0,287 \text{ см};$$

$$z = 3 \text{ м} \quad V = V_{\max} = -1,15 \text{ см};$$

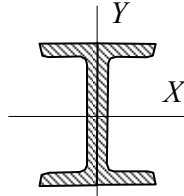
$$z = 6 \text{ м} \quad V = V_D = 0,287 \text{ см}.$$

$$\sigma_{\max} = \frac{M_{\max}}{2W_x^1} = \frac{8 \cdot 10^3}{2 \cdot 34,8 \cdot 10^{-6}} = 115 \text{ МПа}.$$

## Вариант б)

### Решение

$$\left(\frac{V}{l}\right)_{\text{adm}} = \frac{1}{250}.$$



$$V_0 \neq 0; \quad \theta_0 \neq 0.$$

$$\begin{aligned} EI_x V &= EI_x V_0 + EI_x \theta_0 z \Big|_1 + \frac{5(z-1)^3}{6} \Big|_2 - \frac{10(z-4)^3}{6} \Big|_3 + \frac{5(z-6)^3}{6} \Big|_4 = \\ &= EI_x V_0 + EI_x \theta_0 z \Big|_1 + 0,833(z-1)^3 \Big|_2 - 1,667(z-4)^3 \Big|_3 + 0,833(z-6)^3 \Big|_4. \end{aligned}$$

$$\text{При } z = 1 \text{ м } EI_x V_A = EI_x V_0 + EI \theta_0 \cdot 1 = 0;$$

$$z = 6 \text{ м } EI_x V_B = EI_x V_0 + EI \theta_0 \cdot 6 + 0,833(6-1)^3 - 1,667(6-4)^3 = 0.$$

Решив систему уравнений, получим

$$EI_x V_0 = 18,15 \text{ кН} \cdot \text{м}^3;$$

$$EI \theta_0 = -18,15 \text{ кН} \cdot \text{м}^2.$$

При  $z = 3,5 \text{ м}$

$$EI_x V_{\text{max}} = 18,15 - 18,15 \cdot 3,5 + 0,833(3,5-1)^3 = -32,4 \text{ кН} \cdot \text{м}^3.$$

$$V_{\text{max}} = V_{\text{adm}}, \quad V_{\text{adm}} = \frac{l}{250} = \frac{500}{250} = 2 \text{ см}.$$

$$I_x = \frac{32,4}{E \cdot V_{\text{max}}} = \frac{32,4 \cdot 10^3}{200 \cdot 10^9 \cdot 2 \cdot 10^{-2}} = 810 \text{ см}^4.$$

Принимаем двутавр № 16, у которого  $W_x = 109 \text{ см}^3$ ;  $I_x = 873 \text{ см}^4$ ,  
рис. 5.30.

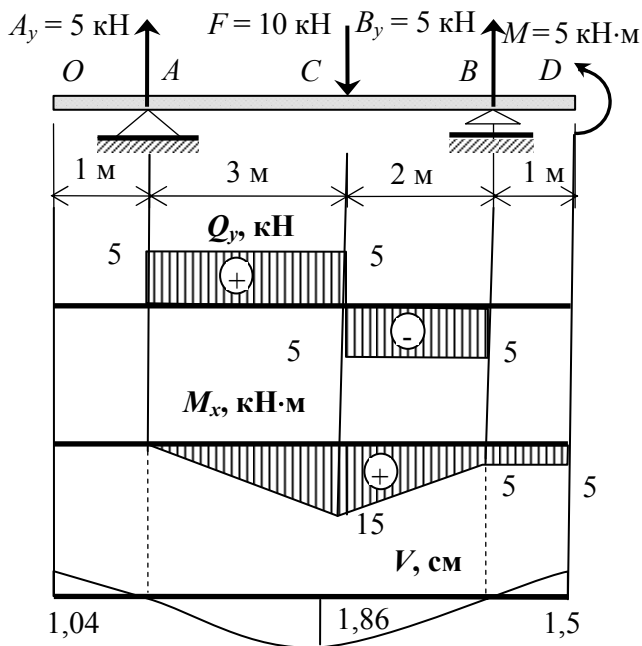


Рис. 5.30

$$\text{При } z = 0 \quad V = V_0 = \frac{18,15 \cdot 10^3}{200 \cdot 10^9 \cdot 873 \cdot 10^{-8}} = 1,04 \text{ см};$$

$$z = 3,5 \text{ м} \quad V = V_{\max} = -1,86 \text{ см};$$

$$z = 7 \text{ м} \quad V = V_D = 1,54 \text{ см}.$$

$$\sigma_{\max} = \frac{M_{\max}}{W_x} = \frac{15 \cdot 10^3}{109 \cdot 10^{-6}} = 138 \text{ МПа}.$$

### Задача 5.18

Определить угол поворота и прогиб конца консольной балки (в долях от жесткости сечения  $EI_x$ ), рис. 5.31.

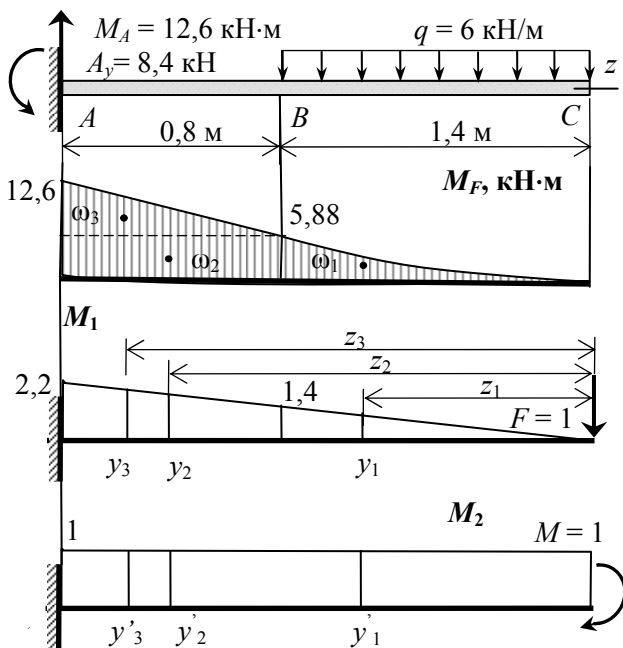


Рис. 5.31

**Вариант а)**

**Решение**

$$EI_x V_C = \sum \omega_i y_i; \quad EI_x \theta_C = \sum \omega_i y_i'$$

$$\omega_1 = \frac{1}{3} \cdot 5,88 \cdot 1,4 = 2,744 \text{ кН}\cdot\text{м}^2;$$

$$\omega_2 = 5,88 \cdot 0,8 = 4,704 \text{ кН}\cdot\text{м}^2;$$

$$\omega_3 = \frac{1}{2} \cdot (12,6 - 5,88) \cdot 0,8 = 2,688 \text{ кН}\cdot\text{м}^2.$$

$$z_1 = \frac{3}{4} \cdot 1,4 = 1,05; \quad y_1 = 1,05 \text{ м};$$

$$z_2 = 1,4 + \frac{0,8}{2} = 1,8; \quad y_2 = 1,8 \text{ м};$$

$$z_3 = 1,4 + 2 \cdot \frac{0,8}{3} = 1,93; \quad y_3 = 1,93 \text{ м};$$

$$y_1' = y_2' = y_3' = 1 \text{ м}.$$

$$EI_x V_C = 2,744 \cdot 1,05 + 4,704 \cdot 1,8 + 2,688 \cdot 1,93 = 16,54 \text{ кН} \cdot \text{м}^3;$$

$$EI_x \theta_C = 2,744 \cdot 1 + 4,704 \cdot 1 + 2,688 \cdot 1 = 10,14 \text{ кН} \cdot \text{м}^2.$$

### Вариант б)

### Решение

$$EI_x V_C = \sum \omega_i y_i; \quad EI_x \theta_C = \sum \omega_i y_i'$$

$$\omega_1 = \frac{1}{3} \cdot 6 \cdot 1 = 2 \text{ кН} \cdot \text{м}^2;$$

$$\omega_2 = 2 \cdot 1,2 = 2,4 \text{ кН} \cdot \text{м}^2;$$

$$\omega_3 = \frac{1}{2} \cdot 14,4 \cdot 1,2 = 8,64 \text{ кН} \cdot \text{м}^2, \text{ рис. 5.32.}$$

$$z_1 = \frac{3}{4} \cdot 1 = 0,75; \quad y_1 = 0,75 \text{ м};$$

$$z_2 = 1 + \frac{1,2}{2} = 1,6; \quad y_2 = 1,6 \text{ м};$$

$$z_3 = 1 + 2 \cdot \frac{1,2}{3} = 1,8; \quad y_3 = 1,8 \text{ м};$$

$$y_1' = y_2' = y_3' = 1 \text{ м}.$$

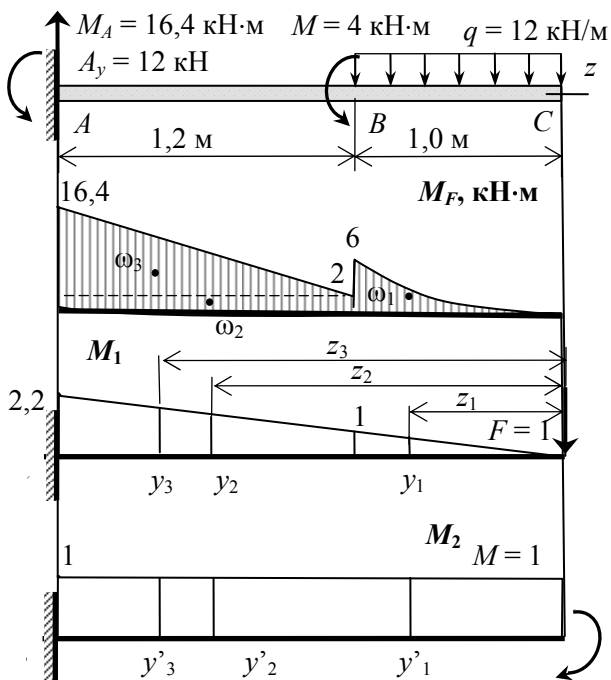


Рис. 5.32

$$EI_x V_C = 2 \cdot 0,75 + 2,4 \cdot 1,6 + 8,64 \cdot 1,8 = 20,89 \text{ кН} \cdot \text{м}^3;$$

$$EI_x \theta_C = 2 \cdot 1 + 2,4 \cdot 1 + 8,64 \cdot 1 = 13,04 \text{ кН} \cdot \text{м}^2.$$

### Задача 5.19

Для двухпорной балки, рис. 5.33, определить прогиб в сечении  $C$  (в долях от жесткости сечения  $EI_x$ ) и изобразить эпюру прогибов.

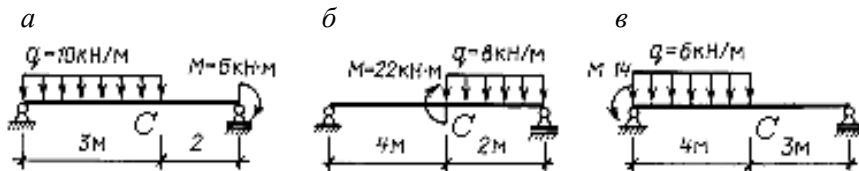


Рис. 5.33

Ответы:

а.  $EJ_X \vartheta_C = 39,9 \text{ кН}\cdot\text{м}^3$  (вниз).

б.  $EJ_X \vartheta_C = 12,45 \text{ кН}\cdot\text{м}^3$  (вниз).

в.  $EJ_X \vartheta_C = 69,9 \text{ кН}\cdot\text{м}^3$  (вниз).

### Вариант а)

### Р е ш е н и е

$$EI_X V_C = \sum \omega_i y_i.$$

$$\omega_1 = \frac{2}{3} \cdot 11,25 \cdot 3 = 22,5 \text{ кН}\cdot\text{м}^2;$$

$$\omega_2 = \frac{1}{2} \cdot 14,4 \cdot 3 = 21,6 \text{ кН}\cdot\text{м}^2;$$

$$\omega_3 = \frac{1}{2} \cdot 14,4 \cdot 2 = 14,4 \text{ кН}\cdot\text{м}^2;$$

$$\omega_4 = \frac{1}{2} \cdot 6 \cdot 2 = 6 \text{ кН}\cdot\text{м}^2, \text{ рис. 5.34.}$$

$$z_1 = \frac{1}{2} \cdot 3 = 1,5; \quad y_1 = 0,4 \cdot 1,5 = 0,6 \text{ м};$$

$$z_2 = \frac{2}{3} \cdot 3 = 2; \quad y_2 = 0,4 \cdot 2 = 0,8 \text{ м};$$

$$z_3 = \frac{2}{3} \cdot 2 = 1,33; \quad y_3 = 0,6 \cdot 1,33 = 0,8 \text{ м};$$

$$z_4 = \frac{1}{3} \cdot 2 = 0,67; \quad y_4 = 0,6 \cdot 0,67 = 0,4 \text{ м}.$$

$$EI_X V_C = 22,5 \cdot 0,6 + 21,6 \cdot 0,8 + 14,4 \cdot 0,8 - 6 \cdot 0,4 = 39,9 \text{ кН}\cdot\text{м}^3.$$



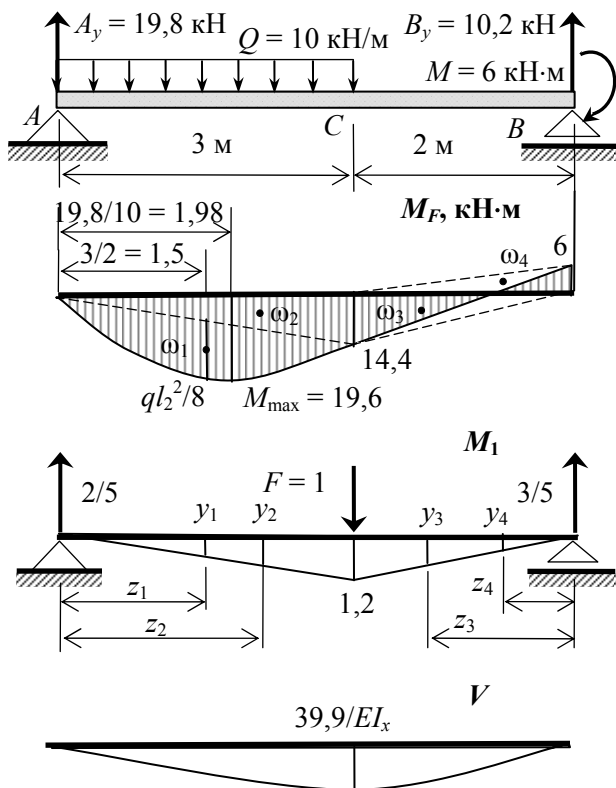


Рис. 5.34

**Вариант б)**

**Решение**

$$EI_x V_C = \sum \omega_i y_i.$$

$$\omega_1 = \frac{1}{2} \cdot 4 \cdot 4 = 8 \text{ кН}\cdot\text{м}^2; \quad \omega_2 = \frac{1}{2} \cdot 18 \cdot 2 = 18 \text{ кН}\cdot\text{м}^2;$$

$$\omega_3 = \frac{2}{3} \cdot 4 \cdot 2 = 5,33 \text{ кН}\cdot\text{м}^2, \text{ рис. 5.35.}$$

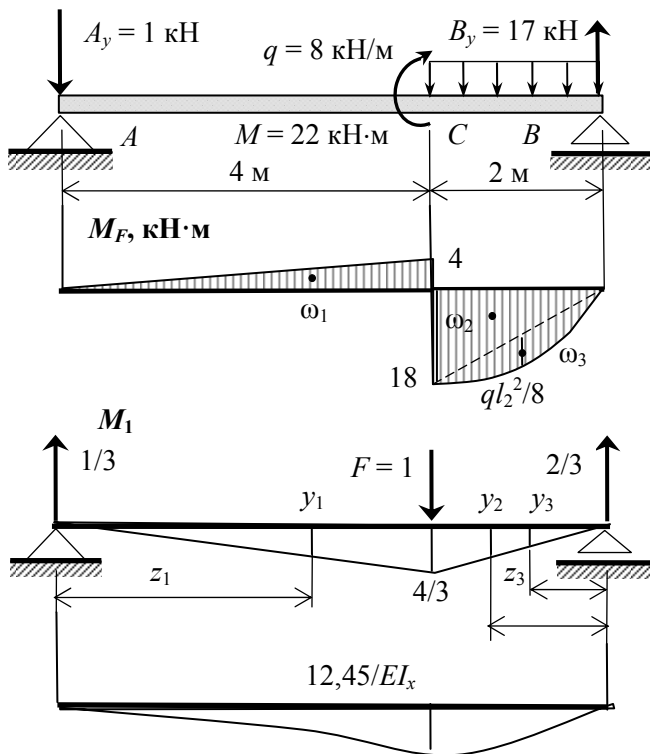


Рис. 5.35

$$z_1 = \frac{2}{3} \cdot 4 = 2,67; \quad y_1 = \frac{1}{3} \cdot 2,67 = 0,89 \text{ м};$$

$$z_2 = \frac{2}{3} \cdot 2 = 1,33; \quad y_2 = \frac{2}{3} \cdot 1,33 = 0,89 \text{ м};$$

$$z_3 = \frac{1}{2} \cdot 2 = 1; \quad y_3 = 0,67 \cdot 1 = 0,67 \text{ м}.$$

$$EI_x V_C = -8 \cdot 0,89 + 18 \cdot 0,89 + 5,33 \cdot 0,67 = 12,45 \text{ кН} \cdot \text{м}^3.$$

### Задача 5.20

Для двухопорной балки с консолью, рис. 5.36, подобрать номер прокатного двутавра из условия жесткости, если  $R = 210$  МПа,

$$\left(\frac{\vartheta}{l}\right)_{\text{adm}} = \frac{1}{300}.$$

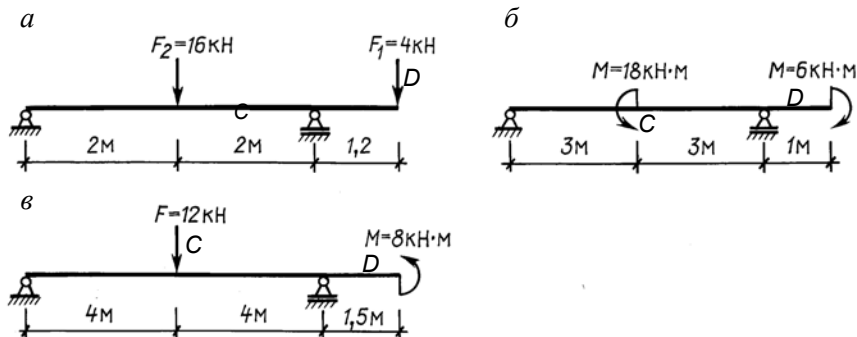


Рис. 5.36

Построить эпюру прогибов.

Ответы:

а. I № 16,  $\vartheta_C = 0,946$  см (вниз),  $\vartheta_D = 0,528$  см (вверх).

б. I № 12,  $\vartheta_C = 1,93$  см (вверх),  $\vartheta_D = 2,79$  см (вниз).

в. I № 24,  $\vartheta_C = 2,31$  см (вниз),  $\vartheta_D = 1,63$  см (вверх).

### Вариант а)

### Решение

$$EI_x V = \sum \omega_i y_i.$$

$$\omega_1 = \frac{1}{2} \cdot 13,6 \cdot 2 = 13,6 \text{ кН}\cdot\text{м}^2; \quad \omega_2 = \frac{1}{2} \cdot 13,6 \cdot 2 = 13,6 \text{ кН}\cdot\text{м}^2;$$

$$\omega_3 = \frac{1}{2} \cdot 4,8 \cdot 2 = 4,8 \text{ кН}\cdot\text{м}^2; \quad \omega_4 = \frac{1}{2} \cdot 4,8 \cdot 1,2 = 2,88 \text{ кН}\cdot\text{м}^2, \text{ рис. 5.37.}$$

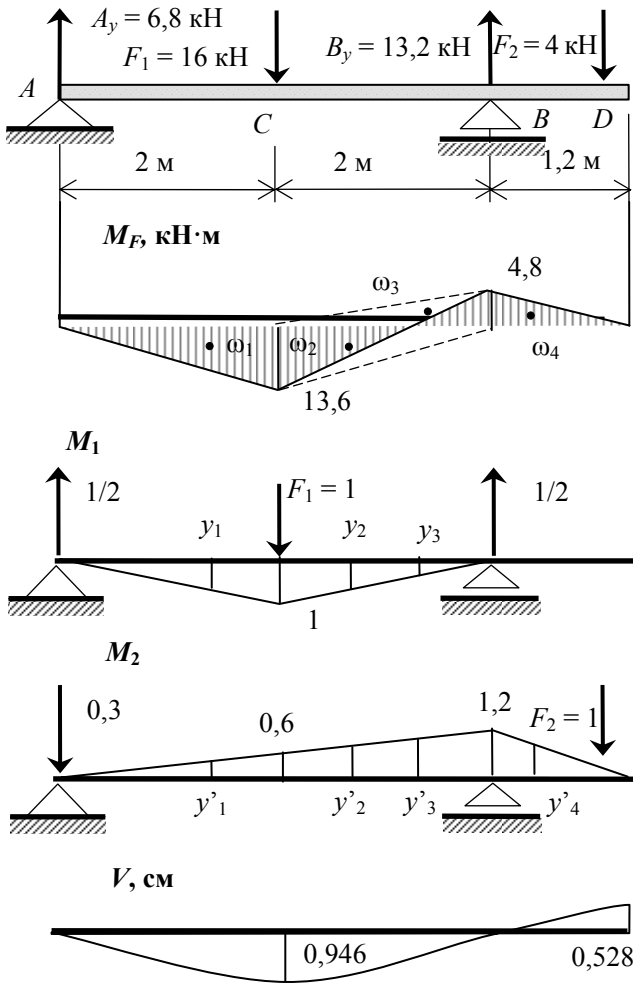


Рис. 5.37

$$y_1 = \frac{1}{2} \cdot \frac{2}{3} \cdot 2 = 0,667 \text{ м}; \quad y_2 = \frac{1}{2} \cdot \frac{2}{3} \cdot 2 = 0,667 \text{ м};$$

$$y_3 = \frac{1}{2} \cdot \frac{1}{3} \cdot 2 = 0,333 \text{ м}; \quad y_4 = 0.$$

$$y_1' = 0,3 \cdot \frac{2}{3} \cdot 2 = 0,4 \text{ м}; \quad y_2' = 0,3 \cdot \left(2 + \frac{1}{3} \cdot 2\right) = 0,8 \text{ м};$$

$$y_3' = 0,3 \cdot \left(2 + \frac{2}{3} \cdot 2\right) = 1 \text{ м}; \quad y_4' = 1 \cdot \frac{2}{3} \cdot 1,2 = 0,8 \text{ м}.$$

$$EI_x V_C = 13,6 \cdot 0,667 + 13,6 \cdot 0,667 - 4,8 \cdot 0,333 = 16,54 \text{ кН} \cdot \text{м}^3;$$

$$V_C = V_{\text{adm}} = \frac{l}{300} = \frac{400}{300} = 1,333 \text{ см};$$

$$I_x = \frac{16,54}{EV_C} = \frac{16,54 \cdot 10^3}{200 \cdot 10^9 \cdot 1,333 \cdot 10^{-2}} = 620 \text{ см}^4.$$

Принимаем двутавр № 16:  $W_x = 109 \text{ см}^3$ ;  $I_x = 873 \text{ см}^4$ .

$$V_C = \frac{16,54 \cdot 10^3}{200 \cdot 10^9 \cdot 873 \cdot 10^{-8}} = 0,946 \text{ см (вниз)};$$

$$EI_x V_D = -13,6 \cdot 0,4 - 13,6 \cdot 0,8 + 4,8 \cdot 1 + 2,88 \cdot 0,8 = -9,22 \text{ кН} \cdot \text{м}^3;$$

$$V_D = \frac{-9,22 \cdot 10^3}{200 \cdot 10^9 \cdot 873 \cdot 10^{-8}} = -0,528 \text{ см (вверх)}.$$

$$\sigma_{\text{max}} = \frac{M_{\text{max}}}{W_x} = \frac{13,6 \cdot 10^3}{109 \cdot 10^{-6}} = 125 \text{ МПа}.$$

### Вариант б)

### Решение

$$EI_x V = \sum \omega_i y_i.$$

$$\omega_1 = \frac{1}{2} \cdot 6 \cdot 3 = 9 \text{ кН} \cdot \text{м}^2; \quad \omega_2 = \frac{1}{2} \cdot 3 \cdot (12 - 6) = 9 \text{ кН} \cdot \text{м}^2;$$

$$\omega_3 = 6 \cdot 3 = 18 \text{ кН} \cdot \text{м}^2; \quad \omega_4 = 6 \cdot 1 = 6 \text{ кН} \cdot \text{м}^2, \text{ рис. 5.38.}$$

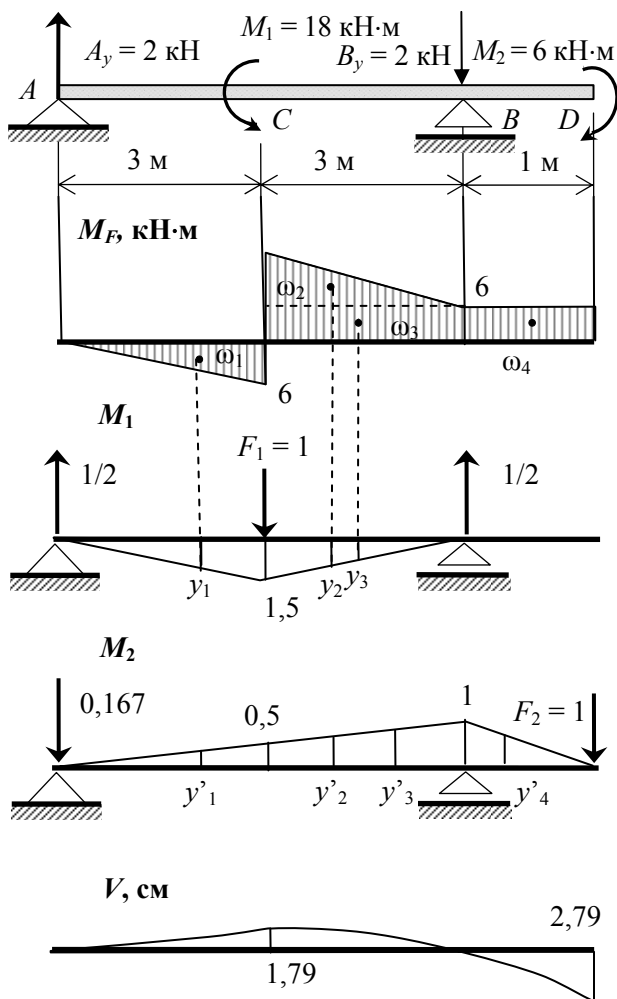


Рис. 5.38

$$y_1 = \frac{1}{2} \cdot \frac{2}{3} \cdot 3 = 1 \text{ м}; \quad y_2 = \frac{1}{2} \cdot \frac{2}{3} \cdot 3 = 1 \text{ м};$$

$$y_3 = \frac{1}{2} \cdot \frac{1}{2} \cdot 3 = 0,75 \text{ м}; \quad y_4 = 0.$$

$$y_1' = 0,167 \cdot \frac{2}{3} \cdot 2 = 0,334 \text{ м};$$

$$y_2' = 0,167 \cdot \left(3 + \frac{1}{3} \cdot 3\right) = 0,668 \text{ м};$$

$$y_3' = 0,167 \cdot \left(3 + \frac{1}{2} \cdot 3\right) = 0,752 \text{ м};$$

$$y_4' = 1 \cdot \frac{1}{2} = 0,5 \text{ м}.$$

$$EI_x V_C = 9 \cdot 1 - 9 \cdot 1 - 18 \cdot 0,75 = -13,5 \text{ кН} \cdot \text{м}^3;$$

$$V_C = V_{\text{adm}} = \frac{l}{300} = \frac{600}{300} = 2 \text{ см};$$

$$I_x = \frac{13,5}{EV_C} = \frac{13,5 \cdot 10^3}{200 \cdot 10^9 \cdot 2 \cdot 10^{-2}} = 338 \text{ см}^4.$$

Принимаем двутавр № 12:  $W_x = 58,4 \text{ см}^3$ ;  $I_x = 350 \text{ см}^4$ .

$$V_C = -\frac{13,5 \cdot 10^3}{200 \cdot 10^9 \cdot 350 \cdot 10^{-8}} = -1,93 \text{ см (вверх)};$$

$$EI_x V_D = -9 \cdot 0,334 + 9 \cdot 0,668 + 18 \cdot 0,752 + 6 \cdot 0,5 = 19,55 \text{ кН} \cdot \text{м}^3;$$

$$V_D = \frac{19,55 \cdot 10^3}{200 \cdot 10^9 \cdot 350 \cdot 10^{-8}} = 2,79 \text{ см (вниз)}.$$

$$\sigma_{\text{max}} = \frac{M_{\text{max}}}{W_x} = \frac{12 \cdot 10^3}{58,4 \cdot 10^{-6}} = 205 \text{ МПа}.$$

## 6. СТАТИЧЕСКИ НЕОПРЕДЕЛИМЫЕ БАЛКИ

### Задача 6.1

Для балки с защемленным левым и шарнирно опертым правым концом, рис. 6.1, построить эпюры  $Q$  и  $M$ , определить прогиб посередине пролета, изобразить ось изогнутой балки.

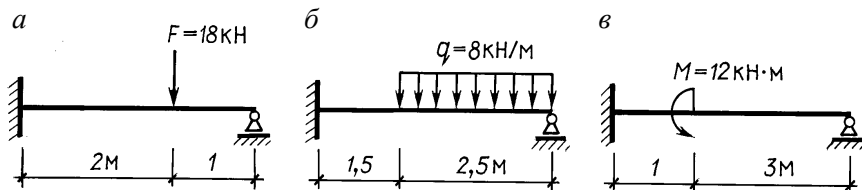


Рис. 6.1

Жесткость сечения балки  $EI_X$ .

Воспользоваться уравнениями метода начальных параметров.

Ответы:

а.  $A_Y = 8,67$  кН;  $B_Y = 9,33$  кН;  $M_A = 8,0$  кН·м;  $v = -4,12/EI_X$ .

б.  $A_Y = 8,75$  кН;  $B_Y = 11,25$  кН;  $M_A = 10,0$  кН·м;  $v = -8,35/EI_X$ .

в.  $A_Y = 1,97$  кН;  $B_Y = -1,97$  кН;  $M_A = -4,12$  кН·м;  $v = 4,87/EI_X$ .

### Вариант а)

#### Решение

$$\sum M_B = A_Y \cdot 3 - M_A - 18 \cdot 1 = 0; \quad (6.1)$$

$$\sum M_A = -B_Y \cdot 3 - M_A + 18 \cdot 2 = 0; \quad (6.2)$$

$$EI_X v_B = -M_A \cdot \frac{3^2}{2} + A_Y \cdot \frac{3^3}{6} - 18 \cdot \frac{1^3}{6} = 0, \text{ рис. 6.2.} \quad (6.3)$$



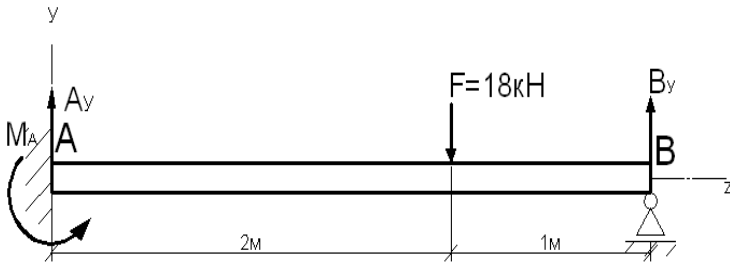


Рис. 6.2

Из (6.1), (6.2), (6.3)

$A_y = 8,67\text{ кН}$ ,  $B_y = 9,33\text{ кН}$ ,  $M_A = 8,0\text{ кН}\cdot\text{м}$ , рис. 6.3.

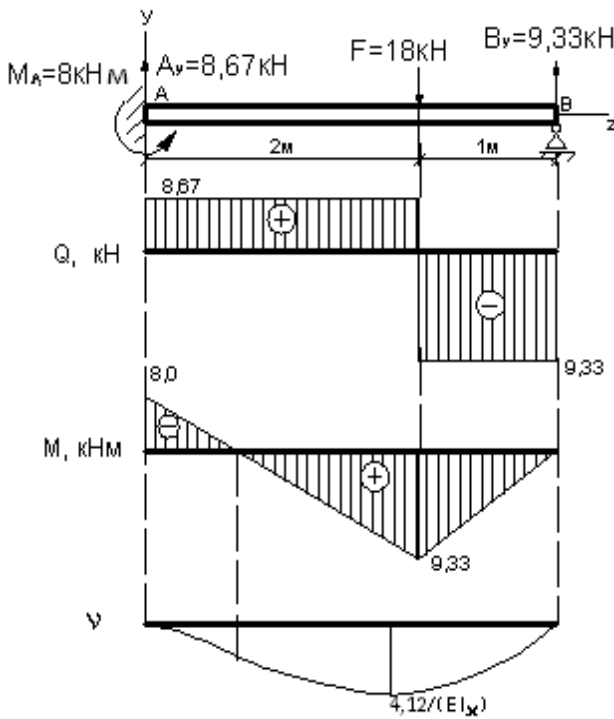


Рис. 6.3

При  $z = 1,5$  м ( $v_0 = 0, \theta_0 = 0$ ):

$$EI_X v = -8 \cdot \frac{1,5^2}{2} + 8,67 \cdot \frac{1,5^3}{6} = -4,12;$$

$$v = -\frac{4,12}{EI_X}.$$

### Задача 6.2

Для двухпролетной балки, рис. 6.4, построить эпюры  $Q$  и  $M$ , подобрать номер прокатного двутавра, если  $R = 210$  МПа.

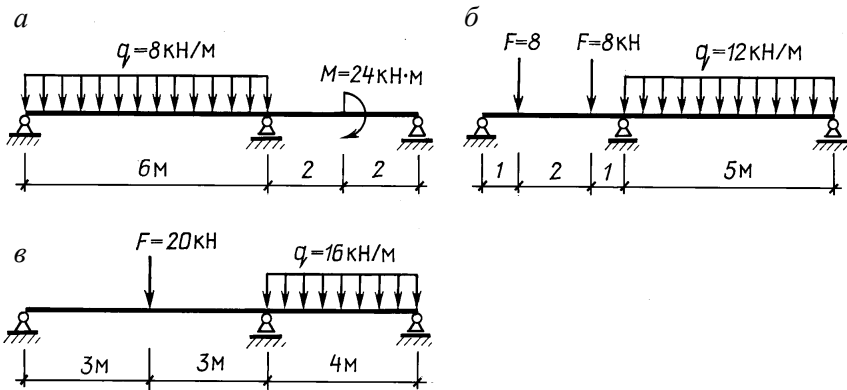


Рис. 6.4

Использовать уравнения метода сил.

Ответы:

а.  $M_B = -20,4$  кН·м;  $M_{X,\max} = 26,5$  кН·м; двутавр № 18.

б.  $M_B = -24,8$  кН·м;  $M_{X,\max} = 26,0$  кН·м; двутавр № 18.

в.  $M_B = M_{X,\max} = -26,3$  кН·м; двутавр № 18.

## Вариант а)

### Решение

$$x_1 \delta_{11} + \Delta_{1F} = 0;$$

$$\omega_1 = \frac{2}{3} \cdot \frac{8 \cdot 6^2}{8} \cdot 6 = 144 \text{ кН} \cdot \text{м}^2; \quad \omega_2 = \omega_3 = \frac{1}{2} \cdot 12 \cdot 2 = 12 \text{ кН} \cdot \text{м}^2,$$

$$\omega_4 = \frac{1}{2} \cdot 1 \cdot 6 = 3,0 \text{ кН} \cdot \text{м}^2, \quad \omega_5 = \frac{1}{2} \cdot 1 \cdot 4 = 2,0 \text{ кН} \cdot \text{м}^2, \text{ рис. 6.5.}$$

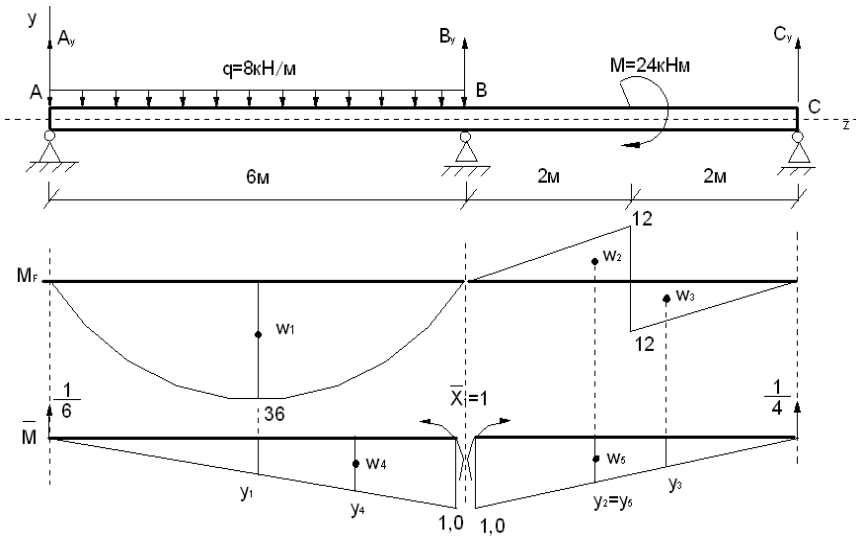


Рис. 6.5

$$y_1 = \frac{1}{6} \cdot 3 = 0,5 \text{ м}; \quad y_2 = \frac{1}{4} \cdot \left( 2 + \frac{1}{3} \cdot 2 \right) = \frac{2}{3} = 0,667 \text{ м};$$

$$y_3 = \frac{1}{4} \cdot \frac{2}{3} \cdot 2 = 0,333 \text{ м}; \quad y_4 = \frac{1}{6} \cdot \frac{2}{3} \cdot 6 = 0,667 \text{ м};$$

$$y_5 = \frac{1}{4} \cdot \frac{2}{3} \cdot 4 = 0,667 \text{ м}.$$

$$\delta_{11} = \omega_4 y_4 + \omega_5 y_5 = 3,0 \cdot 0,667 + 2,0 \cdot 0,667 = 3,335;$$

$$\Delta_{1F} = \omega_1 y_1 - \omega_2 y_2 + \omega_3 y_3 = 144 \cdot 0,5 - 12 \cdot 0,667 + 12 \cdot 0,333 = 68,0;$$

$$x_1 \cdot 3,335 + 68,0 = 0 \rightarrow x_1 = -20,4 \text{ кН}\cdot\text{м}, \quad x_1 = M_B, \text{ рис. 6.6.}$$

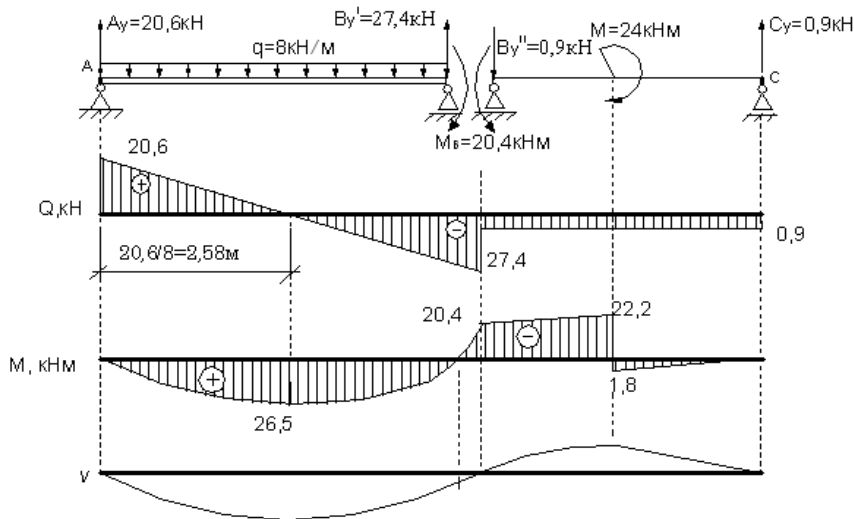


Рис. 6.6

При  $z = 2,58 \text{ м}$

$$M_{\max} = 20,6 \cdot 2,58 - 8 \cdot \frac{2,58^2}{2} = 26,5 \text{ кН};$$

$$W_x = \frac{26,5 \cdot 10^3}{210 \cdot 10^6} = 126 \text{ см}^3.$$

Принимаем I № 18,  $W_x = 143 \text{ см}^3$ .

### Задача 6.3

Для многопролетной балки, рис. 6.7, построить эпюры  $Q$  и  $M$ , подобрать номер прокатного двутавра, если  $R = 210 \text{ МПа}$ ,  $E = 200 \text{ ГПа}$ .

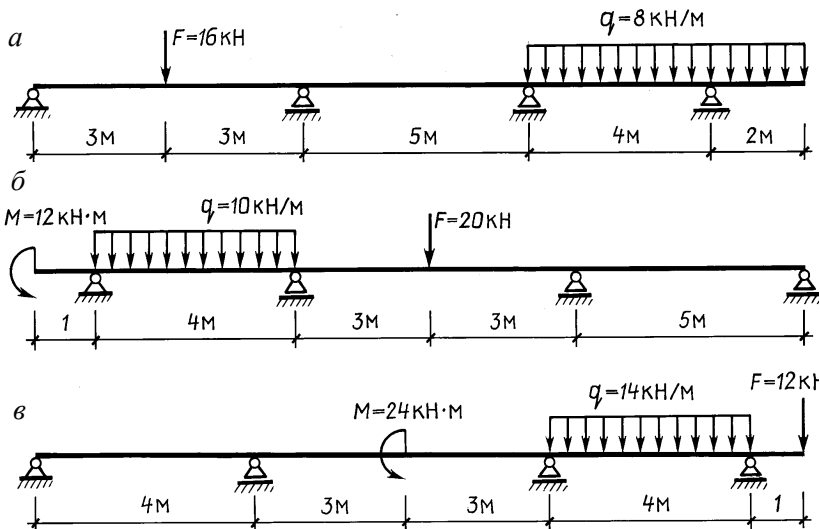


Рис. 6.7

Определить прогиб посередине ненагруженного пролета, изобразить ось изогнутой балки.

Ответы:

*a.*  $M_B = -9,645 \text{ кН}\cdot\text{м}$ ;  $M_C = -0,714 \text{ кН}\cdot\text{м}$ ;  $Q_{\max} = -19,82 \text{ кН}$ ;

$M_{X,\max} = 19,17 \text{ кН}\cdot\text{м}$ ;  $v = 0,927 \text{ см}$  (вверх); двутавр № 16.

*б.*  $M_B = -16,8 \text{ кН}\cdot\text{м}$ ;  $M_C = -7,69 \text{ кН}\cdot\text{м}$ ;  $Q_{\max} = 21,2 \text{ кН}$ ;

$M_{X,\max} = 17,76 \text{ кН}\cdot\text{м}$ ;  $v = 0,687 \text{ см}$  (вверх); двутавр № 16.

*в.*  $M_B = 0,33 \text{ кН}\cdot\text{м}$ ;  $M_C = -7,1 \text{ кН}\cdot\text{м}$ ;  $Q_{\max} = 29,23 \text{ кН}$ ;

$M_{X,\max} = 18,5 \text{ кН}\cdot\text{м}$ ;  $v = 0,0016 \text{ см}$  (вниз); двутавр № 16.

### Вариант а)

### Решение

$$x_1 \delta_{11} + x_2 \delta_{12} + \Delta_{1F} = 0; \quad x_1 \delta_{21} + x_2 \delta_{22} + \Delta_{2F} = 0;$$

$$\delta_{11} = \omega_5 y_5 + \omega_6 y_6 = \frac{1 \cdot 6}{2} \cdot \frac{1}{6} \cdot \frac{2}{3} \cdot 6 + \frac{1 \cdot 5}{2} \cdot \frac{1}{5} \cdot \frac{2}{3} \cdot 5 = 3,667;$$

$$\delta_{22} = \omega_7 y_7 + \omega_8 y_8 = \frac{1 \cdot 5}{2} \cdot \frac{1}{5} \cdot \frac{2}{3} \cdot 5 + \frac{1 \cdot 4}{2} \cdot \frac{1}{4} \cdot \frac{2}{3} \cdot 4 = 3,0;$$

$$\delta_{12} = \delta_{21} = \omega_6 y'_6 = \omega_7 y'_7 = \frac{1 \cdot 5}{2} \cdot \frac{1}{5} \cdot \frac{1}{3} \cdot 5 = 0,883;$$

$$\Delta_{1F} = \omega_1 y_1 + \omega_2 y_2 = \frac{24 \cdot 3}{2} \cdot \frac{1}{6} \cdot 2 + \frac{24 \cdot 3}{2} \cdot \frac{1}{6} \cdot 4 = 36,0;$$

$$\Delta_{2F} = \omega_3 y_3 - \omega_4 y_4 = \frac{2}{3} \cdot 16 \cdot 4 \cdot \frac{1}{4} \cdot 2 - \frac{16 \cdot 4}{2} \cdot \frac{1}{4} \cdot \frac{1}{3} \cdot 4 = 10,66, \text{ рис. 6.8.}$$

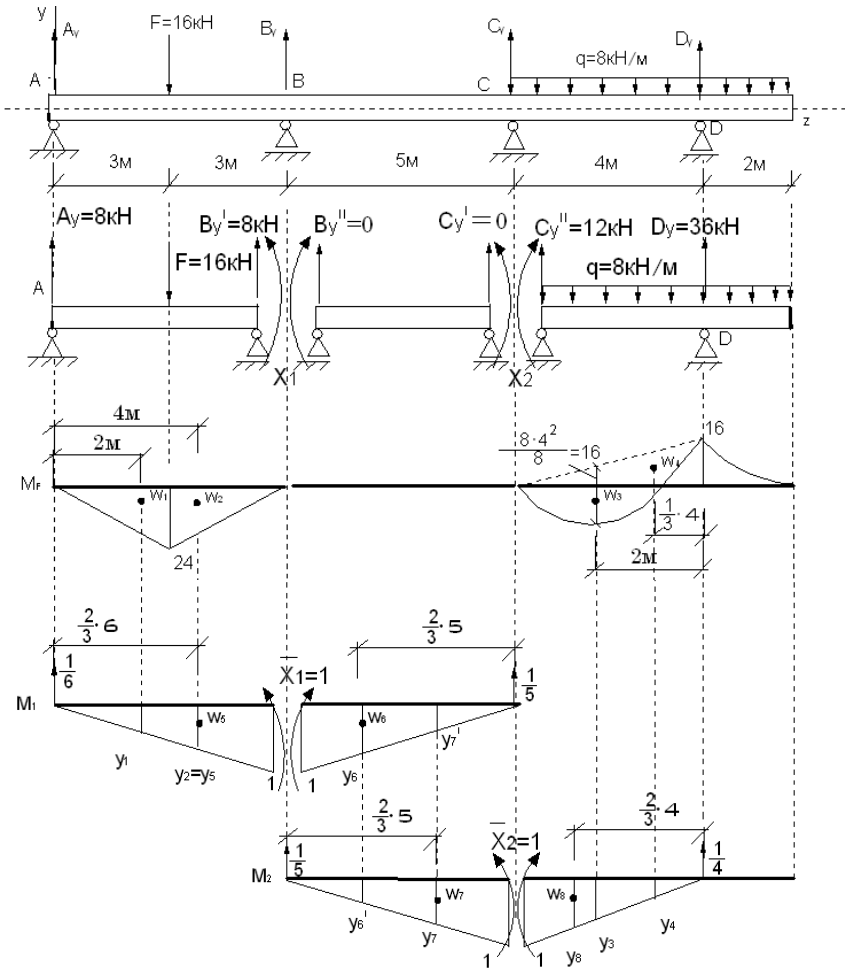


Рис. 6.8

$$3,667x_1 + 0,883x_2 + 36,0 = 0; \quad (6.4)$$

$$0,883x_1 + 3,0x_2 + 10,66 = 0; \quad (6.5)$$

$$x_1 = -9,645 \text{ кН}\cdot\text{м} = M_B;$$

$$x_2 = -0,714 \text{ кН}\cdot\text{м} = M_C, \text{ рис. 6.9.}$$

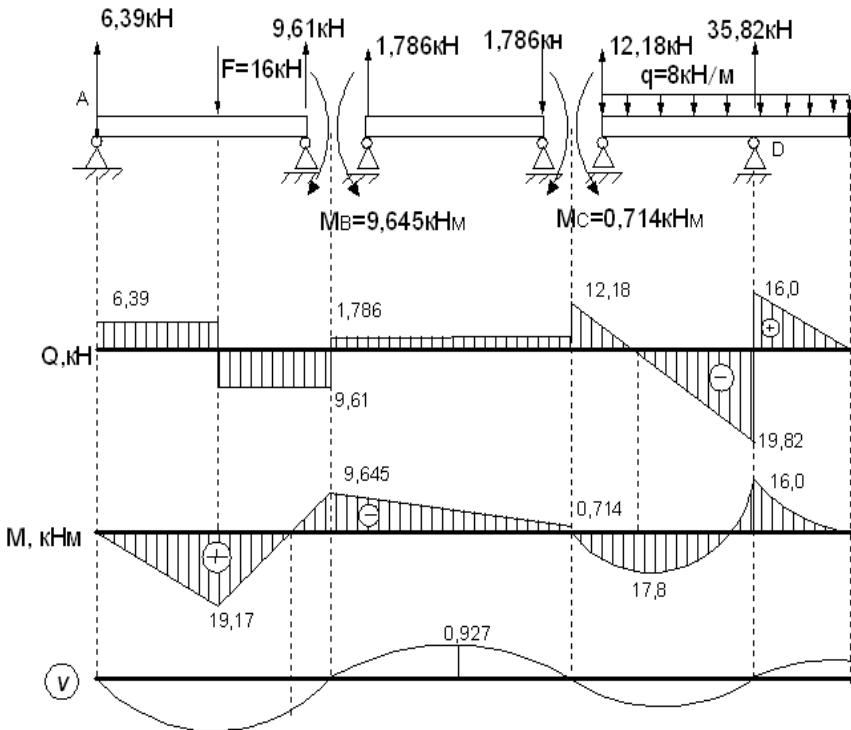


Рис. 6.9

Выбираем I № 16,  $I_x = 873 \text{ см}^4$ .

Определим прогиб сечения  $K$  на участке  $BC$ , рис. 6.10.

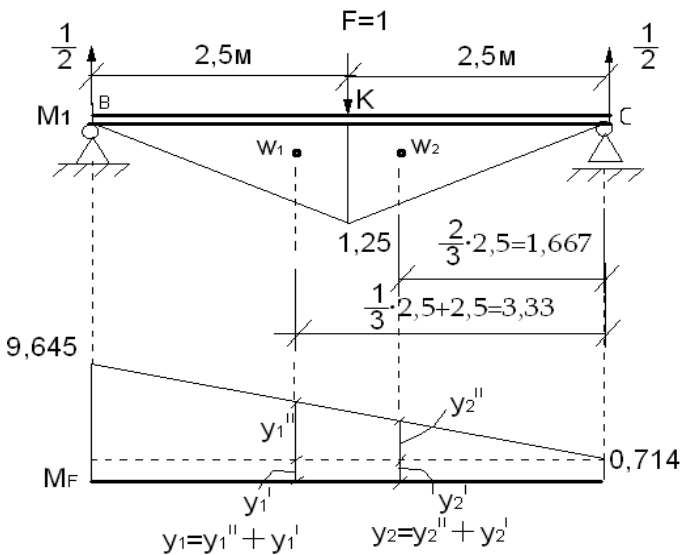


Рис. 6.10

$$EI_x v_K = -\omega_1 y_1 - \omega_2 y_2 ;$$

$$\omega_1 = \omega_2 = \frac{1}{2} \cdot 1,25 \cdot 2,5 = 1,563;$$

$$y_1' = y_2' = 0,714; \quad \frac{y_1''}{3,33} = \frac{9,645 - 0,714}{5};$$

$$y_1'' = 5,95; \quad y_1 = 0,714 + 5,95 = 6,66.$$

$$\frac{y_2''}{1,667} = \frac{9,645 - 0,714}{5}, \quad y_2'' = 2,98,$$

$$y_2 = 0,714 + 2,98 = 3,69;$$

$$EI_x v_K = -1,563 \cdot 6,66 - 1,563 \cdot 3,69 = -10,41 - 5,77 = -16,18;$$

$$v_K = \frac{-16,18 \cdot 10^3}{200 \cdot 10^9 \cdot 873 \cdot 10^{-8}} = -0,927 \text{ см (вверх).}$$



## 7. СЛОЖНОЕ СОПРОТИВЛЕНИЕ

### 7.1. Косой изгиб

#### Задача 7.1

Стальная консольная балка составного поперечного сечения, рис. 7.1, нагружена внешней силой ( $q$ ,  $M$ ,  $F$ ), направленной под углом  $\alpha$  к вертикальной оси сечения.

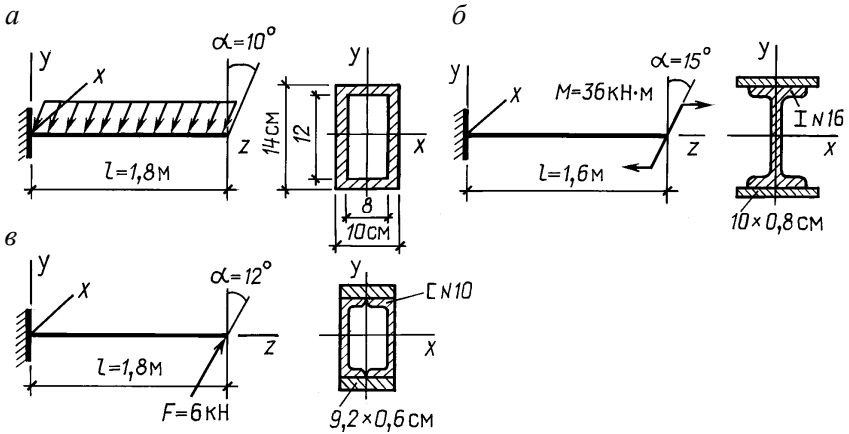


Рис. 7.1

Проверить прочность и жесткость балки, если  $R = 210$  МПа,  $E = 200$  ГПа, а допустимый относительный прогиб

$$\left(\frac{v}{l}\right)_{\text{adm}} = \frac{1}{150}.$$

Ответы:

$$a. \sigma_{\max} = 204 \text{ МПа}; \varphi_0 = -17^\circ; \frac{v_{\max}}{l} = \frac{1}{178}.$$

$$b. \sigma_{\max} = 120,8 \text{ МПа}; \varphi_0 = -70,2^\circ; \frac{v_{\max}}{l} = \frac{1}{158}.$$

$$c. \sigma_{\max} = 120,63 \text{ МПа}; \varphi_0 = -22,38'; \frac{v_{\max}}{l} = \frac{1}{191}.$$

## Вариант а)

### Решение

Для определения прогиба на конце консоли воспользуемся формулами:

$$q_x = q \sin \alpha = 17 \cdot 0,174 = 2,958 \text{ кН/м};$$

$$q_y = q \cos \alpha = 17 \cdot 0,985 = 16,75 \text{ кН/м};$$

$$I_x = \frac{10 \cdot 14^3}{12} - \frac{8 \cdot 12^3}{12} = 11,35 \text{ см}^4, \quad W_x = \frac{11,35}{7} = 162 \text{ см}^3;$$

$$I_y = \frac{14 \cdot 10^3}{12} - \frac{12 \cdot 8^3}{12} = 655 \text{ см}^4, \quad W_y = \frac{655}{5} = 131 \text{ см}^3;$$

$$M_{x\max} = \frac{q_y l^2}{2} = \frac{16,75 \cdot 1,8^2}{2} = 27,14 \text{ кН}\cdot\text{м};$$

$$M_{y\max} = \frac{q_x l^2}{2} = \frac{2,958 \cdot 1,8^2}{2} = 4,792 \text{ кН}\cdot\text{м}.$$

В сечении А, рис. 7.2:

$$\sigma_{\max} = \frac{27,14 \cdot 10^3}{162 \cdot 10^{-6}} + \frac{4,79 \cdot 10^3}{131 \cdot 10^{-6}} = (0,168 + 0,0356) \cdot 10^9 = 204 \text{ МПа} < R;$$

$$v_x = \frac{q_x l^4}{8EJ_y} = \frac{2,958 \cdot 1,8^4 \cdot 10^3}{8 \cdot 200 \cdot 10^9 \cdot 655 \cdot 10^{-8}} = 0,0000296 \cdot 10^2 \text{ м} = 0,296 \text{ см};$$

$$v_y = \frac{q_y l^4}{8EJ_x} = \frac{16,75 \cdot 1,8^4 \cdot 10^3}{8 \cdot 200 \cdot 10^9 \cdot 11,35 \cdot 10^{-8}} = 0,0000968 \cdot 10^2 \text{ м} = 0,968 \text{ см};$$

$$v_B = \sqrt{v_x^2 + v_y^2} = \sqrt{0,296^2 + 0,968^2} = 1,012 \text{ см};$$

$$\frac{v}{l} = \frac{1,012}{180} = \frac{1}{178} < \frac{1}{150};$$

$$\operatorname{tg}\varphi_0 = -\frac{(-4,79)}{(-27,14)} \cdot \frac{11,35}{655} = -0,306, \quad \varphi_0 = -17^\circ.$$

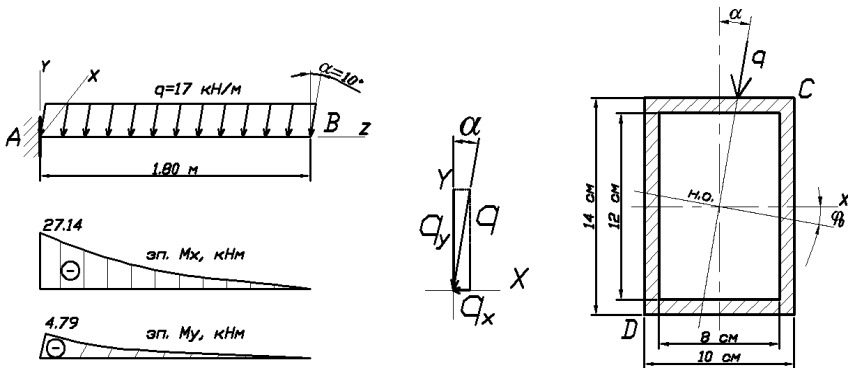


Рис. 7.2

В точке  $C$

$$\sigma = 204 \text{ МПа};$$

в точке  $D$

$$\sigma = -204 \text{ МПа}.$$

### Задача 7.2

Стальная консольная балка, рис. 7.3, заданного поперечного сечения нагружена внешними силами, действующими в главных плоскостях сечения.

Расположив сечение балки рационально по отношению к нагрузке, определить ее наибольшее допустимое значение, если  $R = 210 \text{ МПа}$ . Скручиванием швеллера пренебречь.

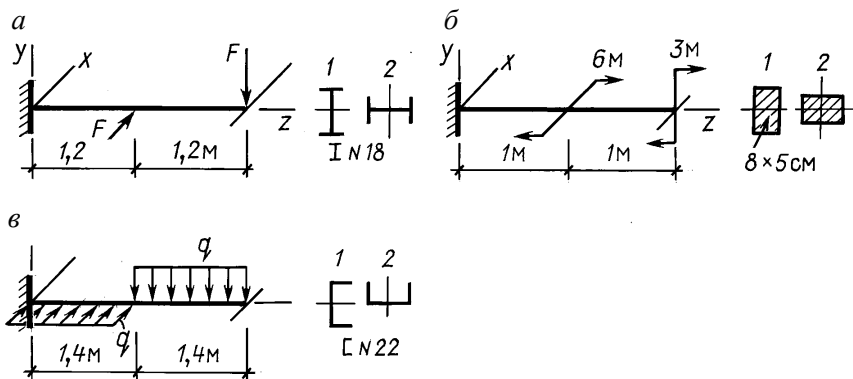


Рис. 7.3

Ответы:

а. Положение 1;  $F = 2,56$  кН;  $\varphi_0 = 82,7^\circ$ .

б. Положение 2;  $M = 3,11$  кН;  $\varphi_0 = -38,0^\circ$ .

в. Положение 1;  $q = 3,867$  кН;  $\varphi_0 = 77,5^\circ$ .

### Вариант а)

### Решение

Сечение – двутавр № 18:  $I_x = 1290$  см<sup>4</sup>,  $I_y = 82,6$  см<sup>4</sup>,  $W_x = 143$  см<sup>3</sup>,  $W_y = 18,4$  см<sup>3</sup>, рис. 7.4.

Для расчета принимаем положение двутавра в положении 1, так как  $M_x > M_y$ .

В сечении А

$$\sigma_{\max} = \frac{2,4F}{143 \cdot 10^{-6}} + \frac{1,2F}{18,4 \cdot 10^{-6}} = 210 \text{ МПа, откуда } F = 2,56 \text{ кН.}$$

$$\operatorname{tg} \varphi_0 = -\frac{M_y I_x}{M_x I_y} = -\frac{1,2 \cdot 2,56 \cdot 1290}{-2,4 \cdot 2,56 \cdot 82,6} = 7,809, \quad \varphi_0 = 82,7^\circ.$$

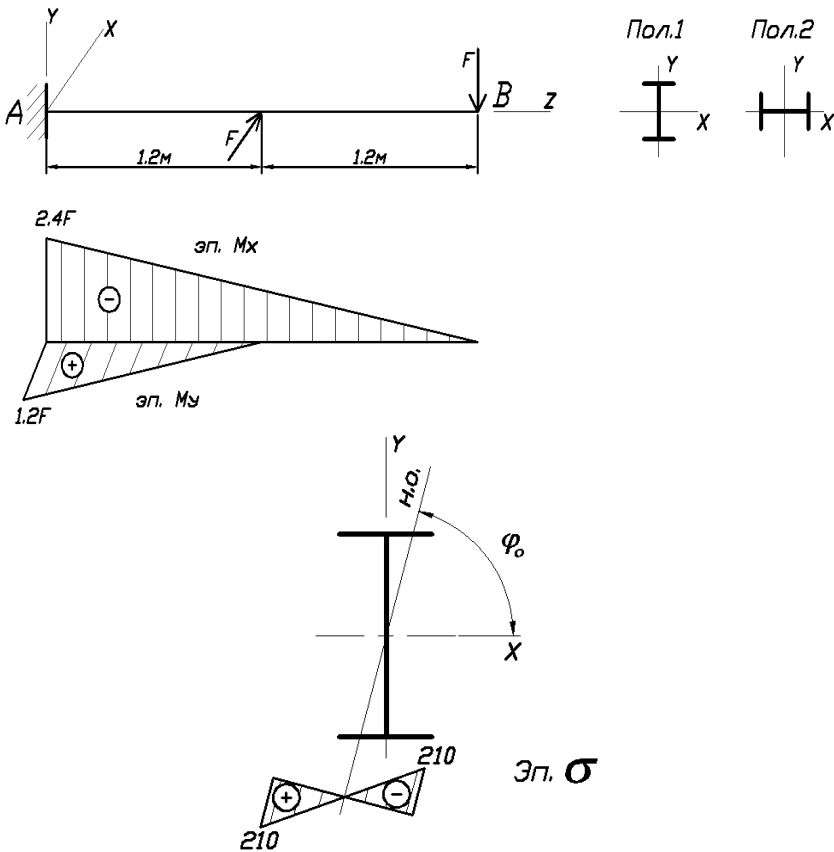


Рис. 7.4

### Задача 7.3

Двухопорная деревянная (стальная) балка, рис. 7.5, подвергается изгибу в двух главных плоскостях сечения.

Определить размеры сечения (номер профиля) при заданном соотношении моментов сопротивления  $W_x / W_y$ . Построить суммарную эпюру нормальных напряжений. Указать точку сечения с наибольшим растягивающим напряжением.

Расчетные сопротивления: для древесины  $R = 14$  МПа, для стали  $R = 210$  МПа.

Виды опор балки в вертикальной и горизонтальной плоскостях одинаковы. Скручиванием швеллера пренебречь.

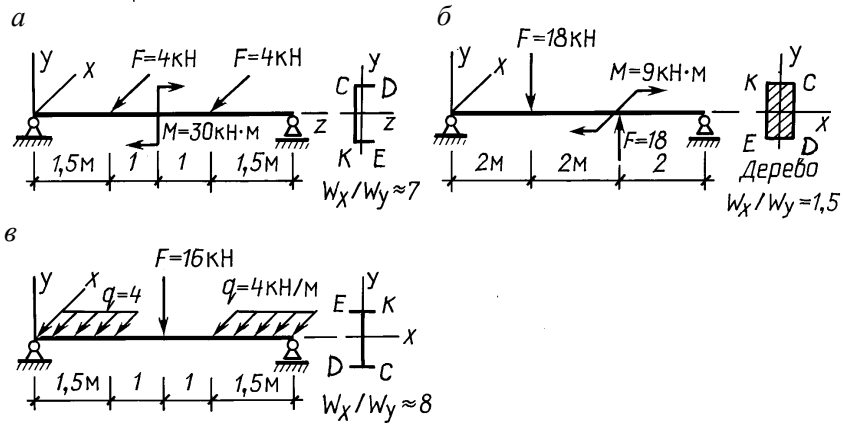


Рис. 7.5

Ответы:

- а. Швеллер № 27:  $\sigma_{\max} = 209,6$  МПа в точке С;  $\varphi_0 = 81,1^\circ$ .  
 б. Сечение 16 × 24 см:  $\sigma_{\max} = 13,6$  МПа в точке К;  $\varphi_0 = 48,37^\circ$ .  
 в. Двутавр № 24:  $\sigma_{\max} = 199,2$  МПа в точке D;  $\varphi_0 = -75,4^\circ$ .

### Вариант а)

### Решение

К~7, R = 210 МПа.

Опасное сечение – II, рис. 7.6.

$$\sigma_{\max} = \frac{M_x + KM_y}{W_x} = \frac{(15 + 7 \cdot 6) \cdot 10^3}{W_x} = 210 \text{ МПа};$$

$$W_x = \frac{57 \cdot 10^3}{210 \cdot 10^6} = 271,4 \text{ см}^3.$$

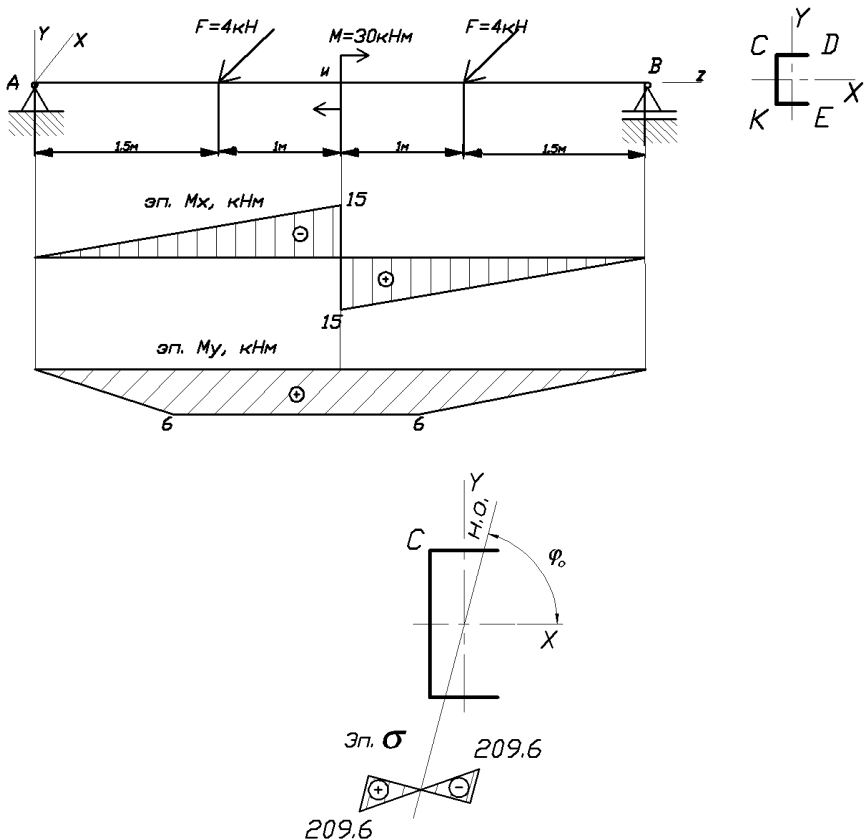


Рис. 7.6

Принимаем швеллер № 27:  $W_x = 308 \text{ см}^3$ ,  $W_y = 37,3 \text{ см}^3$ ,  $I_x = 4160 \text{ см}^4$ ,  $I_y = 262 \text{ см}^4$ .

$$\sigma_{\max} = \frac{15 \cdot 10^3}{308 \cdot 10^{-6}} + \frac{6 \cdot 10^3}{37,3 \cdot 10^{-6}} = (48,7 + 160,9) \cdot 10^6 = 209,6 \text{ МПа};$$

$$\text{tg} \varphi_0 = -\frac{6 \cdot 10^3 \cdot 4160}{-15 \cdot 10^3 \cdot 262} = 6,35, \quad \varphi_0 = 81,1^\circ.$$

## Задача 7.4

Определить наибольшее нормальное напряжение в балке из двутавра № 40, расположив его сечение рационально по отношению к нагрузке, рис. 7.7.

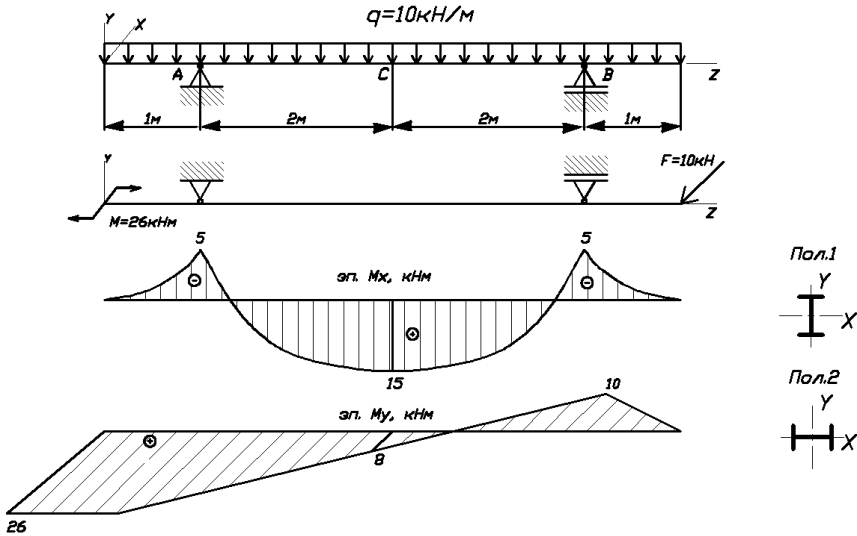


Рис. 7.7

## Решение

Для двутавра № 40  $W_{\max} = 953 \text{ см}^3$ ;  $W_{\min} = 86 \text{ см}^3$ .

Неблагоприятное сочетание изгибающих моментов – в сечении A и C.

Положение 1, сечение A:

$$\sigma_{\max} = \frac{5 \cdot 10^3}{953 \cdot 10^{-6}} + \frac{26 \cdot 10^3}{86 \cdot 10^{-6}} = (5,25 + 302) \cdot 10^6 = 307 \text{ МПа.}$$

Положение 1, сечение C:

$$\sigma_{\max} = \frac{15 \cdot 10^3}{953 \cdot 10^{-6}} + \frac{8 \cdot 10^3}{86 \cdot 10^{-6}} = (15,7 + 93) \cdot 10^6 = 108,7 \text{ МПа.}$$



Положение 2, сечение A:

$$\sigma_{\max} = \frac{5 \cdot 10^3}{86 \cdot 10^{-6}} + \frac{26 \cdot 10^3}{953 \cdot 10^{-6}} = (58,1 + 27,3) \cdot 10^6 = 85,4 \text{ МПа.}$$

Положение 2, сечение C:

$$\sigma_{\max} = \frac{15 \cdot 10^3}{86 \cdot 10^{-6}} + \frac{8 \cdot 10^3}{953 \cdot 10^{-6}} = (174 + 8,4) \cdot 10^6 = 182,4 \text{ МПа.}$$

Рациональное положение – 2,  $\sigma_{\max} = 182,4 \text{ МПа.}$

### Задача 7.5

В прямоугольном с отверстием сечении стержня, рис. 7.8, возникает изгибающий момент  $M = 10 \text{ кН}\cdot\text{м}$ , действующий в плоскости, совпадающей с диагональю  $AB$ .

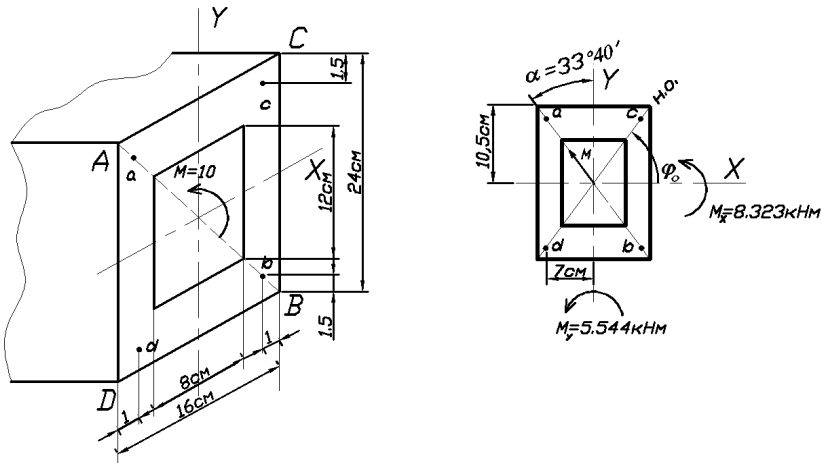


Рис. 7.8

Вычислить напряжения в точках  $a, b, c$  и  $d$ , а также наибольшие растягивающие и сжимающие напряжения; определить положение нейтральной оси.

### Решение

$$I_x = \frac{16 \cdot 24^3}{12} - \frac{8 \cdot 12^3}{12} = 17\,280 \text{ см}^4; \quad W_x = \frac{17280}{12} = 1440 \text{ см}^3;$$

$$I_y = \frac{24 \cdot 16^3}{12} - \frac{12 \cdot 8^3}{12} = 7680 \text{ см}^4; \quad W_y = \frac{7680}{8} = 960 \text{ см}^3;$$

$$\operatorname{tg} \alpha = \frac{8}{12} = 0,667, \quad \alpha = 33^\circ 40',$$

$$M_x = M \cos \alpha = 10 \cdot 0,8323 = 8,323 \text{ кН}\cdot\text{м};$$

$$M_y = M \sin \alpha = 10 \cdot 0,5544 = 5,544 \text{ кН}\cdot\text{м}.$$

$$\operatorname{tg} \varphi_0 = \frac{M_y I_x}{M_x I_y} = \frac{5,544 \cdot 17280}{8,323 \cdot 7680} = 1,4987, \quad \varphi_0 = 56^\circ 30'.$$

Нейтральная ось совпадает с диагональю  $CD$ .

$$\sigma_A = -\frac{8,323 \cdot 10^3}{1440 \cdot 10^{-6}} - \frac{5,544 \cdot 10^3}{960 \cdot 10^{-6}} = (-5,78 - 5,78) \cdot 10^6 = -11,56 \text{ МПа};$$

$$\sigma_B = (5,78 + 5,78) \cdot 10^6 = 11,56 \text{ МПа};$$

$$\sigma_a = -\frac{8,323 \cdot 10^3 \cdot 10,5 \cdot 10^{-2}}{17280 \cdot 10^{-8}} - \frac{5,544 \cdot 10^3 \cdot 7 \cdot 10^{-2}}{7680 \cdot 10^{-8}} =$$

$$= (-5,057 - 5,053) \cdot 10^6 = -10,11 \text{ МПа};$$

$$\sigma_b = (5,057 + 5,053) \cdot 10^6 = 10,11 \text{ МПа};$$

$$\sigma_c = (-5,057 + 5,053) \cdot 10^6 = -0,004 \text{ МПа} \approx 0;$$

$$\sigma_d = (5,057 - 5,053) \cdot 10^6 = 0,004 \text{ МПа} \approx 0.$$

## 7.2. Внецентренное растяжение-сжатие

### Задача 7.6

Стальная полоса, рис. 7.9, имеющая конструктивные элементы (отверстия, выточки, выступы), нагружена растягивающими силами  $F$ , направленными по продольной оси  $Z$ .

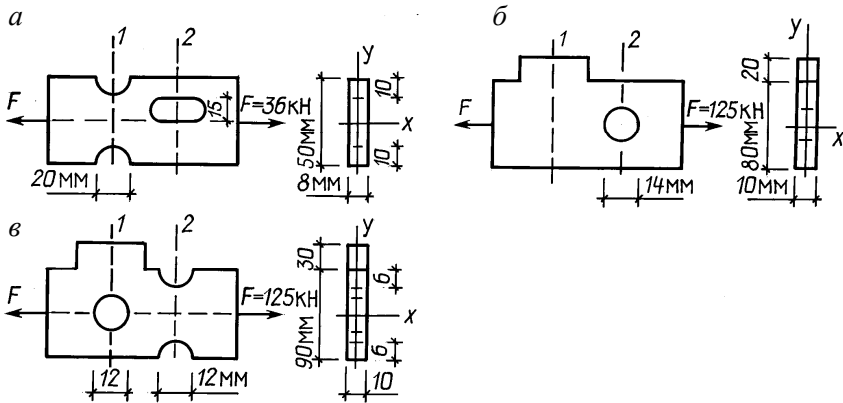


Рис. 7.9

Определить наибольшее нормальное напряжение в полосе. Построить эпюры напряжений в отмеченных сечениях.

Ответы:

*a.* В сечении 1  $\sigma = 150$  МПа;

в сечении 2  $\sigma_{\max} = 174,1$  МПа,  $\sigma_{\min} = 83,1$  МПа.

*б.* В сечении 1  $\sigma_{\max} = 200$  МПа;  $\sigma_{\min} = 50$  МПа;

в сечении 2  $\sigma = 189$  МПа.

*в.* В сечении 1  $\sigma_{\max} = 207,4$  МПа;  $\sigma_{\min} = 29,1$  МПа;

в сечении 2  $\sigma = 160,3$  МПа.

## Вариант а)

### Решение

В сечении I – центральное (осевое) растяжение:

$$\sigma_1 = \frac{N}{A} = \frac{F}{A} = \frac{36 \cdot 10^3}{(50 - 10 \cdot 2) \cdot 8 \cdot 10^{-6}} = 150 \text{ МПа, рис. 7.10, 7.11.}$$

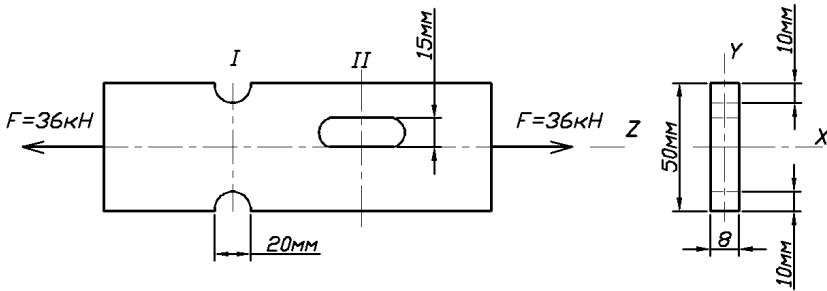


Рис. 7.10

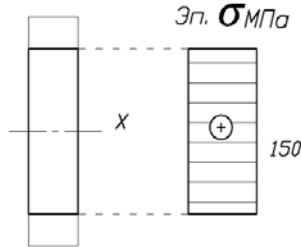


Рис. 7.11

В сечении II – внецентренное растяжение, рис. 7.12:

$$y_c = \frac{50 \cdot 8 \cdot 25 - 15 \cdot 8 \cdot 32,5}{50 \cdot 8 - 15 \cdot 8} = 21,8 \text{ мм};$$

$$A = 50 \cdot 8 - 15 \cdot 8 = 280 \text{ мм}^2;$$

$$I_x = \frac{8 \cdot 50^3}{12} + 8 \cdot 50 \cdot 3,2^2 - \frac{8 \cdot 13^3}{12} - 8 \cdot 15 \cdot 10,7^2 = 71 \, 441 \text{ мм}^4;$$

$$y_F = 3,2 \text{ мм}, \quad y_0 = -\frac{I_x}{Ay_F} = -\frac{71\,441}{280 \cdot 3,2} = -79,7 \text{ мм};$$

$$N = F = 36 \text{ кН}; \quad M_x = Fy_F = 36 \cdot 3,2 = 115,2 \text{ кН} \cdot \text{мм};$$

$$\sigma_A = \frac{36 \cdot 10^3}{280 \cdot 10^{-6}} + \frac{115,2 \cdot 10^3 \cdot 10^{-3}}{71\,441 \cdot 10^{-12}} \cdot 28,2 \cdot 10^{-3} =$$

$$= (128,6 + 45,5) \cdot 10^6 = 174,1 \text{ МПа};$$

$$\sigma_C = 128,6 \text{ МПа};$$

$$\sigma_B = \frac{36 \cdot 10^3}{280 \cdot 10^{-6}} - \frac{115,2 \cdot 10^3 \cdot 10^{-3}}{71\,441 \cdot 10^{-12}} \cdot 21,8 \cdot 10^{-3} = 93,4 \text{ МПа};$$

$$\sigma_{\max} = 174,1 \text{ МПа}.$$

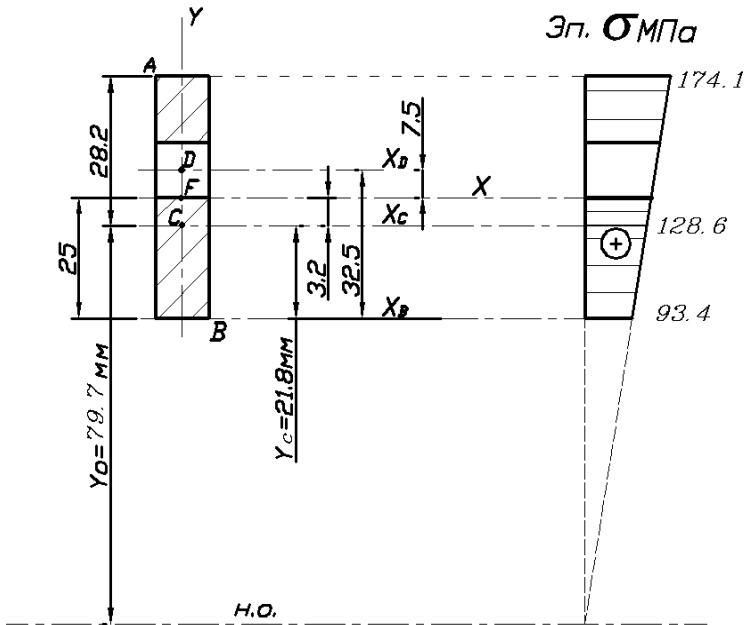


Рис. 7.12

### Задача 7.7

Определить наибольшее допустимое значение сжимающей силы  $F_{adm}$ , приложенной в точке  $K$  поперечного сечения короткой бетонной колонны, если  $R_t = 1,4$  МПа,  $R_c = 20$  МПа, рис. 7.13.

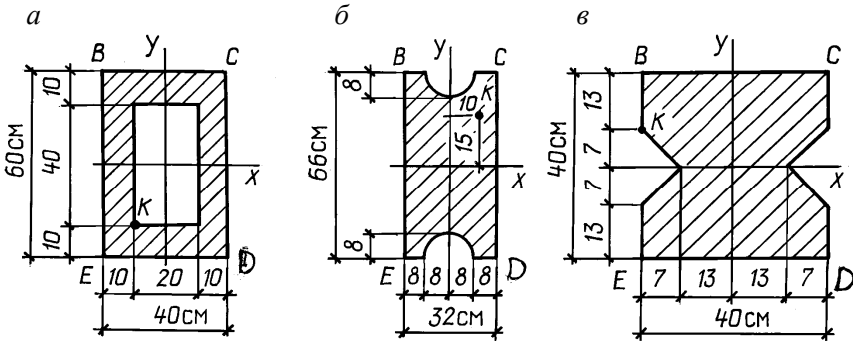


Рис. 7.13

Построить эпюру напряжений и ядро сечения.

Ответы:

а.  $F_{adm} = 135,3$  кН;  $x_0 = 18,33$  см;  $y_0 = 19,17$  см;  $\sigma_C = 1,4$  МПа;  $\sigma_E = -3,09$  МПа;  $y_{я} = \pm 12,78$  см при  $x_{я} = 0$ ;  $x_{я} = \pm 9,17$  см при  $y_{я} = 0$ .

б.  $F_{adm} = 114,7$  кН;  $x_0 = -9,26$  см;  $y_0 = -20,57$  см;  $\sigma_C = -2,27$  МПа;  $\sigma_E = 1,4$  МПа;  $y_{я} = \pm 9,35$  см при  $x_{я} = 0$ ;  $x_{я} = \pm 5,79$  см при  $y_{я} = 0$ .

в.  $F_{adm} = 64,2$  кН;  $x_0 = 6,08$  см;  $y_0 = -20,2$  см;  $\sigma_D = 1,4$  МПа;  $\sigma_B = -2,25$  МПа;  $y_{я} = \pm 7,07$  см при  $x_{я} = 0$ ;  $x_{я} = \pm 6,08$  см при  $y_{я} = 0$ .

Вариант а)

Решение

$$M_x = 20F, \quad M_y = 10F.$$

$$A = 60 \cdot 40 - 20 \cdot 40 = 1600 \text{ см}^2;$$

$$I_x = \frac{40 \cdot 60^3}{12} - \frac{20 \cdot 40^3}{12} = 613\,300 \text{ см}^4;$$

$$W_x = \frac{613\,300}{30} = 20\,440 \text{ см}^3;$$

$$I_y = \frac{60 \cdot 40^3}{12} - \frac{40 \cdot 20^3}{12} = 293\,300 \text{ см}^4;$$

$$W_y = \frac{293\,300}{20} = 14\,670 \text{ см}^3;$$

$$x_0 = \frac{-293\,300}{1600 \cdot (-10)} = 18,33 \text{ см};$$

$$y_0 = \frac{-613\,300}{1600 \cdot (-20)} = 19,17 \text{ см};$$

$$\begin{aligned} \sigma_C = -\frac{N}{A} + \frac{20F}{W_x} + \frac{10F}{W_y} &= \frac{-F}{1600 \cdot 10^{-4}} + \frac{20 \cdot F \cdot 10^{-2}}{20\,440 \cdot 10^{-6}} + \\ &+ \frac{10F \cdot 10^{-2}}{14\,670 \cdot 10^{-6}} = 1,4 \text{ МПа}; \end{aligned}$$

$$F = 135,3 \text{ кН};$$

$$\begin{aligned} \sigma_E = -\frac{135,3 \cdot 10^3}{1600 \cdot 10^{-4}} - \frac{20 \cdot 135,3 \cdot 10^3 \cdot 10^{-2}}{20\,440 \cdot 10^{-6}} - \\ - \frac{10 \cdot 135,3 \cdot 10^3 \cdot 10^{-2}}{14\,670 \cdot 10^{-6}} = -3,09 \text{ МПа}. \end{aligned}$$

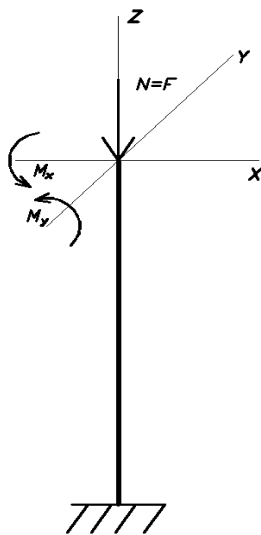
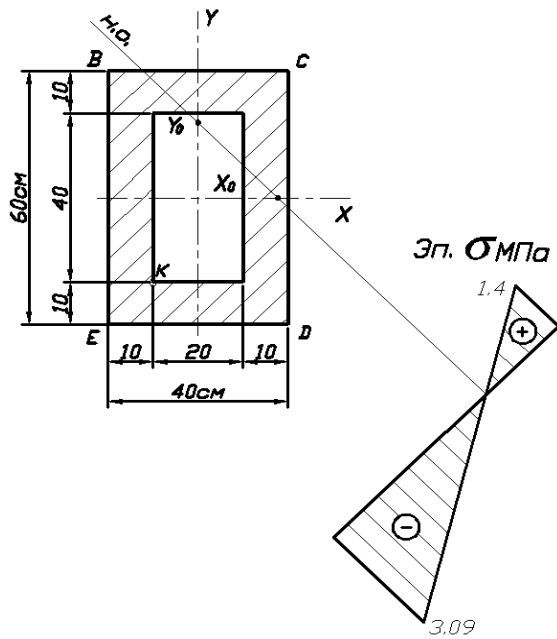


Рис. 7.14



Координаты ядра сечения

$$x_{я} = -\frac{I_y}{Ax_0};$$

$$y_{я} = -\frac{I_x}{Ay_0}.$$

Положение нулевой линии  $1-1$ :  $y_0 = 30$  см,  $x_0 = \infty$ , рис. 7.15.

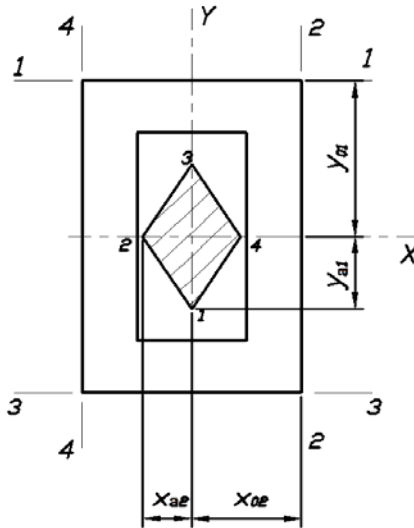


Рис. 7.15

$$x_{я1} = 0, \quad y_{я1} = -\frac{613\,300}{1600 \cdot 30} = -12,78 \text{ см.}$$

Положение нулевой линии  $2-2$ :  $x_0 = 20$  см,  $y_0 = \infty$ .

$$x_{я2} = -\frac{293\,300}{1600 \cdot 20} = -9,17 \text{ см,} \quad y_{я2} = 0.$$

Положение нулевой линии  $3-3$ :  $y_{я3} = 12,78$  см.

Положение нулевой линии  $4-4$ :  $x_{я4} = 9,17$  см.

### Задача 7.8

Определить положение точки приложения сжимающей силы  $F$ , наиболее удаленной от центра тяжести сечения (по оси  $Y$ ), при котором в сечении колонны не будет растягивающих напряжений, рис. 7.16.

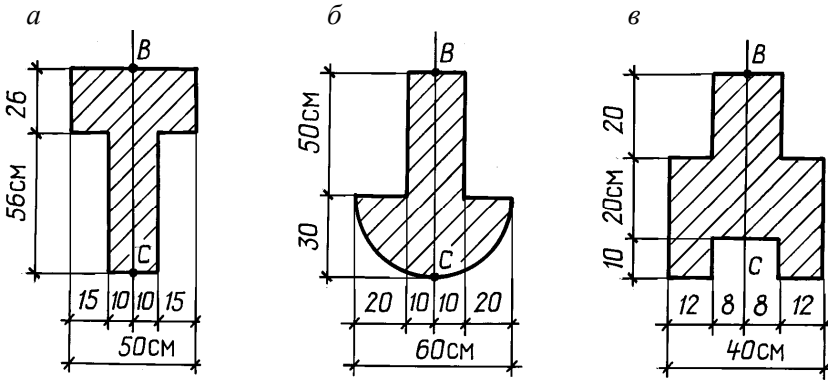


Рис. 7.16

Построить ядро сечения и эпюру нормальных напряжений.

Ответы:

- а.  $y_{\max} = -17,85$  см, вниз от нулевой оси;  $\sigma_C = -10,6F$ ,  $\sigma_B = 0$ .
- б.  $y_{\max} = 14,18$  см, вверх от нулевой оси;  $\sigma_B = -10,03F$ ,  $\sigma_C = 0$ .
- в.  $y_{\max} = 7,18$  см, вверх от нулевой оси;  $\sigma_B = -16,6F$ ,  $\sigma_C = 0$ .

#### Вариант а)

#### Решение

$$A = 50 \cdot 26 + 56 \cdot 20 = 2420 \text{ см}^2;$$

$$y_0 = \frac{50 \cdot 26 \cdot 69 + 56 \cdot 20 \cdot 28}{2420} = 50 \text{ см};$$

$$I_x = \frac{50 \cdot 26^3}{12} + 50 \cdot 26 \cdot 19^2 + \frac{20 \cdot 56^3}{12} + 56 \cdot 20 \cdot 22^2 = 1\,377\,000 \text{ см}^4;$$

$$I_y = \frac{26 \cdot 50^3}{12} + \frac{56 \cdot 20^3}{12} = 308\,100 \text{ см}^4;$$

$$i_x = \sqrt{\frac{1\,377\,000}{2420}} = 23,9 \text{ см}, \quad i_y = \sqrt{\frac{308\,100}{2420}} = 11,28 \text{ см}, \text{ рис. 7.17.}$$

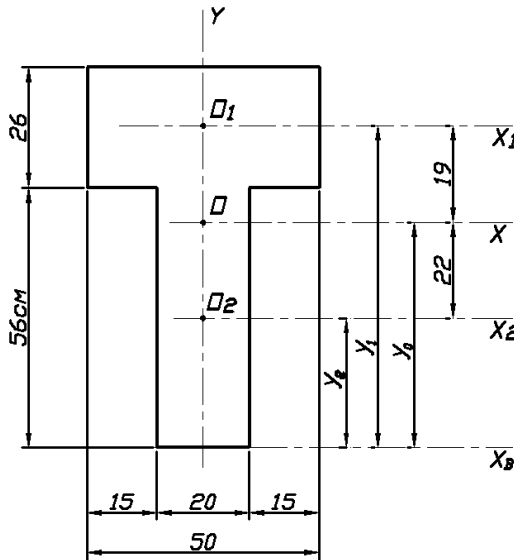


Рис. 7.17

Положение 1-1:  $y_0 = 32 \text{ см}; x_0 = \infty$ ,

откуда 
$$x_{y1} = 0, \quad y_{y1} = -\frac{23,9^2}{32} = -17,85 \text{ см.}$$

Положение 2-2:  $x_0 = 25 \text{ см}, y_0 = \infty, x_{y2} = -\frac{11,28^2}{25} = -5,09 \text{ см.}$

Положение 3-3:  $\frac{15}{56} = \frac{10}{a} \rightarrow a = 37,3 \text{ см};$

$$y_{03} = -(50 + 37,3) = -87,3 \text{ см};$$

$$\frac{x_{03}}{50 + 37,3} = \frac{15}{56} \rightarrow x_{03} = 23,4 \text{ см};$$

$$y_{\text{я3}} = -\frac{23,9^2}{-87,3} = 6,54 \text{ см}; \quad x_{\text{я3}} = -\frac{11,28^2}{23,4} = -5,44 \text{ см, рис. 7.18.}$$

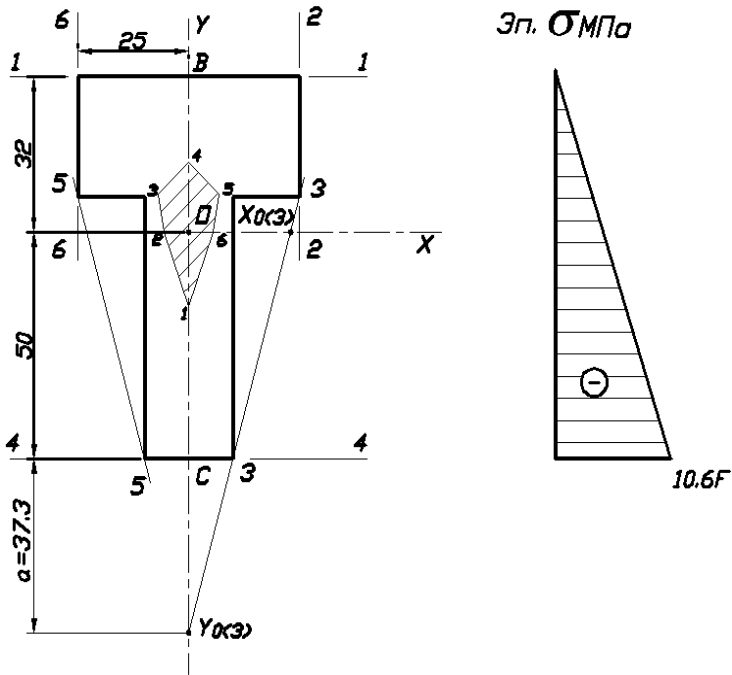


Рис. 7.18

Положение 4-4:  $y_0 = -50 \text{ см}; \quad x_0 = \infty, \quad y_{\text{я4}} = -\frac{23,9^2}{-50} = 11,42 \text{ см.}$

$$y_{\text{max}} = y_F = -17,85 \text{ см.}$$

$$\sigma_C = -\frac{F}{A} - \frac{Fy_F}{I_x} y_C = -\frac{F}{2420 \cdot 10^{-4}} - \frac{17,85 \cdot F \cdot 10^{-2}}{1377000 \cdot 10^{-8}} 50 \cdot 10^{-2} =$$

$$= -0,01058 \cdot 10^4 F = -10,6F.$$

$$\sigma_B = 0.$$

### Задача 7.9

В точках *A* и *B* колонны прямоугольного поперечного сечения, рис. 7.19, приложены одинаковые силы.

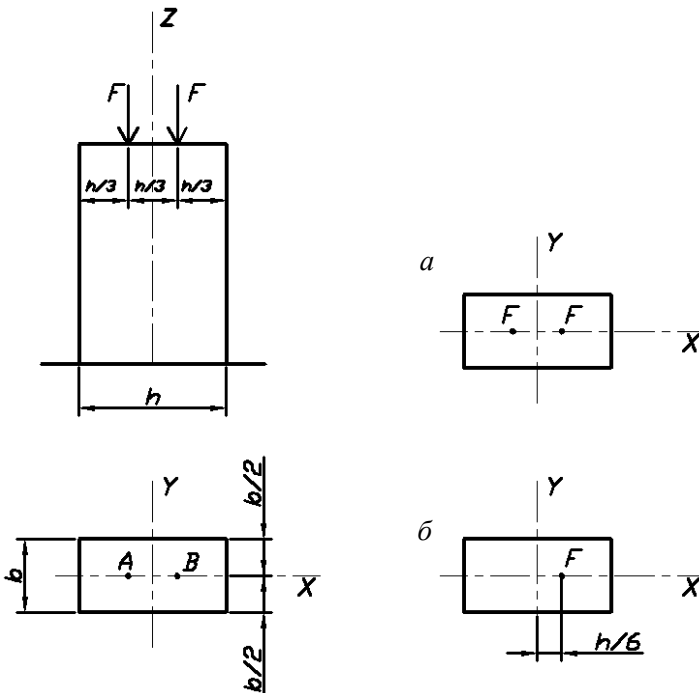


Рис. 7.19

Как изменится наибольшее сжимающее напряжение в колонне, если одну из сил удалить?

## Решение

$$\sigma_{\max} = \frac{2F}{hb},$$

$$\sigma_{\max} = \frac{F}{A} + \frac{M_y x_{\max}}{J_y} = \frac{F}{hb} + \frac{Fh}{6} \cdot \frac{12}{bh^3} \cdot \frac{h}{2} = \frac{2F}{hb}.$$

### Задача 7.10

Сопоставить напряжения в короткой колонне двутаврового сечения (а) и «усиленной» швеллером (б), приваренным к двутавру по всей длине, рис. 7.20.

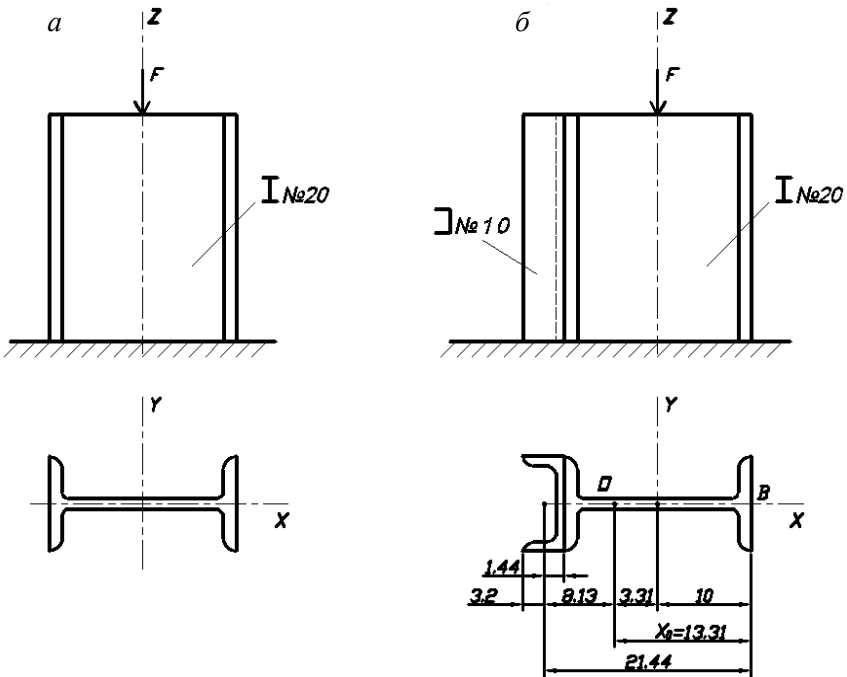


Рис. 7.20

Сжимающая сила  $F = 500$  кН приложена по продольной оси двутавра.

### Решение

Двутавр № 20:  $A = 26,8 \text{ см}^2$ ,  $J_y = 1840 \text{ см}^4$ .

Швеллер № 10:  $A = 10,9 \text{ см}^2$ ,  $J_y = 20,4 \text{ см}^4$ ,  $x_C = 1,44 \text{ см}$ .

$$A' = 26,8 + 10,9 = 37,7 \text{ см}^2;$$

$$x_0 = \frac{26,8 \cdot 10 + 10,9 (20 + 1,44)}{37,7} = 13,31 \text{ см};$$

$$I_y = 20,4 + 10,9 \cdot 8,13^2 + 1840 + 26,8 \cdot 3,31^2 = 2873 \text{ см}^4.$$

Для варианта *a*

$$\sigma_{\max} = -\frac{500 \cdot 10^3}{26,8 \cdot 10^{-4}} = -186,6 \text{ МПа}.$$

Для варианта *б*

$$\begin{aligned} \sigma_{\max} = \sigma_B &= -\frac{500 \cdot 10^3}{37,7 \cdot 10^{-4}} - \frac{500 \cdot 10^3 \cdot 3,31 \cdot 10^{-2}}{2873 \cdot 10^{-8}} 13,31 \cdot 10^{-2} = \\ &= -(13,26 + 7,67) \cdot 10^7 = -209,3 \text{ МПа}. \end{aligned}$$

Напряжения в варианте *б* увеличатся в

$$\frac{209,3}{186,6} = 1,1 \text{ раза,}$$

или на 12,2 %.

### 7.3. Изгиб с кручением

#### Задача 7.11

Определить диаметр стального консольного стержня, рис. 7.21, если  $\sigma_{adm} = 170$  МПа. Использовать 4-ю (энергетическую) теорию прочности.

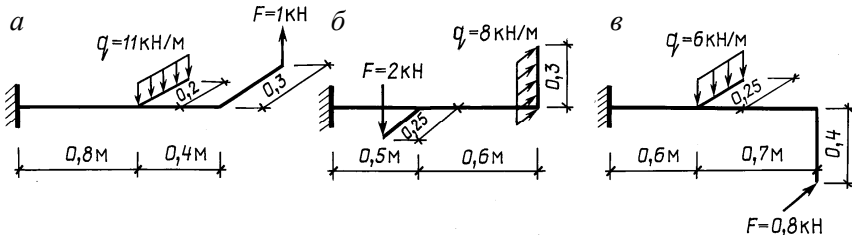


Рис. 7.21

Ответы:

a.  $d = 3,2$  см.

б.  $d = 5,5$  см.

в.  $d = 4,4$  см.

#### Вариант а)

#### Решение

Построим эпюру изгибающих моментов  $M_x$  и эпюру крутящих моментов  $T$ , рис. 7.22.

Определим приведенный момент в сечении  $A$  и  $B$ .

В сечении  $A$

$$M_{red} = \sqrt{M_x + 0,75T} = \sqrt{0,56^2 + 0,75 \cdot 0,08^2} = 0,564 \text{ кН}\cdot\text{м.}$$

В сечении  $B$

$$M_{red} = \sqrt{0,40^2 + 0,75 \cdot 0,3^2} = 0,477 \text{ кН}\cdot\text{м.}$$



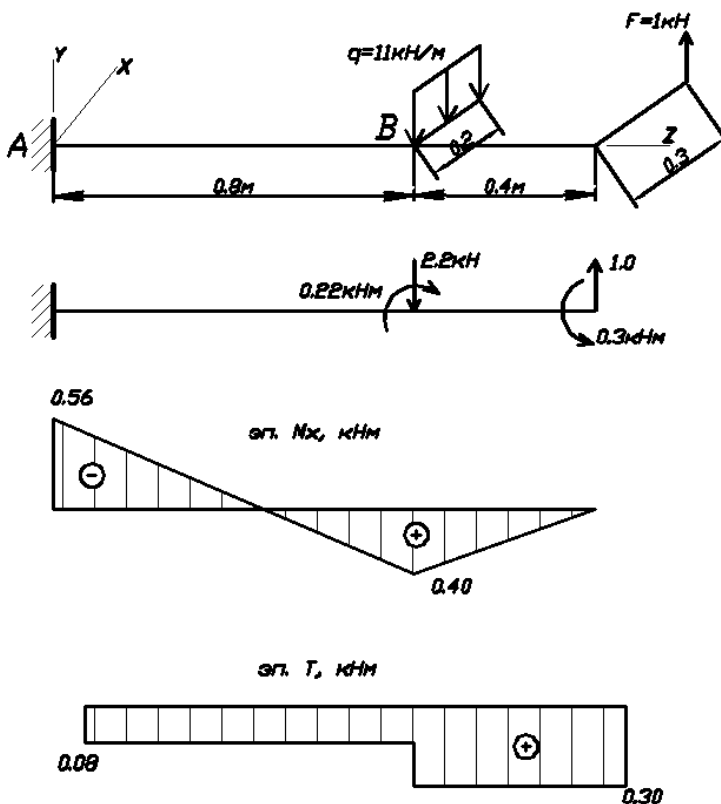


Рис. 7.22

Для большего значения приведенного момента требуемый момент сопротивления

$$W_x = \frac{0,564 \cdot 10^3}{170 \cdot 10^6} = 0,00332 \cdot 10^{-3} \text{ м}^3 = 3,32 \text{ см}^3;$$

$$d = \sqrt[3]{\frac{W_x \cdot 32}{\pi}} = \sqrt[3]{\frac{3,32 \cdot 32}{3,14}} = 3,23 \text{ см.}$$

Принимаем  $d = 3,2 \text{ см.}$

### Задача 7.12

Дорожный знак, рис. 7.23, укреплен на полый круглой стойке с наружным диаметром  $D = 80$  мм и толщиной стенки 5 мм.

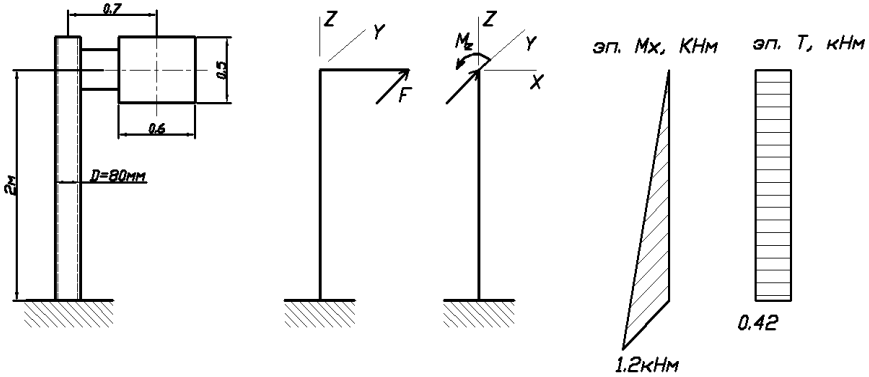


Рис. 7.23

Используя четвертую теорию прочности, определить коэффициент запаса прочности стойки при наибольшей ветровой нагрузке на плоскость знака  $q = 2$  кН/м<sup>2</sup>.

Предел текучести материала стойки  $\sigma_y = 180$  МПа.

### Решение

$$F = q \cdot 0,5 \cdot 0,6 = 2 \cdot 0,5 \cdot 0,6 = 0,6 = 0,6 \text{ кН};$$

$$M_z = F \cdot 0,7 = 0,6 \cdot 0,7 = 0,42 \text{ кН}\cdot\text{м};$$

$$M_{x, \max} = 0,6 \cdot 2 = 1,2 = 1,2 \text{ кН}\cdot\text{м};$$

$$M_{\text{ред}} = \sqrt{1,2^2 + 0,75 \cdot 0,42^2} = 1,254 \text{ кН}\cdot\text{м},$$

$$W_x = \frac{\pi D^3}{32} (1 - C^4) = \frac{3,14 \cdot 8^3}{32} \left(1 - \left(\frac{7}{8}\right)^4\right) = 20,8 \text{ см}^3,$$

где  $C = \frac{d}{D}$ .

$$\sigma_{\text{adm}} = \frac{M_{\text{red}}}{W_x} = \frac{1,254 \cdot 10^3}{20,8 \cdot 10^{-6}} = 0,0603 \cdot 10^9 \text{ Па} = 60,3 \text{ МПа};$$

$$K = \frac{\sigma_y}{\sigma_{\text{adm}}} = \frac{180}{60,3} = 2,99.$$

### Задача 7.13

Определить значение наибольшего допустимого груза  $F$ , который можно поднять при помощи ворота, рис. 7.24.

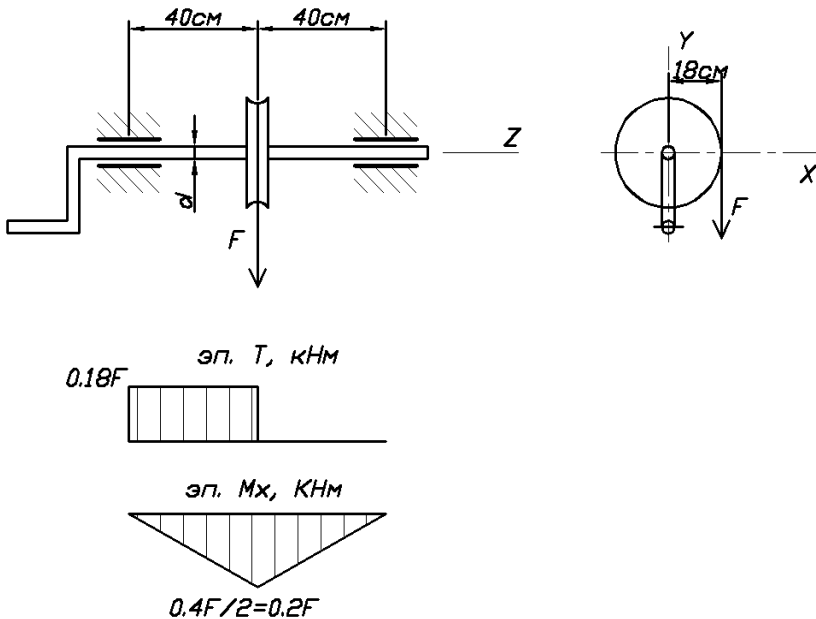


Рис. 7.24

Ворот круглого поперечного сечения диаметром  $d = 30$  мм, стальной, с расчетным сопротивлением  $R = 100$  МПа.

## Решение

$$M_{\text{red}} = \sqrt{(0,2F)^2 + 0,75(0,18F)^2} = 0,254F \text{ кН}\cdot\text{м};$$

$$W_x = \frac{\pi d^3}{32} = \frac{3,14 \cdot 3^3}{32} = 2,649 \text{ см}^3;$$

$$\sigma_{\text{max}} = \frac{M_{\text{red}}}{W_x} = R;$$

$$\sigma_{\text{max}} = \frac{0,254F}{2,649 \cdot 10^{-6}} = 0,0959F \cdot 10^6 = R.$$

$$0,0959F \cdot 10^6 = 100 \cdot 10^6;$$

$$F = 1043 \text{ Н.}$$

### 7.4. Пространственный стержень

#### Задача 7.14

Проверить прочность стальных стержней пространственной системы, рис. 7.25, если  $R = 210 \text{ МПа}$ ,  $R_s = 130 \text{ МПа}$ .

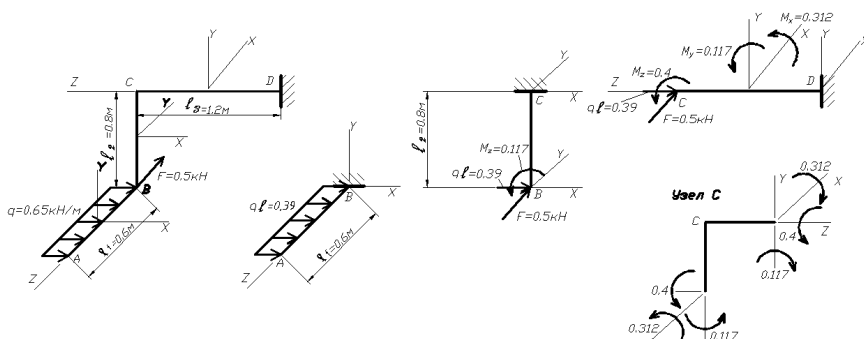


Рис. 7.25

Диаметр стержней  $d = 3,2$  см.

### Решение

$$A = \frac{3,14 \cdot 3,2^2}{4} = 8,04 \text{ см}^2;$$

$$W_x = W_y = \frac{3,14 \cdot 3,2^3}{32} = 3,22 \text{ см}^3;$$

$$W_p = \frac{3,14 \cdot 3,2^3}{16} = 6,44 \text{ см}^3.$$

Стержень  $AB$  – изгиб, рис. 7.26:

$$\sigma = \frac{M_y}{W_y} = \frac{0,117 \cdot 10^3}{3,22 \cdot 10^{-6}} = 36,3 \text{ МПа} < R.$$

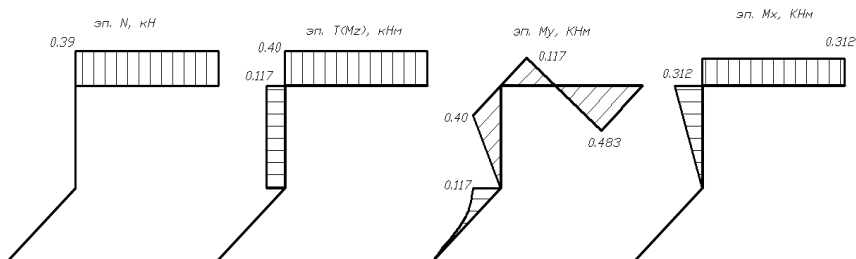


Рис. 7.26

Стержень  $BC$  – изгиб с кручением:

$$\tau_{\max} = \frac{T}{W_p} = \frac{0,117 \cdot 10^3}{6,44 \cdot 10^{-6}} = 18,2 \text{ МПа} < R_s.$$

$$M_H = \sqrt{0,312^2 + 0,40^2} = 0,507 \text{ кН}\cdot\text{м};$$

$$\sigma_{\max} = \frac{0,507 \cdot 10^3}{3,22 \cdot 10^{-6}} = 157,5 \text{ МПа};$$

$$\sigma_{\text{des}} = \sqrt{\sigma^2 + 3\tau^2} = \sqrt{157,5^2 + 3 \cdot 18,2^2} = 160,6 \text{ МПа} < R.$$

Стержень  $CD$  – сжатие, изгиб, кручение:

$$\tau_{\max} = \frac{0,4 \cdot 10^3}{6,44 \cdot 10^{-6}} = 62,1 \text{ МПа} < R_s;$$

$$\sigma_{\text{сжат}} = \frac{0,39 \cdot 10^3}{8,04 \cdot 10^{-4}} = 0,485 \text{ МПа};$$

$$M_{\text{и}} = \sqrt{0,312^2 + 0,483^2} = 0,575 \text{ кН}\cdot\text{м};$$

$$\sigma_{\text{изг}} = \frac{0,575 \cdot 10^3}{3,22 \cdot 10^{-6}} = 178,6 \text{ МПа};$$

$$\begin{aligned} \sigma_{\text{des}} &= \sqrt{(\sigma_{\text{изг}} + \sigma_{\text{сж}})^2 + 3\tau^2} = \sqrt{(178,6 + 0,485)^2 + 3 \cdot 62,1^2} = \\ &= 209 \text{ МПа} < R. \end{aligned}$$

## 8. ПРОДОЛЬНЫЙ ИЗГИБ

### Статически определимые системы

#### Задача 8.1

Стальная стойка, рис. 8.1, длиной  $l$  нагружена сжимающей силой  $F$ .

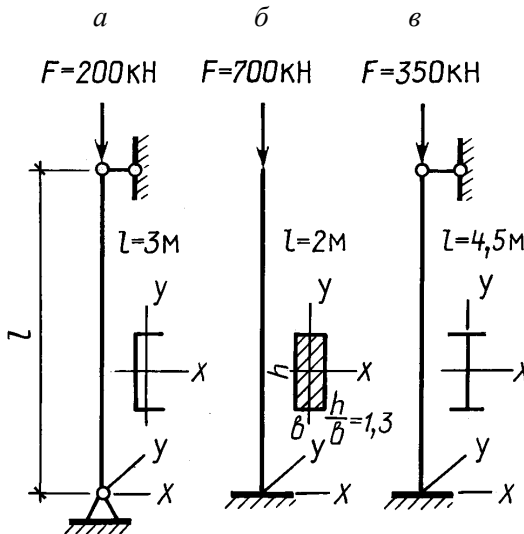


Рис. 8.1

Подобрать номер прокатного профиля (размеры поперечного сечения) и определить значение коэффициента запаса устойчивости, если  $R = 210$  МПа,  $E = 200$  ГПа.

Ответы:

а. Швеллер № 22,  $n = 1,65$ .

б.  $h = 12$  см,  $b = 9,24$  см,  $n = 1,39$ .

в. Двутавр № 27,  $n = 1,48$ .

## Вариант а)

## Р е ш е н и е

Принимаем коэффициент продольного изгиба

$$\varphi_1 = 0,5.$$

Тогда требуемая площадь поперечного сечения, рис. 8.2:

$$A = \frac{200 \cdot 10^3}{0,5 \cdot 210 \cdot 10^6} = 19,05 \text{ см}^2.$$

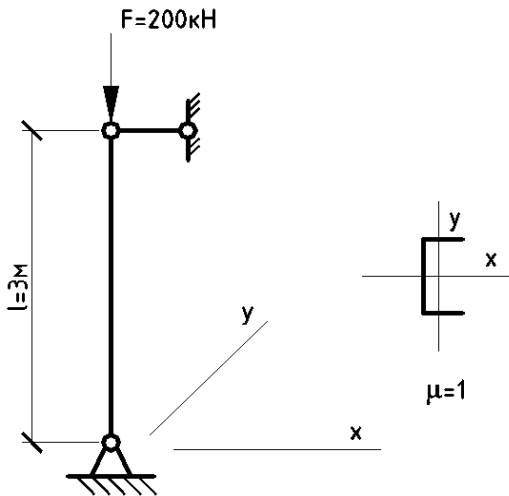


Рис. 8.2

Выбираем швеллер № 16:  $A=19,5 \text{ см}^2$ ,  $I_x = 823 \text{ см}^4$ ,  
 $I_y = 78,8 \text{ см}^4$ ,  $i_x = 6,49 \text{ см}$ ,  $i_y = 2,01 \text{ см}$ .

Гибкость стойки

$$\lambda = \frac{1 \cdot 300}{2,01} = 149,3 \rightarrow \varphi = 0,303.$$



Проверяем устойчивость:

$$\sigma = \frac{200 \cdot 10^3}{19,5 \cdot 10^{-4}} = 102,6 \text{ МПа};$$

$$\varphi R = 0,303 \cdot 210 \cdot 10^6 = 63,6 \text{ МПа.}$$

Имеет место перенапряжение, так как  $\sigma > \varphi R$ . Принимаем новое значение коэффициента:

$$\varphi_2 = \frac{0,5 + 0,303}{2} = 0,40;$$

$$A = \frac{200 \cdot 10^3}{0,40 \cdot 210 \cdot 10^6} = 23,8 \text{ см}^2;$$

[№ 20:  $A = 23,4 \text{ см}^2$ ,  $I_x = 1520 \text{ см}^4$ ,  $I_y = 113 \text{ см}^4$ ,  $i_x = 8,07 \text{ см}$ ,  
 $i_y = 2,2 \text{ см}$ ,

$$\lambda = \frac{1 \cdot 300}{2,2} = 136,4 \rightarrow \varphi = 0,36;$$

$$\sigma = \frac{200 \cdot 10^6}{23,8 \cdot 10^{-4}} = 84,0 \text{ МПа};$$

$\varphi R = 0,36 \cdot 210 = 75,6 \text{ МПа}$  – перенапряжение 11 %.

$$\varphi_3 = 0,38;$$

$$A = 25,1 \text{ см}^2;$$

[№ 22:  $A = 26,7 \text{ см}^2$ ,  $I_y = 151 \text{ см}^4$ ,  $i_y = 2,37 \text{ см}$ ;

$$\lambda = \frac{1 \cdot 300}{2,37} = 126,6 \rightarrow \varphi = 0,41;$$

$$\sigma = 74,9 \text{ МПа};$$

$$\varphi R = 0,41 \cdot 210 = 86,1 \text{ МПа} - \text{недонапряжение } 13,0 \%$$

Окончательно принимаем швеллер № 22.

$$F_{cr} = \frac{3,14 \cdot 200 \cdot 10^9 \cdot 151 \cdot 10^{-8}}{(1 \cdot 3)^2} = 330,8 \text{ кН};$$

$$n = \frac{F_{cr}}{F} = \frac{330,8}{200} = 1,65.$$

### Задача 8.2

Стальная стойка центрально нагружена сжимающей силой  $F$ . Способы закрепления концов стойки в главных плоскостях сечения различны (рис. 8.3).

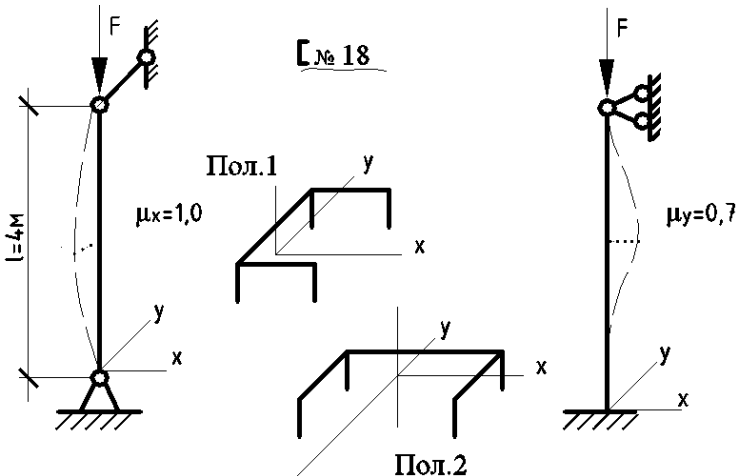


Рис. 8.3

Расположив сечение стойки рационально по отношению к осям  $OX$ ,  $OY$ , определить наибольшую допустимую нагрузку  $F$  и коэффициент запаса устойчивости, если  $R = 210$  МПа.

### Вариант а)

### Решение

Положение 1, см. рис. 8.3:

$$A = 20,7 \text{ см}^2, \quad I_x = 1090 \text{ см}^4, \quad I_y = 86 \text{ см}^4,$$

$$i_x = 7,24 \text{ см}, \quad i_y = 2,04 \text{ см}.$$

$$\lambda_x = \frac{1 \cdot 400}{7,24} = 55,2; \quad \lambda_y = \frac{0,7 \cdot 400}{2,04} = 137,3;$$

$$\lambda'_{\max} = \lambda_y = 137,3.$$

Положение 2:

$$A = 20,7 \text{ см}^2, \quad I_x = 86 \text{ см}^4, \quad I_y = 1090 \text{ см}^4, \quad i_x = 2,04 \text{ см},$$

$$i_y = 7,24 \text{ см}.$$

$$\lambda_x = \frac{1 \cdot 400}{2,04} = 196, \quad \lambda_y = \frac{0,7 \cdot 400}{7,24} = 38,7;$$

$$\lambda''_{\max} = 196.$$

Принимаем положение 1, так как  $\lambda'_{\max} < \lambda''_{\max}$ .

При  $\lambda = 137,3$  и  $\varphi = 0,36$ :

$$F_{\text{adm}} = A\varphi R = 20,7 \cdot 10^{-4} \cdot 0,36 \cdot 210 \cdot 10^6 = 156,5 \text{ кН};$$

$$F_{\text{cr}} = \frac{3,14^2 \cdot 200 \cdot 10^9 \cdot 86 \cdot 10^{-8}}{(0,7 \cdot 4)^2} = 216,3 \text{ кН};$$

$$n = \frac{216,3}{156,5} = 1,38;$$

$$\sigma_{\text{max}} = \frac{F}{A} = \frac{156,5 \cdot 10^6}{20,7 \cdot 10^{-4}} = 75,6 \text{ МПа}.$$

### **Вариант б)**

### **Р е ш е н и е**

Положение  $I$ , рис. 8.4:

$$A = 5 \cdot 10 = 50 \text{ см}^2;$$

$$I_x = \frac{5 \cdot 10^3}{12} = 416,7 \text{ см}^4;$$

$$I_y = \frac{10 \cdot 5^3}{12} = 104,2 \text{ см}^4;$$

$$i_x = 2,89 \text{ см},$$

$$i_y = 1,44 \text{ см}.$$

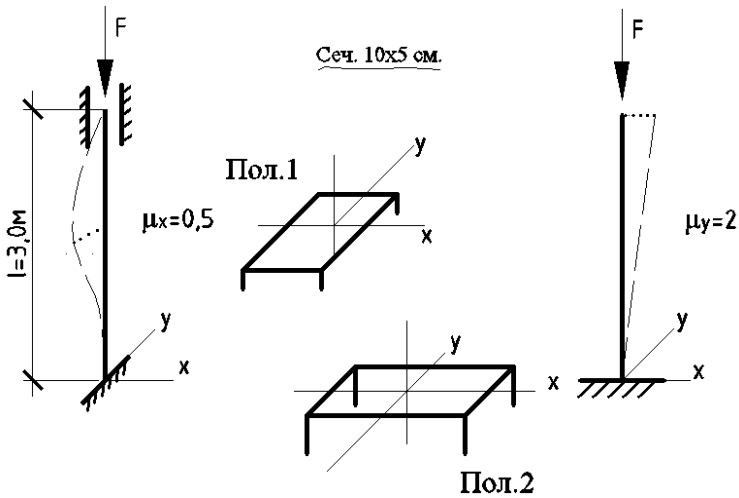


Рис. 8.4

$$\lambda_x = \frac{0,5 \cdot 300}{2,89} = 51,9; \quad \lambda_y = \frac{2 \cdot 300}{1,44} = 416,7;$$

$$\lambda'_{\max} = \lambda_y = 416,7.$$

Положение 2:

$$A = 50 \text{ см}^2, \quad I_x = 104,2 \text{ см}^4, \quad I_y = 416,7 \text{ см}^4,$$

$$i_x = 1,44 \text{ см}, \quad i_y = 2,89 \text{ см};$$

$$\lambda_x = \frac{0,5 \cdot 300}{1,44} = 104,2; \quad \lambda_y = \frac{2 \cdot 300}{2,89} = 207,6,$$

$$\lambda''_{\max} = 207,6.$$

Принимаем положение 2, так как  $\lambda'_{\max} > \lambda''_{\max}$ .

При  $\lambda = 207,6$  и  $\varphi = 0,17$

$$F_{\text{adm}} = A\varphi R = 50 \cdot 10^{-4} \cdot 0,17 \cdot 210 \cdot 10^6 = 178,5 \text{ кН};$$

$$F_{\text{cr}} = \frac{3,14^2 \cdot 200 \cdot 10^9 \cdot 104,2 \cdot 10^{-8}}{(0,5 \cdot 3)^2} = 913 \text{ кН};$$

$$n = \frac{913}{178,5} = 5,11;$$

$$\sigma_{\text{max}} = \frac{F}{A} = \frac{178,5 \cdot 10^6}{50 \cdot 10^{-4}} = 35,7 \text{ МПа}.$$

### Задача 8.3

Жесткая балка, рис. 8.5, поддерживается стальными стержнями круглого поперечного сечения диаметром  $d$ .

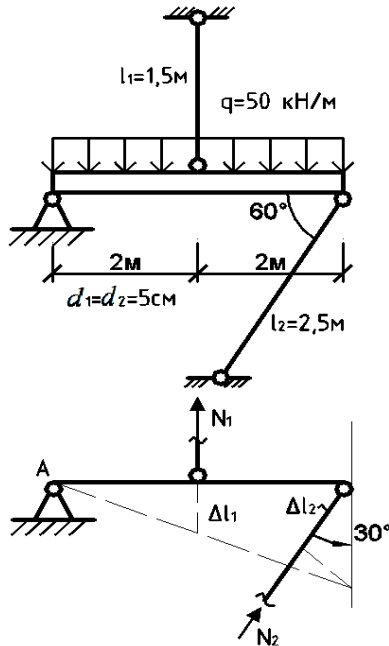


Рис. 8.5

Проверить прочность и устойчивость стержней, если  $R = 210$  МПа.

**Вариант а)**

**Р е ш е н и е**

$$I_x = \frac{\pi d^4}{64} = \frac{3,14 \cdot 5^4}{64} = 30,7 \text{ см}^4;$$

$$A_1 = A_2 = \frac{3,14 \cdot 5^2}{4} = 19,63 \text{ см}^2.$$

Определяем продольные силы в стержнях:

$$\sum M_A = -N_1 \cdot 2 - N_2 \cos 30^\circ \cdot 4 + q \cdot 4 \cdot 2 = 0;$$

$$\sum M_B = -N_1 \cdot 2 - N_2 \cdot 0,866 \cdot 4 + 50 \cdot 4 \cdot 2 = 0;$$

$$N_1 + 1,732N_2 = 200;$$

$$N_1 = 200 - 1,732N_2. \quad (8.1)$$

Составим дополнительное уравнение совместности перемещений:

$$\frac{\Delta l_1}{2} = \frac{\Delta l_2}{\cos 30^\circ \cdot 4};$$

$$\frac{\Delta l_1}{2} = \frac{\Delta l_2}{0,866 \cdot 4};$$

$$\frac{N_1 l_1}{EA \cdot 2} = \frac{N_2 l_2}{EA \cdot 3,46};$$

$$\frac{N_1 \cdot 1,5}{2} = \frac{N_2 \cdot 2,5}{3,46};$$

$$N_1 = 0,963N_2. \quad (8.2)$$

Решая совместно уравнения (8.1) и (8.2), найдем

$$N_1 = 71,4 \text{ кН};$$

$$N_2 = 74,25 \text{ кН}.$$

Проверяем прочность:

$$\sigma_1 = \frac{71,4 \cdot 10^3}{19,63 \cdot 10^{-4}} = 36,37 \text{ МПа} < R;$$

$$\sigma_2 = \frac{74,25 \cdot 10^3}{19,63 \cdot 10^{-4}} = 37,82 \text{ МПа} < R.$$

Прочность обеспечена.

Расчет на устойчивость второго стержня ( $\mu = 1$ ):

$$i_x = i_y = \sqrt{\frac{I_x}{A}} = \sqrt{\frac{30,7}{19,63}} = 1,25 \text{ см};$$

$$\lambda = \frac{\mu l}{i};$$

$$\lambda = \frac{1 \cdot 250}{1,25} = 200;$$

$$\varphi = 0,176;$$

$$\sigma_2 = \frac{74,25 \cdot 10^3}{19,63 \cdot 10^{-4}} = 37,82 \text{ МПа} > \varphi R = 0,176 \cdot 210 = 36,96 \text{ МПа}.$$

Из условия устойчивости напряжение в стержне 2 превышает допустимое на 2,3 %, что допустимо.



**Вариант б)**

$$d_1 = d_2 = 4,6 \text{ см};$$

$$A = \frac{3,14 \cdot 4,6^2}{4} = 16,61 \text{ см}^2;$$

$$I_x = \frac{\pi d^4}{64} = \frac{3,14 \cdot 4,6^4}{64} = 21,97 \text{ см}^4.$$

Из рис. 8.6

$$\sum M_A = 0:$$

$$-N_1 \sin 30^\circ \cdot 3 - N_2 \cdot 6 + F \cdot 3 = 0,$$

$$-N_1 \cdot 0,5 \cdot 3 - N_2 \cdot 6 + 130 \cdot 3 = 0,$$

$$N_1 + 4N_2 = 260. \quad (8.3)$$

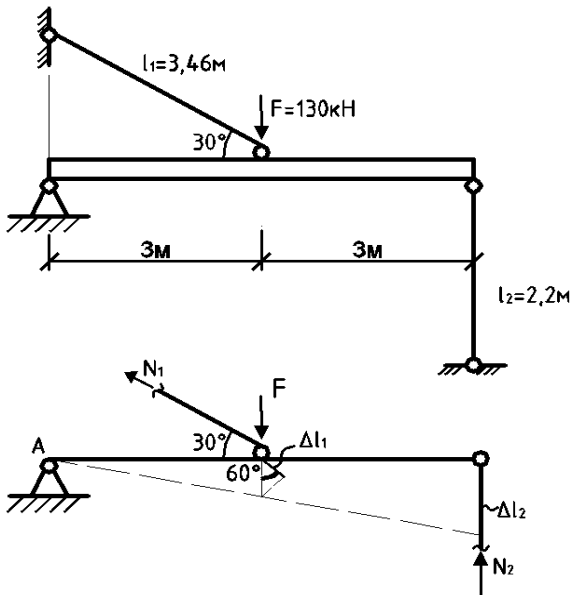


Рис. 8.6

Составим дополнительное уравнение:

$$\frac{\Delta l_1}{\sin 30^\circ \cdot 3} = \frac{\Delta l_2}{6};$$
$$\frac{\Delta l_1}{0,5 \cdot 3} = \frac{\Delta l_2}{6} \rightarrow \Delta l_1 = 0,25 \Delta l_2,$$

$$\frac{N_1 l_1}{EA} = 0,25 \frac{N_2 l_2}{EA};$$

$$N_1 \cdot 3,46 = 0,25 N_2 \cdot 2,2;$$

$$N_1 = 0,159 N_2. \quad (8.4)$$

Решая совместно уравнения (8.3) и (8.4), получим

$$N_1 = 9,94 \text{ кН}; \quad N_2 = 62,52 \text{ кН}.$$

Проверим прочность:

$$\sigma_1 = \frac{9,94 \cdot 10^3}{16,61 \cdot 10^{-4}} = 5,98 \text{ МПа} < R = 210 \text{ МПа};$$

$$\sigma_2 = \frac{62,52 \cdot 10^3}{16,61 \cdot 10^{-4}} = 37,64 \text{ МПа} < R = 210 \text{ МПа}.$$

Расчет на устойчивость второго стержня:

$$i = \sqrt{\frac{I_x}{A}} = \sqrt{\frac{21,97}{16,61}} = 1,15 \text{ см};$$

$$\lambda = \frac{\mu l}{i} = \frac{1 \cdot 220}{1,15} = 191,3, \quad \varphi = 0,207;$$

$$\sigma_2 = 37,64 \text{ МПа} < \varphi R = 0,207 \cdot 210 = 43,47 \text{ МПа}.$$

Устойчивость обеспечена.

### Задача 8.4

Жесткая балка, рис. 8.7, укреплена на шарнирно-неподвижной опоре  $A$  и двух стальных стержнях длиной 2,2 м, выполненных из равнополочных уголков  $70 \times 70 \times 7$  мм.

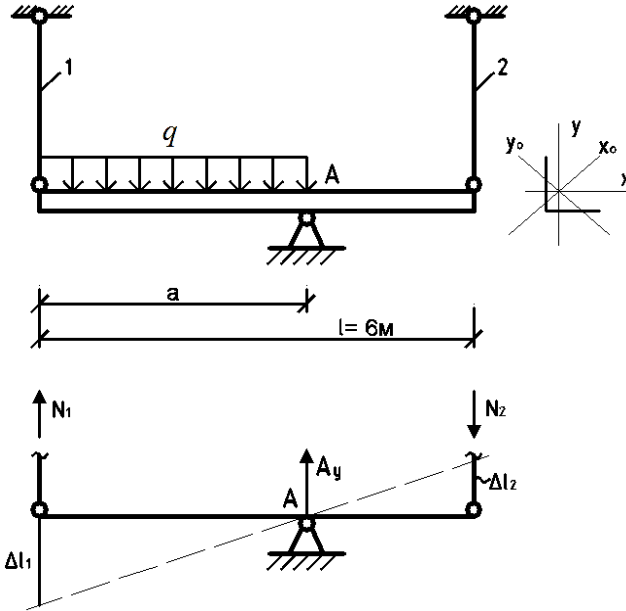


Рис. 8.7

Определить расстояние  $a$ , при котором в стержнях будут максимально допустимые внутренние силы, если  $R = 210$  МПа. Какова при этом будет нагрузка  $q$ ?

### Решение

Для уголка  $70 \times 70 \times 7$

$$A = 9,42 \text{ см}^2, \quad I_x = I_y = 42,98 \text{ см}^4, \quad I_{x_0} = 68,19 \text{ см}^4;$$

$$I_{\min} = I_{y_0} = 17,77 \text{ см}^4; \quad i_{\min} = i_{y_0} = 1,37 \text{ см}.$$

Определим допускаемые усилия в стержнях.

В 1-м, растянутом, из условия прочности на растяжение

$$N_{1 \max} = AR = 9,42 \cdot 210 \cdot 10^{-4} \cdot 10^6 = 197,8 \text{ кН.}$$

Во 2-м, сжатом, из условия устойчивости

$$\lambda = \frac{\mu l}{i_{\min}} = \frac{1 \cdot 220}{1,37} = 160,6 \rightarrow \varphi = 0,265,$$

$$N_{2 \max} = 9,42 \cdot 10^{-4} \cdot 0,265 \cdot 210 \cdot 10^6 = 52,4 \text{ кН.}$$

Дополнительное уравнение деформации

$$\frac{\Delta l_1}{a} = \frac{\Delta l_2}{l-a};$$

$$N_1 = N_2 \frac{a}{6-a};$$

$$197,8 = 52,4 \frac{a}{6-a} \rightarrow a = 4,74 \text{ м.}$$

$$\sum M_A = 0: \quad N_1 a + N_2 (l-a) - q \frac{a^2}{2} = 0;$$

$$197,8 \cdot 4,74 + 52,4(6 - 4,74) - q \frac{4,74^2}{2} = 0;$$

$$q = 89,4 \text{ кН/м.}$$

### Задача 8.5

Какое из приведенных сечений, рис. 8.8, центрально-сжатой стойки, имеющих одинаковую площадь сечения  $A = 23,4 \text{ см}^2$  (для равнополочного уголка  $A = 22,8 \text{ см}^2$ ), обладает наибольшей и наименьшей

несущей способностью и каково соотношение допустимых нагрузок при  $l = 1 \text{ м}$ ,  $\mu = 1,0$ ?

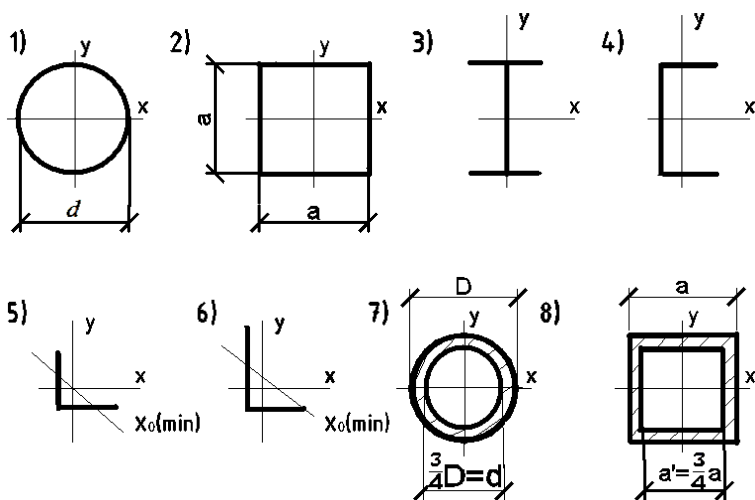


Рис. 8.8

### Решение

1) Для круглого сечения:

$$A = \frac{\pi d^2}{4} = 23,4 \text{ см}^2;$$

$$d = \sqrt{\frac{23,4 \cdot 4}{3,14}} = 5,46 \text{ см};$$

$$I_x = I_y = I_{\min} = \frac{\pi d^4}{64} = \frac{3,14 \cdot 5,46^4}{64} = 43,6 \text{ см}^4;$$

$$i_{\min} = \sqrt{\frac{43,6}{23,4}} = 1,365 \text{ см};$$

$$\lambda = \frac{1 \cdot 100}{1,365} = 73,3 \text{ см};$$

$$\varphi = 0,748;$$

$$F_{\text{adm}} = 23,4 \cdot 10^{-4} \cdot 0,748 \cdot 210 \cdot 10^6 = 367,6 \text{ кН.}$$

2) Для квадратного сечения:

$$A = a^2 = 23,4 \text{ см}^2, \quad a = 4,84 \text{ см};$$

$$I_x = I_y = I_{\text{min}} = \frac{4,84^4}{12} = 45,7 \text{ см}^4;$$

$$i_{\text{min}} = \sqrt{\frac{45,7}{23,4}} = 1,397 \text{ см};$$

$$\lambda = 71,6;$$

$$\varphi = 0,759;$$

$$F_{\text{adm}} = A\varphi R = 23,4 \cdot 10^{-4} \cdot 210 \cdot 10^6 \cdot 0,759 = 372,97 \text{ кН.}$$

3) Для двутавра № 18:

$$A = 23,4 \text{ см}^2, \quad I_y = I_{\text{min}} = 82,6 \text{ см}^4;$$

$$i_{\text{min}} = \sqrt{\frac{82,6}{23,4}} = 1,88 \text{ см};$$

$$\lambda = 53,2;$$

$$\varphi = 0,845;$$

$$F_{\text{adm}} = A\varphi R = 23,4 \cdot 0,845 \cdot 210 \cdot 10^6 \cdot 10^{-4} = 415,2 \text{ кН.}$$

4) Для швеллера № 20:

$$A = 23,4 \text{ см}^2, \quad I_y = I_{\min} = 113 \text{ см}^4;$$

$$i_{\min} = \sqrt{\frac{113}{23,4}} = 2,2 \text{ см};$$

$$\lambda = 45,5;$$

$$\varphi = 0,879;$$

$$F_{\text{adm}} = A\varphi R = 23,4 \cdot 10^{-4} \cdot 0,879 \cdot 210 \cdot 10^6 = 431,9 \text{ кН}.$$

5) Для равнополочного уголка № 100 × 100 × 12:

$$A = 22,8 \text{ см}^2, \quad I_{\min} = 86,9 \text{ см}^4;$$

$$i_{\min} = \sqrt{\frac{86,9}{22,8}} = 1,95 \text{ см};$$

$$\lambda = 51,2;$$

$$\varphi = 0,85;$$

$$F_{\text{adm}} = 407 \text{ кН}.$$

6) Для неравнополочного уголка № 125 × 80 × 12:

$$A = 23,4 \text{ см}^2, \quad I_{\min} = 69,5 \text{ см}^4, \quad i_{\min} = \sqrt{\frac{69,5}{23,4}} = 1,723 \text{ см},$$

$$\lambda = 58,04;$$

$$\varphi = 0,825;$$

$$F_{\text{adm}} = 405,4 \text{ кН}.$$

7) Для трубчатого сечения:

$$A = \frac{\pi D^2}{4} - \frac{\pi d^2}{4} = \frac{\pi}{4} \left[ D^2 - \left( \frac{3}{4} D \right)^2 \right] = \frac{3,14}{4} \cdot 0,437 D^2 = \\ = 0,343 D^2 = 23,4 \text{ см}^2;$$

$$D = \sqrt{\frac{23,4}{0,343}} = 8,26 \text{ см};$$

$$d = \frac{3}{4} \cdot 8,26 = 6,195 \text{ см};$$

$$I_x = I_y = I_{\min} = \frac{\pi}{64} (D^4 - d^4) = \frac{3,14}{64} (8,26^4 - 6,195^4) = 156,2 \text{ см}^4;$$

$$i_{\min} = \sqrt{\frac{156,2}{23,4}} = 2,584 \text{ см};$$

$$\lambda = 38,77, \quad \varphi = 0,905;$$

$$F_{\text{adm}} = 444,7 \text{ кН}.$$

6) Для коробчатого сечения:

$$a' = 0,75a;$$

$$A = a^2 - (a')^2 = a^2 - (0,75a)^2 = 0,4375a^2 = 23,4 \text{ см}^2;$$

$$a = \sqrt{\frac{23,4}{0,437}} = 7,318 \text{ см}, \quad a' = 5,485 \text{ см};$$

$$I_x = I_y = I_{\min} = \frac{7,318^4}{12} - \frac{5,485^4}{12} = 163,4 \text{ см}^4;$$



$$i_{\min} = \sqrt{\frac{163,4}{23,4}} = 2,643;$$

$$\lambda = \frac{1 \cdot 100}{2,643} = 37,8;$$

$$\varphi = 0,909,$$

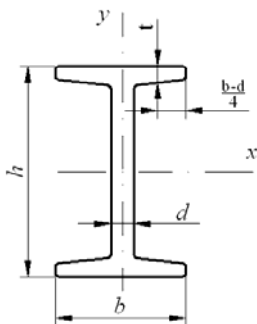
$$F_{\text{adm}} = A\varphi R = 23,4 \cdot 10^{-4} \cdot 0,909 \cdot 210 \cdot 10^6 = 446,7 \text{ кН.}$$

Наибольшую несущую способность имеет квадратное коробчатое сечение ( $F_{\text{adm}} = 446,7 \text{ кН}$ ), наименьшую – круглое сплошное ( $F_{\text{adm}} = 367,6 \text{ кН}$ ), т. е. на 17,7 % меньше.

Трубчатое сечение практически равноценно квадратному коробчатому.

**ПРИЛОЖЕНИЯ  
ПРИЛОЖЕНИЕ 1**

**Сталь горячекатаная. Балки двутавровые  
(по ГОСТ 8239–89\*)**

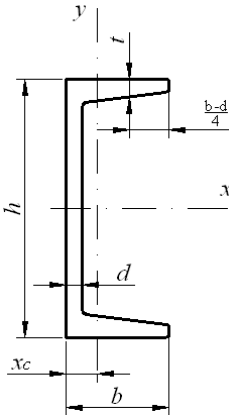


$I$  – момент инерции;  
 $W$  – момент сопротивления;  
 $S$  – статический момент площади  
 полусечения;  
 $i$  – радиус инерции

| Номер профиля | Размеры, мм |     |     |      | Площадь сечения $A$ , см <sup>2</sup> | Линейная плотность $\rho$ , кг/м | Геометрические характеристики относительно осей |                             |                |                             |                             |                             |                |
|---------------|-------------|-----|-----|------|---------------------------------------|----------------------------------|---|-----------------------------|----------------|-----------------------------|-----------------------------|-----------------------------|----------------|
|               | $h$         | $b$ | $d$ | $t$  |                                       |                                  | $x$   |                             |                | $y$                         |                             |                             |                |
|               |             |     |     |      |                                       |                                  | $I_{x_2}$ , см <sup>4</sup>                     | $W_{x_2}$ , см <sup>3</sup> | $i_{x_2}$ , см | $S_{x_2}$ , см <sup>3</sup> | $I_{y_2}$ , см <sup>4</sup> | $W_{y_2}$ , см <sup>3</sup> | $i_{y_2}$ , см |
| 10            | 100         | 55  | 4,5 | 7,2  | 12,0                                  | 9,46                             | 198   | 39,7                        | 4,06           | 23                          | 17,9                        | 6,49                        | 1,22           |
| 12            | 120         | 64  | 4,8 | 7,3  | 14,7                                  | 11,5                             | 350   | 58,4                        | 4,88           | 33,7                        | 27,9                        | 8,72                        | 1,38           |
| 14            | 140         | 73  | 4,9 | 7,5  | 17,4                                  | 13,7                             | 572   | 81,7                        | 5,73           | 46,8                        | 41,9                        | 11,5                        | 1,55           |
| 16            | 160         | 81  | 5   | 7,8  | 20,2                                  | 15,9                             | 873   | 109                         | 6,57           | 62,3                        | 58,6                        | 14,5                        | 1,7            |
| 18            | 180         | 90  | 5,1 | 8,1  | 23,4                                  | 18,4                             | 1290  | 143                         | 7,42           | 81,4                        | 82,6                        | 18,4                        | 1,88           |
| 20            | 200         | 100 | 5,2 | 8,4  | 26,8                                  | 21                               | 1840  | 184                         | 8,28           | 104                         | 115                         | 23,1                        | 2,07           |
| 22            | 220         | 110 | 5,4 | 8,7  | 30,6                                  | 24                               | 2550  | 232                         | 9,13           | 131                         | 157                         | 28,6                        | 2,27           |
| 24            | 240         | 115 | 5,6 | 9,5  | 34,8                                  | 27,3                             | 3460  | 289                         | 9,97           | 163                         | 198                         | 34,5                        | 2,37           |
| 27            | 270         | 125 | 6   | 9,8  | 40,2                                  | 31,5                             | 5010  | 371                         | 11,2           | 210                         | 260                         | 41,5                        | 2,54           |
| 30            | 300         | 135 | 6,5 | 10,2 | 46,5                                  | 36,5                             | 7080  | 472                         | 12,3           | 268                         | 337                         | 49,9                        | 2,69           |
| 33            | 330         | 140 | 7   | 11,2 | 53,8                                  | 42,2                             | 9840  | 597                         | 13,5           | 339                         | 419                         | 59,9                        | 2,79           |
| 36            | 360         | 145 | 7,5 | 12,3 | 61,9                                  | 48,6                             | 13380   | 743                         | 14,7           | 423                         | 516                         | 71,1                        | 2,89           |
| 40            | 400         | 155 | 8,3 | 13   | 72,6                                  | 57                               | 19062   | 953                         | 16,2           | 545                         | 667                         | 86                          | 3,03           |
| 45            | 450         | 160 | 9   | 14,2 | 84,7                                  | 66,5                             | 27696   | 1231                        | 18,1           | 708                         | 808                         | 101                         | 3,09           |
| 50            | 500         | 170 | 10  | 15,2 | 100                                   | 78,5                             | 39727   | 1589                        | 19,9           | 919                         | 1043                        | 123                         | 3,23           |
| 55            | 550         | 180 | 11  | 16,5 | 118                                   | 92,6                             | 55962   | 2035                        | 21,8           | 1181                        | 1356                        | 151                         | 3,39           |
| 60            | 600         | 190 | 12  | 17,8 | 138                                   | 108                              | 76806   | 2560                        | 23,6           | 1491                        | 1725                        | 182                         | 3,54           |

## ПРИЛОЖЕНИЕ 2

### Сталь горячекатаная. Швеллеры (по ГОСТ 8240–89)

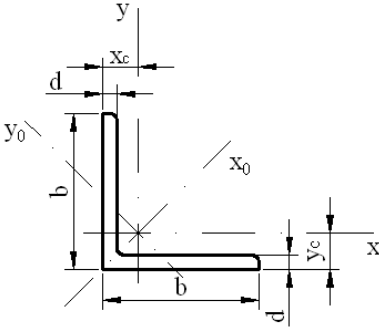


$I$  – момент инерции;  
 $W$  – момент сопротивления;  
 $S$  – статический момент площади  
 полусечения;  
 $i$  – радиус инерции

| Номер профиля | Размеры, мм |     |     |      | Площадь сечения $A$ , см <sup>2</sup> | Линейная плотность $\rho$ , кг/м | Геометрические характеристики относительно осей |                             |                |                             |                             |                             |                | $x_c$ , см |
|---------------|-------------|-----|-----|------|---------------------------------------|----------------------------------|---|-----------------------------|----------------|-----------------------------|-----------------------------|-----------------------------|----------------|------------|
|               | $h$         | $b$ | $d$ | $t$  |                                       |                                  | $x$   |                             |                |                             | $y$                         |                             |                |            |
|               |             |     |     |      |                                       |                                  | $I_{x_4}$ , см <sup>4</sup>                     | $W_{x_3}$ , см <sup>3</sup> | $i_{x_3}$ , см | $S_{x_3}$ , см <sup>3</sup> | $I_{y_4}$ , см <sup>4</sup> | $W_{y_3}$ , см <sup>3</sup> | $i_{y_3}$ , см |            |
| 5             | 50          | 32  | 4,4 | 7    | 6,16                                  | 4,84                             | 22,8  | 9,1                         | 1,92           | 5,59                        | 5,6                         | 2,75                        | 0,95           | 1,16       |
| 6,5           | 65          | 36  | 4,4 | 7,2  | 7,51                                  | 5,9                              | 48,6  | 15                          | 2,54           | 9                           | 8,7                         | 3,68                        | 1,08           | 1,24       |
| 8             | 80          | 40  | 4,5 | 7,4  | 8,98                                  | 7,05                             | 89,4  | 22,4                        | 3,16           | 23,3                        | 12,8                        | 4,75                        | 1,19           | 1,31       |
| 10            | 100         | 46  | 4,5 | 7,6  | 10,9                                  | 8,59                             | 174   | 34,8                        | 3,99           | 20,4                        | 20,4                        | 6,46                        | 1,37           | 1,44       |
| 12            | 120         | 52  | 4,8 | 7,8  | 13,3                                  | 10,4                             | 304   | 50,6                        | 4,78           | 29,6                        | 31,2                        | 8,52                        | 1,53           | 1,54       |
| 14            | 140         | 58  | 4,9 | 8,1  | 15,6                                  | 12,3                             | 491   | 70,2                        | 5,6            | 40,8                        | 45,4                        | 11                          | 1,7            | 1,67       |
| 16            | 160         | 64  | 5   | 8,4  | 18,1                                  | 14,2                             | 747   | 93,4                        | 6,42           | 54,1                        | 63,3                        | 13,8                        | 1,87           | 1,8        |
| 16a           | 160         | 68  | 5   | 9    | 19,5                                  | 15,3                             | 823   | 103                         | 6,49           | 59,4                        | 78,8                        | 16,4                        | 2,01           | 2          |
| 18            | 180         | 70  | 5,1 | 8,7  | 20,7                                  | 16,3                             | 1090  | 121                         | 7,24           | 69,8                        | 86                          | 17                          | 2,04           | 1,94       |
| 18a           | 180         | 74  | 5,1 | 9,3  | 22,2                                  | 17,4                             | 1190  | 132                         | 7,32           | 76,1                        | 105                         | 20                          | 2,18           | 2,13       |
| 20            | 200         | 76  | 5,2 | 9    | 23,4                                  | 18,4                             | 1520  | 152                         | 8,07           | 87,8                        | 113                         | 20,5                        | 2,2            | 2,07       |
| 22            | 220         | 82  | 5,4 | 9,5  | 26,7                                  | 21                               | 2110  | 192                         | 8,89           | 110                         | 151                         | 25,1                        | 2,37           | 2,21       |
| 24            | 240         | 90  | 5,6 | 10   | 30,6                                  | 24                               | 2900  | 242                         | 9,73           | 139                         | 208                         | 31,6                        | 2,6            | 2,42       |
| 27            | 270         | 95  | 6   | 10,5 | 35,2                                  | 27,7                             | 4160  | 308                         | 10,9           | 178                         | 262                         | 37,3                        | 2,73           | 2,47       |
| 30            | 300         | 100 | 6,5 | 11   | 40,5                                  | 31,8                             | 5810  | 387                         | 12             | 224                         | 327                         | 43,6                        | 2,84           | 2,52       |
| 33            | 330         | 105 | 7   | 11,7 | 46,5                                  | 36,5                             | 7980  | 484                         | 13,1           | 281                         | 410                         | 51,8                        | 2,97           | 2,59       |
| 36            | 360         | 110 | 7,5 | 12,6 | 53,4                                  | 41,9                             | 10820   | 601                         | 14,2           | 350                         | 513                         | 61,7                        | 3,1            | 2,68       |
| 40            | 400         | 115 | 8   | 13,5 | 61,5                                  | 48,3                             | 15220   | 761                         | 15,7           | 444                         | 642                         | 73,4                        | 3,23           | 2,75       |

## ПРИЛОЖЕНИЕ 3

### Рекомендуемый сортамент равнополочных уголков (по ГОСТ 8509–86)



$I$  – момент инерции;  
 $W$  – момент сопротивления;  
 $S$  – статический момент площади  
 полусечения;  
 $i$  – радиус инерции

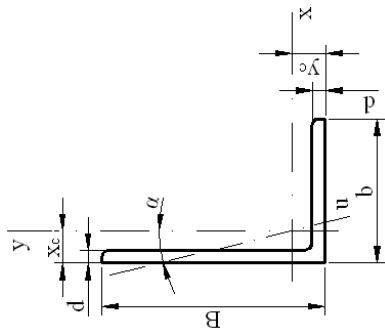
| Номер профиля | Размеры,<br>мм |     | Площадь сечения $A$ ,<br>см <sup>2</sup> | Линейная плотность $\rho$ ,<br>кг/м | Геометрические характеристики<br>относительно осей |                   |                                  |                     |                                  |                     |                                  | $x_c$ ,<br>$y_c$ ,<br>см |
|---------------|----------------|-----|--|-------------------------------------|--|-------------------|----------------------------------|---------------------|----------------------------------|---------------------|----------------------------------|--------------------------|
|               | $b$            | $d$ |  |                                     | $x$  |                   | $x_0$                            |                     | $y_0$                            |                     | $I_{x_0^2}$ ,<br>см <sup>4</sup> |                          |
|               |                |     |  |                                     | $I_{x^2}$ ,<br>см <sup>4</sup>                     | $i_{x^2}$ ,<br>см | $I_{x_0^2}$ ,<br>см <sup>4</sup> | $i_{x_0^2}$ ,<br>см | $I_{y_0^2}$ ,<br>см <sup>4</sup> | $i_{y_0^2}$ ,<br>см |                                  |                          |
| 1             | 2              | 3   | 4  | 5                                   | 6  | 7                 | 8                                | 9                   | 10                               | 11                  | 12                               | 13                       |
| 2             | 20             | 3   | 1,13                                     | 0,89                                | 0,4  | 0,59              | 0,63                             | 0,75                | 0,17                             | 0,39                | 0,23                             | 0,6                      |
|               |                | 4   | 1,46                                     | 1,15                                | 0,5  | 0,58              | 0,78                             | 0,73                | 0,22                             | 0,38                | 0,28                             | 0,64                     |
| 3             | 30             | 3   | 1,74                                     | 1,36                                | 1,45   | 0,91              | 2,3                              | 1,15                | 0,6                              | 0,59                | 0,85                             | 0,85                     |
|               |                | 4   | 2,27                                     | 1,78                                | 1,84   | 0,9               | 2,92                             | 1,13                | 0,77                             | 0,58                | 1,08                             | 0,89                     |
| 4             | 40             | 3   | 2,35                                     | 1,85                                | 3,55   | 1,23              | 5,63                             | 1,55                | 1,47                             | 0,79                | 2,08                             | 1,09                     |
|               |                | 4   | 3,08                                     | 2,42                                | 4,58   | 1,22              | 7,26                             | 1,53                | 1,9                              | 0,78                | 2,68                             | 1,13                     |
|               |                | 5   | 3,79                                     | 2,98                                | 5,53   | 1,21              | 8,75                             | 1,52                | 2,3                              | 0,78                | 3,22                             | 1,17                     |
| 5             | 50             | 3   | 2,96                                     | 2,32                                | 7,11   | 1,55              | 11,27                            | 1,95                | 2,95                             | 1                   | 4,16                             | 1,33                     |
|               |                | 4   | 3,89                                     | 3,05                                | 9,21   | 1,54              | 14,63                            | 1,94                | 3,8                              | 0,99                | 5,42                             | 1,38                     |
|               |                | 5   | 4,8                                      | 3,77                                | 11,2   | 1,53              | 17,77                            | 1,92                | 4,63                             | 0,98                | 6,57                             | 1,42                     |
|               |                | 6   | 5,69                                     | 4,47                                | 13,07  | 1,52              | 20,72                            | 1,91                | 5,43                             | 0,98                | 7,65                             | 1,46                     |

|      |     |    |       |       |       |      |        |      |       |      |      |      |
|------|-----|----|-------|-------|-------|------|--------|------|-------|------|------|------|
| 1    | 2   | 3  | 4     | 5     | 6     | 7    | 8      | 9    | 10    | 11   | 12   | 13   |
| 6,3  | 63  | 4  | 4,96  | 3,9   | 18,86 | 1,95 | 29,9   | 2,45 | 7,81  | 1,25 | 11   | 1,69 |
|      |     | 5  | 6,13  | 4,81  | 23,1  | 1,94 | 36,8   | 2,44 | 9,52  | 1,25 | 13,7 | 1,74 |
|      |     | 6  | 7,28  | 5,72  | 27,06 | 1,93 | 42,91  | 2,43 | 11,18 | 1,24 | 15,9 | 1,78 |
| 7    | 70  | 5  | 6,86  | 5,38  | 31,94 | 2,16 | 50,67  | 2,72 | 13,22 | 1,39 | 18,7 | 1,9  |
|      |     | 6  | 8,15  | 6,39  | 37,58 | 2,15 | 59,64  | 2,71 | 15,52 | 1,38 | 22,1 | 1,94 |
|      |     | 7  | 9,42  | 7,39  | 42,98 | 2,14 | 68,19  | 2,69 | 17,77 | 1,37 | 25,2 | 1,99 |
|      |     | 8  | 10,67 | 8,37  | 48,16 | 2,12 | 76,35  | 2,68 | 19,97 | 1,37 | 28,2 | 2,02 |
| 7,5  | 75  | 5  | 7,39  | 5,8   | 39,53 | 2,31 | 62,65  | 2,91 | 16,41 | 1,49 | 23,1 | 2,02 |
|      |     | 6  | 8,78  | 6,89  | 46,57 | 2,3  | 73,87  | 2,9  | 19,28 | 1,48 | 27,3 | 2,06 |
|      |     | 7  | 10,15 | 7,97  | 53,34 | 2,29 | 84,61  | 2,89 | 22,07 | 1,47 | 31,2 | 2,1  |
|      |     | 8  | 11,5  | 9,02  | 59,84 | 2,28 | 94,89  | 2,87 | 24,8  | 1,47 | 35   | 2,15 |
|      |     | 9  | 12,83 | 10,07 | 66,1  | 2,27 | 104,72 | 2,86 | 27,48 | 1,46 | 38,6 | 2,18 |
| 8    | 80  | 6  | 9,38  | 7,36  | 56,97 | 2,47 | 90,4   | 3,11 | 23,54 | 1,58 | 33,4 | 2,19 |
|      |     | 7  | 10,85 | 8,51  | 65,31 | 2,45 | 103,6  | 3,09 | 26,97 | 1,58 | 38,3 | 2,23 |
|      |     | 8  | 12,3  | 9,65  | 73,36 | 2,44 | 116,3  | 3,08 | 30,32 | 1,57 | 43   | 2,27 |
| 9    | 90  | 6  | 10,61 | 8,33  | 82,1  | 2,78 | 130    | 3,5  | 33,97 | 1,79 | 48,1 | 2,43 |
|      |     | 7  | 12,28 | 9,64  | 94,3  | 2,77 | 149,6  | 3,49 | 38,94 | 1,78 | 55,4 | 2,47 |
|      |     | 8  | 13,93 | 10,93 | 106,1 | 2,76 | 168,4  | 3,48 | 43,8  | 1,77 | 62,3 | 2,51 |
|      |     | 9  | 15,6  | 12,2  | 118   | 2,75 | 186    | 3,46 | 48,6  | 1,77 | 68   | 2,55 |
| 10   | 100 | 7  | 13,75 | 10,79 | 130,5 | 3,08 | 207    | 3,88 | 54,16 | 1,98 | 76,4 | 2,71 |
|      |     | 8  | 15,6  | 12,25 | 147,1 | 3,07 | 233    | 3,87 | 60,92 | 1,98 | 86,3 | 2,75 |
|      |     | 10 | 19,24 | 15,1  | 178,9 | 3,05 | 283    | 3,84 | 74,08 | 1,96 | 110  | 2,83 |
|      |     | 12 | 22,8  | 17,9  | 208,9 | 3,03 | 330    | 3,81 | 86,84 | 1,95 | 122  | 2,91 |
|      |     | 14 | 26,28 | 20,63 | 237,1 | 3,00 | 374    | 3,78 | 99,32 | 1,94 | 138  | 2,99 |
| 12,5 | 125 | 8  | 19,69 | 15,46 | 294   | 3,87 | 466    | 4,87 | 121,9 | 2,49 | 172  | 3,36 |
|      |     | 9  | 22    | 17,3  | 327   | 3,86 | 520    | 4,86 | 135,8 | 2,48 | 192  | 3,4  |
|      |     | 10 | 24,33 | 19,1  | 359   | 3,85 | 571    | 4,84 | 148,5 | 2,47 | 211  | 3,45 |
|      |     | 12 | 28,89 | 22,68 | 422   | 3,82 | 670    | 4,82 | 174,4 | 2,46 | 248  | 3,53 |
|      |     | 14 | 33,37 | 26,2  | 481   | 3,8  | 763    | 4,78 | 199,6 | 2,45 | 282  | 3,61 |
|      |     | 16 | 37,77 | 29,65 | 538   | 3,78 | 852    | 4,75 | 224,2 | 2,44 | 315  | 3,68 |
| 14   | 140 | 9  | 24,72 | 19,41 | 465   | 4,34 | 739    | 5,47 | 192   | 2,79 | 274  | 3,78 |
|      |     | 10 | 27,33 | 21,45 | 512   | 4,33 | 813    | 5,46 | 210   | 2,78 | 301  | 3,82 |
|      |     | 12 | 32,49 | 25,5  | 602   | 4,31 | 956    | 5,43 | 248   | 2,76 | 354  | 3,9  |

| 1  | 2      | 3      | 4      | 5     | 6     | 7    | 8     | 9    | 10   | 11   | 12   | 13   |
|----|--------|--------|--------|-------|-------|------|-------|------|------|------|------|------|
| 16 | 160    | 10     | 31,43  | 24,67 | 774   | 4,96 | 1229  | 6,25 | 319  | 3,19 | 455  | 4,3  |
|    |        | 11     | 34,42  | 27,02 | 844   | 4,95 | 1340  | 6,24 | 347  | 3,18 | 496  | 4,35 |
|    |        | 12     | 37,39  | 29,35 | 912   | 4,94 | 1450  | 6,23 | 375  | 3,17 | 537  | 4,39 |
|    |        | 14     | 43,57  | 33,97 | 1046  | 4,92 | 1662  | 6,2  | 430  | 3,16 | 615  | 4,47 |
|    |        | 16     | 49,07  | 38,52 | 1175  | 4,89 | 1865  | 6,17 | 484  | 3,14 | 690  | 4,55 |
|    |        | 18     | 54,79  | 43,01 | 1290  | 4,87 | 2061  | 6,13 | 537  | 3,13 | 771  | 4,63 |
|    |        | 20     | 60,4   | 47,44 | 1418  | 4,85 | 2248  | 6,1  | 589  | 3,12 | 830  | 4,7  |
| 20 | 200    | 12     | 47,1   | 36,97 | 1822  | 6,22 | 2896  | 7,84 | 749  | 3,99 | 1073 | 5,37 |
|    |        | 13     | 50,85  | 39,92 | 1960  | 6,21 | 3116  | 7,83 | 805  | 3,98 | 1156 | 5,42 |
|    |        | 14     | 54,6   | 42,8  | 2097  | 6,2  | 3333  | 7,81 | 861  | 3,97 | 1236 | 5,46 |
|    |        | 16     | 61,98  | 48,65 | 2362  | 6,17 | 3755  | 7,78 | 969  | 3,96 | 1393 | 5,54 |
|    |        | 20     | 76,54  | 60,08 | 2871  | 6,12 | 4560  | 7,72 | 1181 | 3,93 | 1689 | 5,7  |
|    |        | 25     | 94,29  | 74,02 | 3466  | 6,06 | 5494  | 7,63 | 1438 | 3,91 | 2028 | 5,89 |
| 25 | 250    | 30     | 111,54 | 87,56 | 4019  | 6    | 6351  | 7,55 | 1698 | 3,89 | 2332 | 6,07 |
|    |        | 16     | 78,4   | 61,55 | 4717  | 7,76 | 7492  | 9,78 | 1942 | 4,98 | 2775 | 6,75 |
|    |        | 18     | 87,72  | 68,86 | 5247  | 7,73 | 8336  | 9,75 | 2157 | 4,96 | 3089 | 6,83 |
|    |        | 20     | 96,96  | 76,11 | 5764  | 7,71 | 9159  | 9,72 | 2370 | 4,94 | 3395 | 6,91 |
|    |        | 22     | 106,12 | 83,31 | 6270  | 7,09 | 9961  | 9,69 | 2579 | 4,93 | 3691 | 7    |
|    |        | 25     | 119,71 | 93,97 | 7006  | 7,65 | 11125 | 9,64 | 2887 | 4,91 | 4119 | 7,11 |
|    |        | 28     | 133,12 | 104,5 | 7716  | 7,61 | 12243 | 9,59 | 3189 | 4,9  | 4527 | 7,23 |
| 30 | 141,96 | 111,44 | 8176   | 7,59  | 12964 | 9,56 | 3388  | 4,89 | 4788 | 7,31 |      |      |

## ПРИЛОЖЕНИЕ 4

### Рекомендуемый сортамент неравнополочных уголков (по ГОСТ 8510–86)



- $B$  – ширина большой полки;  
 $b$  – ширина малой полки;  
 $d$  – толщина полки;  
 $I$  – момент инерции;  
 $i$  – радиус инерции;  
 $x_c, y_c$  – расстояние от центра тяжести до наружных граней полки;  
 $\alpha$  – угол наклона главной центральной оси

| Номер профиля | Размеры, мм |     | Площадь сечения $A$ , $\text{см}^2$ | Линейная плотность $\rho$ , $\text{кг/м}$ | Геометрические характеристики относительно осей |                         |                           |                         |                           |                         | $x_c$ , $\text{см}$ | $y_c$ , $\text{см}$ | $I_{xc}$ , $\text{см}^4$ | $I_{yc}$ , $\text{см}^4$ | $\text{tg}\alpha$ |
|---------------|-------------|-----|-------------------------------------|---|---|-------------------------|---------------------------|-------------------------|---------------------------|-------------------------|---------------------|---------------------|--------------------------|--------------------------|-------------------|
|               | $B$         | $b$ |                                     |   | $x$   |                         | $y_0$                     |                         | $u$                       |                         |                     |                     |                          |                          |                   |
|               |             |     |                                     |   | $I_{x_0}$ , $\text{см}^4$                       | $i_{x_0}$ , $\text{см}$ | $I_{y_0}$ , $\text{см}^4$ | $i_{y_0}$ , $\text{см}$ | $I_{u_0}$ , $\text{см}^4$ | $i_{u_0}$ , $\text{см}$ |                     |                     |                          |                          |                   |
| 1             | 2           | 3   | 4                                   | 5   | 6   | 7                       | 8                         | 9                       | 10                        | 11                      | 12                  | 13                  | 14                       | 15                       | 16                |
| 2,5/1,6       | 25          | 16  | 3                                   | 1,16                                      | 0,91  | 0,70                    | 0,78                      | 0,22                    | 0,44                      | 0,13                    | 0,34                | 0,42                | 0,86                     | 0,22                     | 0,392             |

|         |     |    |     |       |       |        |      |       |      |       |      |      |      |       |       |
|---------|-----|----|-----|-------|-------|--------|------|-------|------|-------|------|------|------|-------|-------|
| 1       | 2   | 3  | 4   | 5     | 6     | 7      | 8    | 9     | 10   | 11    | 12   | 13   | 14   | 15    | 16    |
| 3,2/2   | 32  | 20 | 3   | 1,49  | 1,17  | 1,52   | 1,01 | 0,46  | 0,55 | 0,28  | 0,43 | 0,49 | 1,08 | 0,47  | 0,382 |
|         |     |    | 4   | 1,94  | 1,52  | 1,93   | 1    | 0,57  | 0,54 | 0,35  | 0,43 | 0,43 | 0,53 | 1,12  | 0,59  |
| 4/2,5   | 40  | 25 | 3   | 1,89  | 1,48  | 3,06   | 1,27 | 0,93  | 0,70 | 0,56  | 0,54 | 0,59 | 1,32 | 0,96  | 0,385 |
|         |     |    | 4   | 2,47  | 1,94  | 3,93   | 1,26 | 1,18  | 0,69 | 0,71  | 0,54 | 0,54 | 0,63 | 1,37  | 1,22  |
| 5/3,2   | 50  | 32 | 5   | 3,03  | 2,37  | 4,73   | 1,25 | 1,41  | 0,68 | 0,86  | 0,53 | 0,66 | 1,41 | 1,44  | 0,374 |
|         |     |    | 3   | 2,42  | 1,9   | 6,18   | 1,6  | 1,99  | 0,91 | 0,91  | 1,18 | 0,7  | 0,72 | 1,60  | 2,01  |
| 6,3/4,0 | 63  | 40 | 4   | 3,17  | 2,4   | 7,98   | 1,59 | 2,56  | 0,9  | 1,52  | 0,69 | 0,76 | 1,65 | 2,59  | 0,401 |
|         |     |    | 4   | 4,04  | 3,17  | 16,33  | 2,01 | 5,16  | 1,13 | 3,07  | 0,87 | 0,91 | 2,03 | 5,25  | 0,397 |
| 7,5/5   | 75  | 60 | 5   | 4,98  | 3,91  | 19,91  | 2    | 6,26  | 1,12 | 3,73  | 0,86 | 0,95 | 2,08 | 6,41  | 0,396 |
|         |     |    | 6   | 5,9   | 4,63  | 23,31  | 1,99 | 7,29  | 1,11 | 4,36  | 0,86 | 0,86 | 0,99 | 2,12  | 7,44  |
| 9/5,6   | 90  | 56 | 8   | 7,68  | 6,03  | 29,6   | 1,96 | 9,15  | 1,09 | 5,58  | 0,85 | 1,07 | 2,2  | 9,27  | 0,386 |
|         |     |    | 5   | 6,11  | 4,79  | 34,81  | 2,39 | 12,47 | 1,43 | 7,24  | 1,09 | 1,17 | 2,39 | 12    | 0,436 |
| 10/6,3  | 100 | 63 | 6   | 7,25  | 5,69  | 40,92  | 2,38 | 14,6  | 1,42 | 8,48  | 1,08 | 1,21 | 2,44 | 14,1  | 0,435 |
|         |     |    | 7   | 8,37  | 6,57  | 46,77  | 2,36 | 16,61 | 1,41 | 9,69  | 1,08 | 1,08 | 1,25 | 2,48  | 16,18 |
| 9/5,6   | 90  | 56 | 8   | 9,47  | 7,43  | 52,38  | 2,35 | 18,52 | 1,4  | 10,87 | 1,07 | 1,29 | 2,52 | 17,8  | 0,43  |
|         |     |    | 5,5 | 7,86  | 6,17  | 65,28  | 2,88 | 19,67 | 1,58 | 11,77 | 1,22 | 1,26 | 2,92 | 20,54 | 0,384 |
| 10/6,3  | 100 | 63 | 6   | 8,54  | 6,7   | 70,58  | 2,88 | 21,22 | 1,58 | 12,7  | 1,22 | 1,28 | 2,95 | 22,23 | 0,384 |
|         |     |    | 8   | 11,18 | 8,77  | 90,87  | 2,85 | 27,08 | 1,56 | 16,29 | 1,21 | 1,36 | 3,04 | 28,33 | 0,38  |
| 10/6,3  | 100 | 63 | 6   | 9,58  | 7,53  | 98,29  | 3,2  | 30,58 | 1,79 | 18,2  | 1,38 | 1,42 | 3,23 | 31,5  | 0,393 |
|         |     |    | 7   | 11,09 | 8,7   | 112,86 | 3,19 | 34,99 | 1,78 | 20,83 | 1,37 | 1,46 | 3,28 | 36,1  | 0,392 |
| 10/6,3  | 100 | 63 | 8   | 12,57 | 9,87  | 126,96 | 3,18 | 39,21 | 1,77 | 23,38 | 1,36 | 1,5  | 3,32 | 40,5  | 0,391 |
|         |     |    | 10  | 15,47 | 12,14 | 153,95 | 3,15 | 47,18 | 1,75 | 28,34 | 1,35 | 1,58 | 3,4  | 48,6  | 0,387 |



|         |     |     |    |       |       |      |      |        |      |        |      |      |      |      |       |
|---------|-----|-----|----|-------|-------|------|------|--------|------|--------|------|------|------|------|-------|
| 1       | 2   | 3   | 4  | 5     | 6     | 7    | 8    | 9      | 10   | 11     | 12   | 13   | 14   | 15   | 16    |
| 12,5/8  | 125 | 80  | 7  | 14,06 | 11,04 | 226  | 4,01 | 73,73  | 2,29 | 43,4   | 1,76 | 1,8  | 4,01 | 74,7 | 0,407 |
|         |     |     | 8  | 15,98 | 12,58 | 225  | 4    | 80,95  | 2,28 | 48,82  | 1,75 | 1,84 | 4,05 | 84,1 | 0,406 |
|         |     |     | 10 | 19,7  | 15,47 | 311  | 3,98 | 100,47 | 2,26 | 59,33  | 1,74 | 1,92 | 4,14 | 102  | 0,404 |
| 16/10   | 160 | 100 | 12 | 23,36 | 18,34 | 364  | 3,95 | 116,84 | 2,24 | 69,47  | 1,72 | 2    | 4,22 | 118  | 0,4   |
|         |     |     | 9  | 22,87 | 17,96 | 605  | 5,15 | 186    | 2,85 | 110,4  | 2,2  | 2,24 | 5,19 | 194  | 0,391 |
|         |     |     | 10 | 25,28 | 19,85 | 666  | 5,13 | 204    | 2,84 | 121,16 | 2,19 | 2,28 | 5,23 | 213  | 0,390 |
| 20/12,5 | 200 | 125 | 12 | 30,04 | 23,58 | 784  | 5,11 | 238    | 2,82 | 142,14 | 2,18 | 2,36 | 5,32 | 249  | 0,388 |
|         |     |     | 14 | 34,72 | 27,26 | 897  | 5,08 | 271    | 2,8  | 162,49 | 2,16 | 2,43 | 5,4  | 282  | 0,385 |
|         |     |     | 11 | 34,87 | 27,37 | 1449 | 6,45 | 446    | 3,58 | 263    | 2,75 | 2,79 | 6,5  | 465  | 0,392 |
| 20/12,5 | 200 | 125 | 12 | 37,89 | 29,74 | 1568 | 6,43 | 481    | 3,57 | 285    | 2,74 | 2,83 | 6,54 | 503  | 0,392 |
|         |     |     | 14 | 43,87 | 34,43 | 1800 | 6,41 | 550    | 3,54 | 326    | 2,73 | 2,91 | 6,62 | 575  | 0,390 |
|         |     |     | 16 | 49,77 | 39,07 | 2026 | 6,38 | 616    | 3,52 | 366    | 2,72 | 2,99 | 6,71 | 643  | 0,388 |

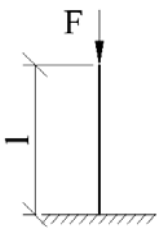
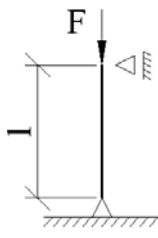
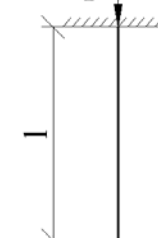
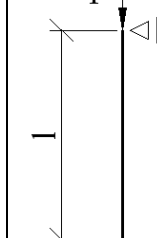
## ПРИЛОЖЕНИЕ 5

### Коэффициент $\phi$ продольного изгиба центрально-сжатых элементов

| Гибкость,<br>$\lambda$ | Значения $\phi$ для элементов из           |       |       |       |       |       |        |           |
|------------------------|--|-------|-------|-------|-------|-------|--------|-----------|
|                        | стали с расчетным сопротивлением $R$ , МПа |       |       |       |       |       | чугуна | древесины |
|                        | 200  | 240   | 280   | 320   | 360   | 400   |        |           |
| 0                      | 1  | 1     | 1     | 1     | 1     | 1     | 1      | 1         |
| 10                     | 0,988                                      | 0,987 | 0,985 | 0,984 | 0,983 | 0,982 | 0,97   | 0,992     |
| 20                     | 0,967                                      | 0,962 | 0,959 | 0,955 | 0,952 | 0,949 | 0,91   | 0,968     |
| 30                     | 0,939                                      | 0,931 | 0,924 | 0,917 | 0,911 | 0,905 | 0,81   | 0,928     |
| 40                     | 0,906                                      | 0,894 | 0,883 | 0,873 | 0,863 | 0,854 | 0,69   | 0,872     |
| 50                     | 0,869                                      | 0,852 | 0,836 | 0,822 | 0,809 | 0,796 | 0,57   | 0,8       |
| 60                     | 0,827                                      | 0,805 | 0,785 | 0,766 | 0,749 | 0,721 | 0,44   | 0,712     |
| 70                     | 0,782                                      | 0,754 | 0,724 | 0,687 | 0,654 | 0,623 | 0,34   | 0,608     |
| 80                     | 0,734                                      | 0,686 | 0,641 | 0,602 | 0,566 | 0,532 | 0,26   | 0,469     |
| 90                     | 0,665                                      | 0,612 | 0,565 | 0,522 | 0,483 | 0,447 | 0,2    | 0,37      |
| 100                    | 0,599                                      | 0,542 | 0,493 | 0,448 | 0,408 | 0,369 | 0,16   | 0,3       |
| 110                    | 0,537                                      | 0,478 | 0,427 | 0,381 | 0,338 | 0,306 | –      | 0,248     |
| 120                    | 0,479                                      | 0,419 | 0,366 | 0,321 | 0,287 | 0,26  | –      | 0,208     |
| 130                    | 0,425                                      | 0,364 | 0,313 | 0,276 | 0,247 | 0,223 | –      | 0,178     |
| 140                    | 0,376                                      | 0,315 | 0,272 | 0,24  | 0,215 | 0,195 | –      | 0,153     |
| 150                    | 0,328                                      | 0,276 | 0,239 | 0,211 | 0,189 | 0,171 | –      | 0,133     |
| 160                    | 0,29                                       | 0,244 | 0,212 | 0,187 | 0,167 | 0,152 | –      | 0,117     |
| 170                    | 0,259                                      | 0,218 | 0,189 | 0,167 | 0,15  | 0,136 | –      | 0,104     |
| 180                    | 0,233                                      | 0,196 | 0,17  | 0,15  | 0,135 | 0,123 | –      | 0,093     |
| 190                    | 0,21                                       | 0,177 | 0,154 | 0,136 | 0,122 | 0,111 | –      | 0,083     |
| 200                    | 0,191                                      | 0,161 | 0,14  | 0,124 | 0,111 | 0,101 | –      | 0,075     |
| 210                    | 0,174                                      | 0,147 | 0,128 | 0,113 | 0,102 | 0,093 | –      | 0,068     |
| 220                    | 0,16                                       | 0,135 | 0,118 | 0,104 | 0,094 | 0,086 | –      | 0,062     |

## ПРИЛОЖЕНИЕ 6

### Влияние условий закрепления концов стержня на величину критической силы

|              |   |   |   |   |
|--------------|---|---|---|---|
| Схема стойки |  |  |  |  |
| $\mu$        | 2   | 1   | 0,5   | 0,7   |

Значение коэффициентов  $a$  и  $b$  в формуле Ясинского

$$\sigma_{кр} = a - b\lambda$$

| Материал  | $\lambda_{пред}$ | $a$ , МПа | $b$ , МПа |
|---|------------------|-----------|-----------|
| Ст. 2, Ст. 3  | 100              | 310       | 1,14      |
| Ст. 5   | 100              | 464       | 3,26      |
| Сталь 40  | 90               | 321       | 1,16      |
| Кремнистая сталь  | 100              | 589       | 3,82      |
| Дерево  | 110              | 29,3      | 0,194     |
| Чугун   | 80               | 776       | 12        |
| Для чугуна $\sigma_{кр} = a - b\lambda + c\lambda^2$ , где $c = 0,53$ |                  |           |           |

## Содержание

|   |     |
|---|-----|
| Предисловие.....                              | 3   |
| 1. РАСТЯЖЕНИЕ И СЖАТИЕ .....                  | 4   |
| 1.1. Статически определяемые системы .....    | 4   |
| 1.2. Статически неопределимые системы .....   | 29  |
| 2. СДВИГ .....                                | 50  |
| 3. ГЕОМЕТРИЧЕСКИЕ ХАРАКТЕРИСТИКИ СЕЧЕНИЙ..... | 63  |
| 4. КРУЧЕНИЕ .....                             | 75  |
| 5. ПЛОСКИЙ ИЗГИБ .....                        | 81  |
| 6. СТАТИЧЕСКИ НЕОПРЕДЕЛИМЫЕ БАЛКИ .....       | 128 |
| 7. СЛОЖНОЕ СОПРОТИВЛЕНИЕ .....                | 137 |
| 7.1. Косой изгиб .....                        | 137 |
| 7.2. Внецентренное растяжение-сжатие .....    | 147 |
| 7.3. Изгиб с кручением .....                  | 160 |
| 7.4. Пространственный стержень .....          | 164 |
| 8. ПРОДОЛЬНЫЙ ИЗГИБ .....                     | 167 |
| ПРИЛОЖЕНИЯ .....                              | 186 |

Учебное издание

**ЗИНЕВИЧ** Сергей Иванович  
**ПЕНЬКЕВИЧ** Владимир Александрович  
**ЮГОВА** Марина Викторовна и др.

## **СОПРОТИВЛЕНИЕ МАТЕРИАЛОВ**

Учебно-методическое пособие  
для студентов строительных специальностей

В 2 частях

Часть 2

**СБОРНИК ЗАДАЧ**

Редактор *Т. Н. Микулик*  
Компьютерная верстка *Н. А. Школьниковой*

Подписано в печать 22.08.2017. Формат 60×84 <sup>1</sup>/<sub>16</sub>. Бумага офсетная. Ризография.  
Усл. печ. л. 11,45. Уч.-изд. л. 8,95. Тираж 300. Заказ 801.

Издатель и полиграфическое исполнение: Белорусский национальный технический университет.  
Свидетельство о государственной регистрации издателя, изготовителя, распространителя  
печатных изданий № 1/173 от 12.02.2014. Пр. Независимости, 65. 220013, г. Минск.